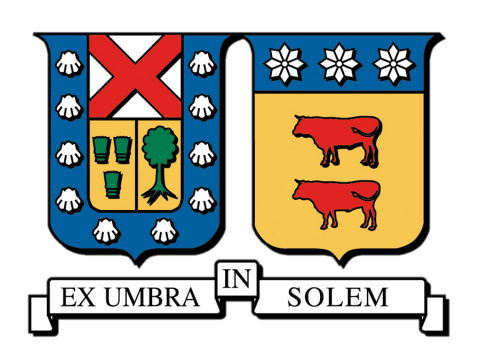
UNIVERSIDAD TÉCNICA FEDERICO SANTA MARÍA DEPARTAMENTO DE INGENIERÍA MECÁNICA

VALPARAÍSO - CHILE



ESTUDIO DE LAS PROPIEDADES DE MICROHILOS FERROMAGNÉTICOS SOMETIDOS A RADIACIÓN DE MICROONDAS, Y LA VALIDACIÓN DE UNA HERRAMIENTA COMPUTACIONAL PARA SU SIMULACIÓN.

FELIPE ROSSI KARELOVIC

MEMORIA DE TITULACIÓN PARA OPTAR AL TÍTULO DE INGENIERO CIVIL MECÁNICO MENCIÓN ENERGÍA

PROFESOR GUÍA: CHRISTOPHER COOPER VILLAGRÁN

PROFESOR CORREFERENTE: ALEJANDRO PACHECO SANJUAN

Agradecimientos

A mi familia por su apoyo constante e incondicional en cada paso que he dado en mi vida y en los duros años de carrera, dándome todas las herramientas necesarias para éstos. A mi profesor Christopher Cooper y a mi compañero y amigo Milan Ungerer, por su cooperación incansable y apoyo en la realización del presente trabajo y vida universitaria.

Resumen

Los microhilos ferromagnéticos tienen propiedades que varían en función de la tensión mecánica, por lo que se han presentado como una herramienta promisoria para el desarrollo de materiales inteligentes, capaces de entregar información del estado de tensiones internas. Gracias a esta variación de sus propiedades, es posible medir su cambio con algún campo externo, y asi establecer una relación directa. Sin embargo, las propiedades de permitividad y permeabilidad de los hilos están lejos de ser comprendidas a cabalidad, dificultando el uso de herramientas computacionales para su simulación. Sus valores dependen altamente de varios factores que se deben tener en cuenta y considerar, o en su defecto, establecer si pueden despreciarse.

El objetivo del presente trabajo es utilizar simulaciones numéricas para determinar las propiedades antes mencionadas (permeabilidad y permitividad) de los microhilos ferromagnéticos para luego ser comparados con los resultados experimentales, para luego validar su efectividad.

Para su realización, se deberán estudiar las propiedades electromagnéticas de los microhilos en función de diferentes variables, como lo son frecuencia, tensión, campo externo, GMI, etc. Se implementará un código de resolución de acuerdo al método de elementos de borde con una modelación de un problema de dispersión de ondas electromagnéticas con las ecuaciones de Maxwell y Helmholtz. Se diseñarán mallas para el trabajo de los microhilos y su simulación y se utilizarán en el código para generar un protocolo numérico-experimental para determinar la permitividad y permeabilidad de los microhilos ferromagnéticos. Finalmente, se compararán los resultados con otros modelos y datos experimentales, dando cuenta de la validez de los modelos computacionales y las limitaciones presentes.

Palabras claves: microhilos ferromagnéticos, propiedades microondas, permeabilidad, permitividad, BEM, BEM++, dispersión electromagnética.

Abstract

Ferromagnetic microwires have properties that change due to mechanical stress, so they have been presented as a promising tool for the development of inteligent materials capable of providing information about the condition of internal stress. Thanks to this variation of those properties, it is possible to measure how it changes because of an external field, and thus, establish a direct relation. However, microwire properties like permeability and permittivity are far from being fully understood, making it difficult to use computational tools for its simulation. These values depend strongly of several factors that must be taken into account, or in some cases, decide if they can be neglected.

The objective of this work is to use numerical simulations to determine the properties mentioned before (permeability and permittivity) of the ferromagnetic microwires, so they can be compared with the experimental results to validate their effectiveness.

For its realization, the electromagnetic properties of the microwires must be studied according to several variables, such as frecuency, stress, external fields, GMI, etc. A computational code will be implemented using the Boundary Elements Method with the devolopment of a model containing an electromagnetic scattering problem with Maxwell and Helmholtz equations. Meshes will be designed for the microwires and its simulation, and will be used in the code to generate a numerical-experimental protocole to determine the permeabilidad and permittivity of the ferromagnetic microwires. Finally, the obtained results will be compared with other models and experimental data, establishing the validity of the computational methods and their limitations.

Keywords: ferromagnetic wires, microwave properties, permeability, permittivity, BEM, BEM++, electromagnetic scattering.

Glosario

- Radiación electromagnética: tipo de campo electromagnético variable, es decir, una combinación de campos eléctricos y magnéticos oscilantes, que se propagan a través del espacio transportando energía de un lugar a otro.
- **Dispersión:** es el fenómeno por el cual un conjunto de partículas que se mueve en una dirección determinada rebota sucesivamente con las partículas del medio por el que se mueve hasta perder una dirección privilegiada de movimiento.
- **Ferromagnético:** compuestos de hierro y sus aleaciones con cobalto, tungsteno, níquel, aluminio y otros metales, son los materiales magnéticos más comunes.
- **Dieléctrico:** corresponde a un material con una baja conductividad eléctrica, o en términos más simples, un aislante.
- Conductor: material con una alta conductividad eléctrica o térmica.
- **Microhilo:** hilo con diámetro de algunos micrones.
- **Microondas:** ondas electromagnéticas; generalmente de entre 300 [MHz] y 30 [GHz] de frecuencia.
- Anisotropía: es la propiedad general de materia según las cualidades como: elasticidad, temperatura, conductividad, etc. Cuando se habla de anisotropía magnética, es la dependencia direccional con respecto a propiedades magnéticas.
- Impedancia: es la resistencia de un circuito o material al flujo de una corriente eléctrica alterna.
- Impedancia magnética: aparición de impedancia en un material debido al efecto causado por un campo magnético.
- Impedancia magnética gigante: se define como una larga variación en la impedancia magnética que ocurre en un conductor suave que conduce una corriente alterna cuando este es sometido a un campo magnético externo.
- Magnetosctricción: propiedad de los materiales magnéticos que hace que estos cambien de forma al encontrarse en presencia de un campo magnético.
- **Polarización:** es una propiedad de las ondas que pueden oscilar con más de una orientación. En una onda electromagnética, tanto el campo eléctrico y el campo magnético son oscilantes, pero en diferentes direcciones; ambas perpendiculares entre si y perpendiculares a la dirección de propagación de la onda.
- Efecto pelicular o "skin effect": efecto que se da cuando la densidad de corriente no es la misma en todo el conductor y se observa que hay una mayor densidad de corriente en la superficie que en el centro, cuando se tiene corriente alterna.

- Frecuencia angular: se refiere a la frecuencia del movimiento circular expresada en proporción del cambio de ángulo.
- Compósito: se refiere a dos o más materiales en conjunto, para el cual las características cambian y debe tratarse como un todo.
- **BEM:** método de elementos de borde (del inglés, Boundary Elements Method).
- **BEM++:** libreria de uso libre codificada con lenguaje C++, pero que permite el uso de distintos lenguajes, entre ellos Python.
- Python: lenguaje de programación que facilita una sintaxis para un código legible.
- **SLPO:** Single Layer Potential Operator (Operador potencial de capa simple)
- **DLPO:** Double Layer Potential Operator (Operador potencial de doble capa)
- **HYP:** Hypersingular Operator (Operador Hipersingular)
- **ADJ:** Adjoint Operator (Operador Adjunto)
- **DLADJ:** Adjoint Double Layer Boundary Operator (Operador adjunto de borde de doble capa)

Índice

1.	troducción 1			
2.	Planteamiento del problema 2.1. Microhilos	2 3 4 4 6		
3.	Software utilizado	7		
4.	Modelación de las geometrías	7		
 6. 	5.1. Ecuación de Helmholtz 5.2. Formulando una ecuación integral en el borde 5.3. Dispersión en múltiples objetos o Multiple Scattering Método de elementos de borde y BEM++ 6.1. BEM 6.1.1. Ventajas de BEM 6.1.2. Desventajas de BEM 6.1.3. Estructuración de BEM	12 14 16 21 23 23 23 24 24		
7.	Presentación del problema a resolver 7.1. Formulación de las ecuaciones	29 30 32 40 42 42 44		
R	Análisis v conclusiones	45		

1. Introducción

Recientes avances tecnológicos e industriales en lo que concierne a sensores y dispositivos magnéticos, requieren materiales con propiedades magnéticas excepcionales. Como un fuerte candidato, los microhilos ferromagnéticos amorfos han sido estudio durante décadas debido a su propiedades de sensibilidad. Su respuesta electromagnética puede ser medida convenientemente a través del diseño de su composición química y tamaño, sobre todo en un espectro de microondas, alterándose gracias a estímulos externos, e.g. campos magnéticos y estrés mecánico. Estos efectos, proveen variadas aplicaciones, tales como absorción de microondas, monitoreo de salud estructural (debido a que las propiedades ferromagnéticas de los hilos se ven directamente afectadas con un esfuerzo aplicado), entre otras.

En general se les clasifica en microhilos basados en Fe y en Co, siendo estos dos los componentes que dan mejores propiedades electromagnéticas con las microondas incidentes. Se han hechos numerosos esfuerzos en fabricar hilos con componentes químicos diferentes para mejorar sus propiedades, pero probó ser muy costoso.

Si bien los hilos proveen una buena sensibilidad magnética, cabe destacar que existe un problema en cuanto a su uso, debido a que el diámetro de los hilos es de unas decenas de micras, lo que implica que éstos posean una naturaleza frágil respecto a fracturas, limitando sus aplicaciones. Por lo que una de las incógnitas de las investigaciones actuales consiste en averiguar cómo fabricar microhilos así de pequeños, sin alterar sus propiedades magnéticas.

Recientemente, se ha estado utilizando una técnica que consiste en posicionar los microhilos en un compuesto basado en polímeros, el cual a la vez permite mejorar el rendimiento de los hilos al aumentar su número y preservarlos de mejor manera en una matriz. Este método logra solucionar de buena forma el problema anteriormente mencionado.

Aún así, el conocimiento actual respecto de los microhilos consiste únicamente en estudios empíricos, con ciertas propiedades y ciertos valores. Es por eso que se genera una limitante en cuanto a qué sucede cuando se van variando factores del experimento, como lo son permeabilidad y permitividad del hilo, dimensión del hilo, y sobre todo, la frecuencia de incidencia del campo magnético.

El objetivo del presente trabajo, es generar una herramienta analítica con aproximaciones matemáticas en un código computacional, el cual permita realizar pruebas con numerosos hilos en un compuesto, y así poder estudiar la variación del campo electromagnético en sus alrededores, confirmando así estudios empíricos respecto a sus propiedades. Para esto es necesario generar un código capaz de solucionar estas aproximaciones, para luego llevarlo a su uso con las geometrías necesarias, y determinar una manera sencilla de validar los experimentos que se han realizado a lo largo del tiempo, generando una herramienta de fácil uso y rápida respuesta. De esta manera se podrá determinar como se ve afectado el campo electromagnético por los hilos, teniendo una amplia gama de valores para utilizar.

2. Planteamiento del problema

Como se mencionó anteriormente, el uso de microhilos para la medición de la variación de campos electromagnéticos es de gran utilidad para el presente ingenieril, permitiendo realizar numerosas aplicaciones, entre las cuales se destaca la medición de esfuerzos mecánicos. Teniendo esto en cuenta, se pretende estudiar un compósito que contenga numerosos hilos para su estudio y análisis. El campo electromagnético se hará pasar a través de este compósito de hilos como se muestra en la figura (1).

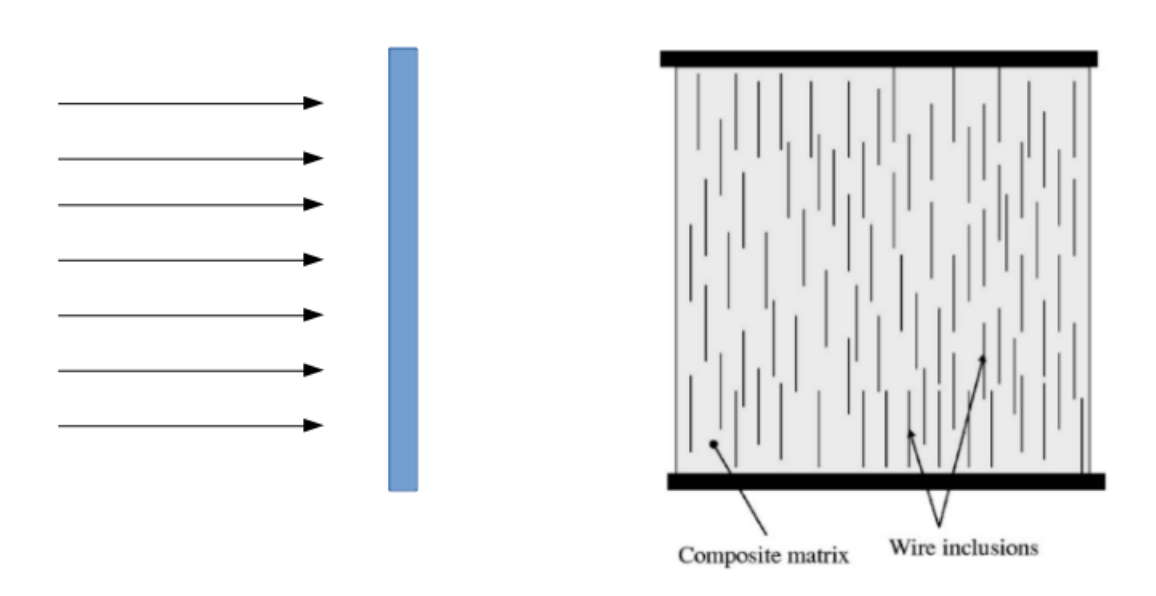


Figura 1: Compósito de hilos.

Una vez que el campo atraviese el compósito, se verá afectado por los microhilos que están en él, y al ubicar un receptor a una distancia deseada posterior al compósito, se podrá medir el valor del campo electromagnético y ver la variación de este con cada variación del compósito, ya sea tanto en cantidad de hilos como en su composición. Como se verá más adelante, las configuraciones de hilos irán variando, al igual que su número, siempre y cuando se mantenga una proporción de hilos en el compósito determinada, que en este caso corresponde al 0,0022 % y 0,01 % en volumen. Ya que el objetivo es medir el campo electromagnético, se desea que el cambio sea el mayor para tener resultados claros.

Si bien lo mencionado anteriormente no representa mayor problema, este se genera en lo que respecta a las propiedades magnéticas de los microhilos y la capacidad computacional con la que se cuenta. Esto sucede porque la permitividad y permeabilidad, dos variables necesarias para la simulación, dependen fuertemente del material que compone al hilo, de la frecuencia a la que se está trabajando el campo electromagnético, de la dimensión del hilo, de estímulos externos, entre otras. Por lo tanto, es de suma dificultad poseer estos valores para el caso que se quiera estudiar. Se deben conocer estos valores tanto para los hilos como para el material del compósito. Es por eso que se requiere diseñar una herramienta que sea capaz de validar los valores que se han obtenido empíricamente, para poder así extrapolar a otras configuraciones y frecuencias, y así finalmente

obtener el valor de estas propiedades para su uso.

2.1. Microhilos

Los microhilos que se utilizarán y estudiarán, corresponden a un núcleo conformado por el material amorfo y magnético, principalmente compuesto de CoFeCrSiB, del cual un 70-80% corresponde a FeCo, y una cobertura de vidrio, la cual no tiene gran influencia sobre el efecto generado en el campo electromagnético, pero si en la protección de los hilos en cuanto a corrosión.

Estos hilos se preparan bajo un método de solidificación rápida, en un proceso rápido que permite la fabricación de 400 [m/min] de hilo de hasta 15 micras de diámetro.

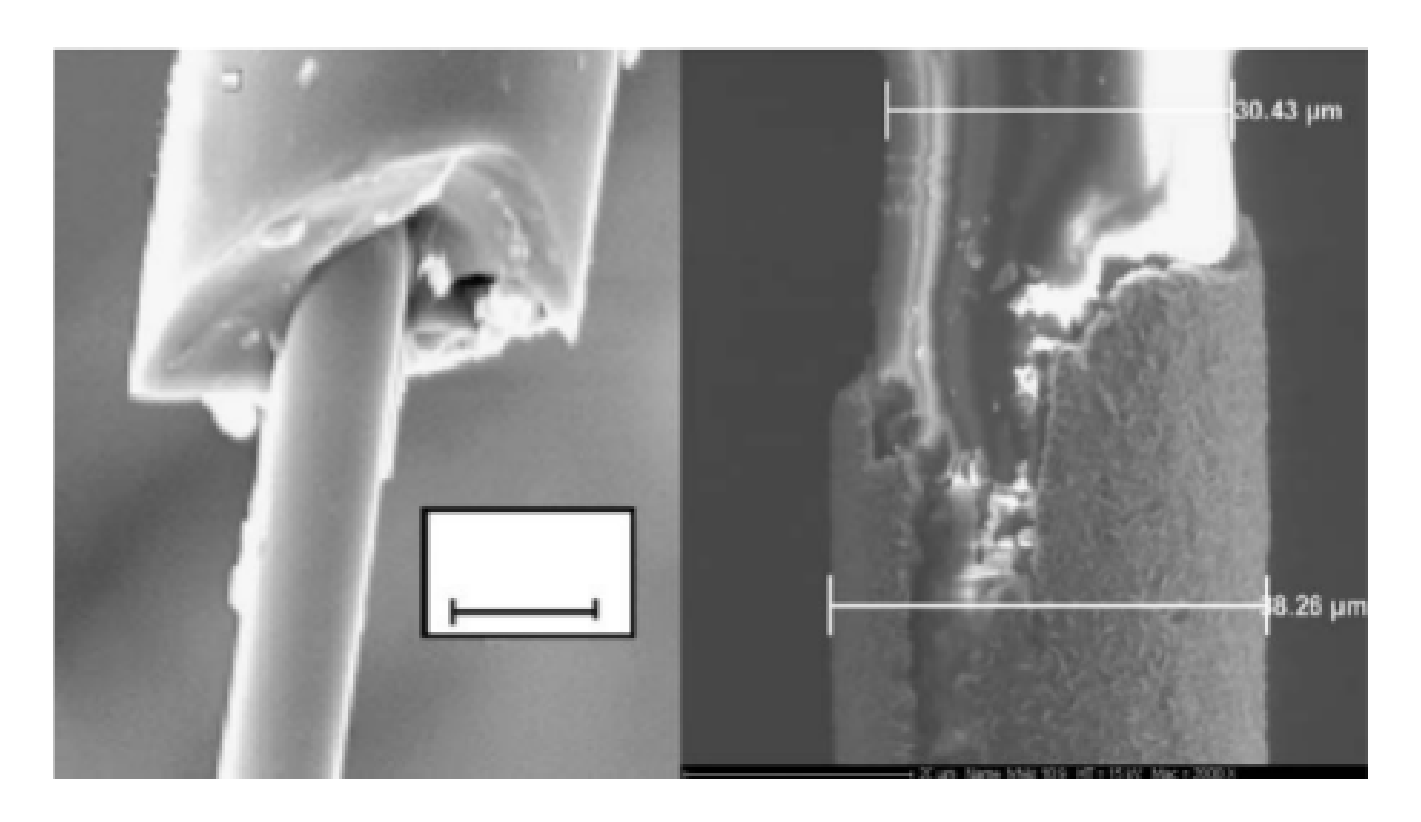


Figura 2: Microhilo cubierto de pyrex.

Como se mencionó anteriormente, estos hilos poseen cualidades únicas en cuanto a sus propiedades ferromagnéticas. La anisotropía magnética determina la respuesta general de cualquier material magnético por excitación de un campo electromagnético, particularmente en altas frecuencias. La rápida solidificación de los microhilos no solo determina su forma cilindrica, si no que tambien su naturaleza amorfa. En consecuencia, la anisotropía magnética de los hilos tiene una contribución uniaxial, la cual depende fuertemente de su magnetostricción, que tambien se ve determinada en su proceso de fabricación.

La forma longitudinal de los microhilos determina además sus propiedades, las que se diferencian en gran cantidad de materiales amorfos con forma de lazos o películas. Es por esto, que su orientación respecto a la llegada del campo magnético es primordial.

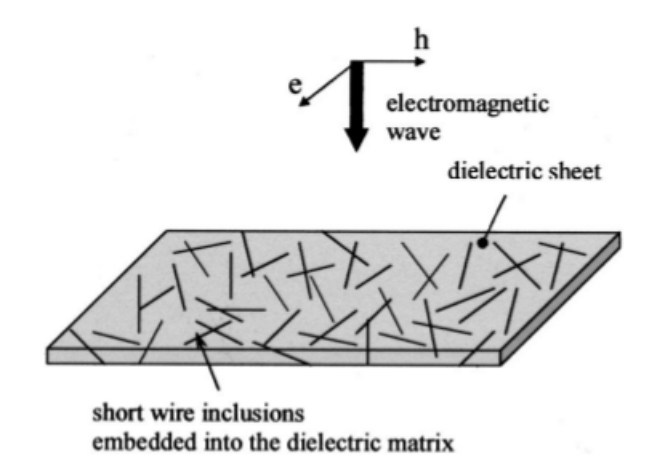


Figura 3: Compósito sometido a una onda electromagnética.

2.2. Permeabilidad y Permitividad

Los microhilos contienen importantes propiedades que determinan como se ve afectado el campo electromagnético irradiado sobre ellos. Las dos principales corresponden a la permeabilidad y permitividad magnética.

La primera indica la medida de la habilidad de un material para soportar la formación de un campo magnético sobre sí mismo, i.e. es el grado de magnetización que un material obtiene en respuesta a la aplicación de un campo magnético. Se representa con la letra griega μ (mu).

Se utiliza generalmente como permeabilidad relativa:

$$\mu_r = \frac{\mu}{\mu_0},\tag{2.1}$$

donde $\mu_0 = 4\pi \times 10^7 [NA^{-2}]$ es la permeabilidad del vacío.

La segunda se refiere a la medida de la resistencia que es encontrada cuando se forma un campo eléctrico en un medio, i.e. la permitividad es una medida de como un campo eléctrico afecta, y es afectado por, un medio dieléctrico. Más flujo eléctrico existe en un medio de baja permitividad debido a efectos de polarización. Esta derechamente relacionada con la susceptibilidad eléctrica, que indica que tan fácil se polariza un objeto en respuesta a un campo eléctrico. Se representa con la letra griega ε .

Al igual que la permeabilidad, es común utilizarla como permitividad relativa:

$$\varepsilon_r = \frac{\varepsilon}{\varepsilon_0},$$
 (2.2)

donde $\varepsilon_0 = 8,8541878176 \times 10^{-12} [F/m]$ corresponde a la permitividad del vacío.

2.3. Impedancia Magnética

En el rango de frecuencias altas (hasta algunos GHz), el campo magnético que llega al hilo debe ser manejado en conjunto con el campo eléctrico, como se muestra en la Tabla 4.

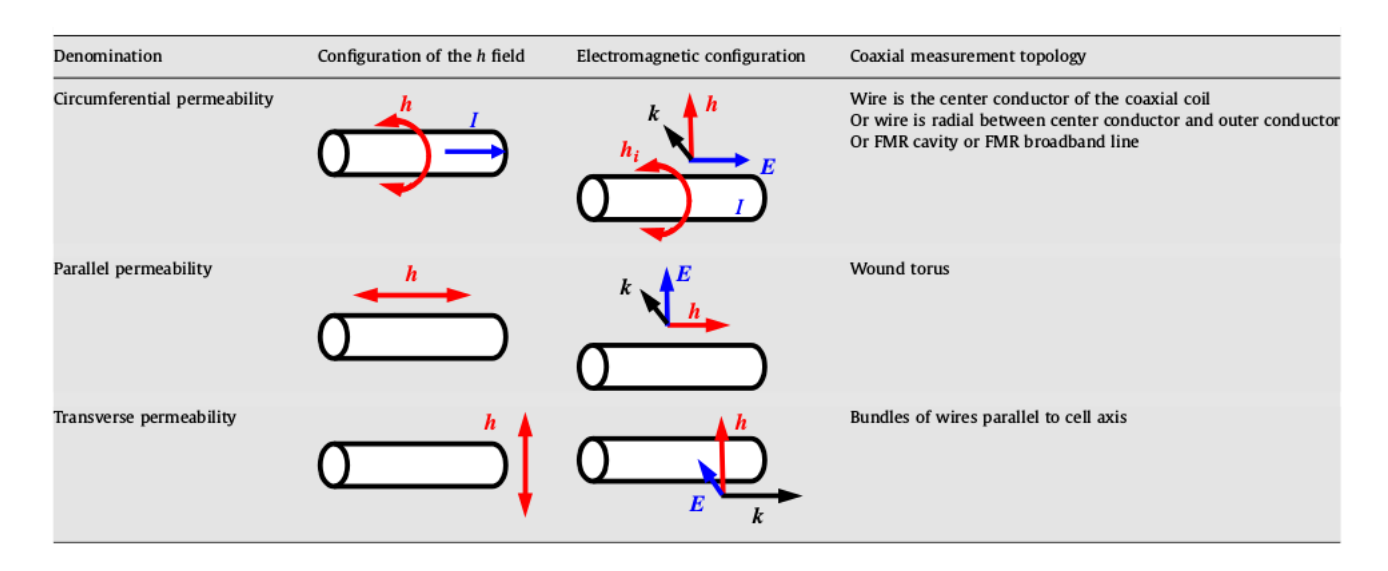


Figura 4: Configuraciones del campo electromagnético en el rango de microondas.

Al tener distintas configuraciones de incidencia de campo y orientación de hilos, se genera un efecto importante llamado Impedancia Magnética Gigante o GMI. La GMI se define como una larga variación en la impedancia magnética que ocurre en un conductor suave que conduce una corriente alterna cuando este es sometido a un campo magnético externo. Esta corriente que se genera produce un campo magnético circular en la superficie del microhilo, lo que modifica la corriente eléctrica, superponiéndose. Este fenómeno es causado por la dependencia de la permeabilidad del material con el campo magnético, la cual causa variaciones en la profundidad de penetración de las corrientes que fluyen por el objeto. La superposición concuerda con la solución a la ecuación de Maxwell para la densidad de corriente, que se explica en secciones posteriores. Este efecto se conoce también como "skin effect".

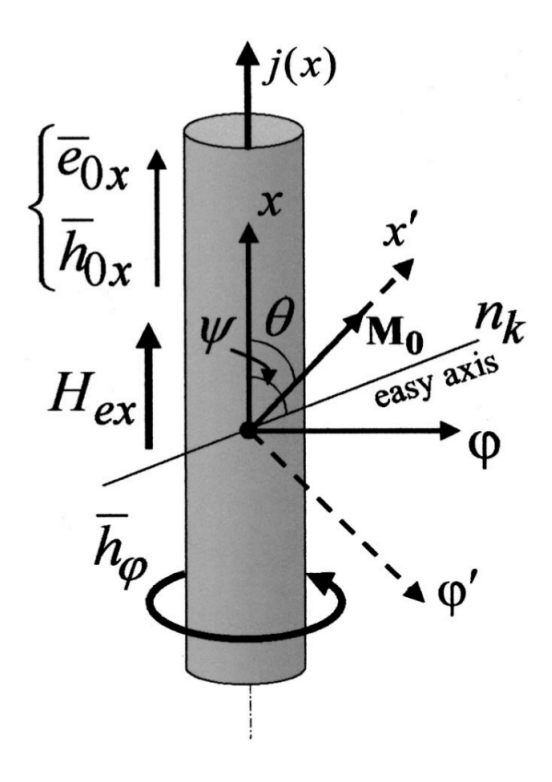


Figura 5: Esquema de estímulos externos sobre un microhilo y campo magnético circular generado por impedancia magnética.

Estos efectos deben ser tomados en consideración cuando se estudian las propiedades fundamentales de estos hilos, que para este caso en particular corresponden a la permeabilidad y permitividad del hilo, debido a que son capaces de modificarlas de manera abrupta.

2.4. Propiedades del compósito

Una vez que se integran los microhilos al compósito, ya no se pueden tratar sus componentes por separado. Tanto el material del compósito como los hilos tienen sus propiedades, por lo que es necesario compactarlas en una sola geometría que represente de buena forma sus partes por separado. Es por eso que al estudiar un compósito se deja de hablar de permeabilidad y permitividad del o los hilos y se comienza a hablar de "permeabilidad y permitividad efectiva", la cual congrega todas las propiedades en una generalización.

Los compósitos compuestos de microhilos pueden y deben ser tratados como un medio continuo y luego ser caracterizados según la permeabilidad efectiva. Si el "skin effect" es fuerte, la permitividad efectiva, comúnmente denominada ε_{ef} , es determinada por la geometría del hilo, la concentración de hilos y la permitividad del material que "almacena" a los hilos. Se ha demostrado que la cantidad necesaria de microhilos depende de la impedancia, la que involucra la permeabilidad μ del hilo y su estructura magnética. En compósitos que contengan microhilos ferromagnéticos con impedancias magnéticas en frecuencias de microondas, la permitividad efectiva ε_{ef} podría depender de un campo magnético estático de acuerdo a su dependencia con la impedancia en la superficie de los microhilos. Por lo tanto, ε_{ef} dependería de un estrés externo o esfuerzo.

Además, otra importante propiedad a considerar es la permeabilidad efectiva del compósito, comúnmente denomidad μ_{ef} .

Estas propiedades mencionadas no son constantes, y como se dijo anteiormente, dependen de numerosos factores. Para el cálculo de la variación del campo electromagnético aplicado en el compósito de microhilos, se necesitan las permeabilidades y permitividades básicas y efectivas, por lo que es de suma importancia contar con una herramienta para su cálculo. Es por eso que se intentará establecer un código computacional, como se mencionó antes, para lograr simular estos valores para distintas frecuencias y condiciones.

3. Software utilizado

Para el modelamiento del problema se requieren distintos software. Es importante mencionar además que estos fueron utilizados en el OS Linux 16.04, por lo que no se asegura compatibilidad con distintos sistemas operativos:

- Anaconda v4.3.1: este software corresponde a un paquete de distribución, el cual contiene herramientas para procesamiento de datos de larga escala, en lenguaje Python y R, capaz de proveer análisis predictivo y computamiento científico, simplificando el manejo de paquetes. Utiliza una versión de hojas de trabajo para Python v2.7.
- *BEM++ v3.0.3*: corresponde a una biblioteca de fuente abierta de elementos de borde de Galerkin, capaz de resolver problemas de borde con Laplace, Helmholtz y Maxwell. En las secciones posteriores se explicará en mayor detalle.
- Freecad v0.15: este corresponde a una herramienta muy eficaz para la creación de geometrías a utilizar en los problemas. Permite crear la forma requerida, para luego crear una malla con herramientas matemáticas.
- *gmsh v2.16.0*: este simple software permite revisar las mallas de las geometrías y cambiarlas a numerosos formatos para su posterior uso.
- *MeshLab v1.3.3*: este software provee un sistema de visualización, procesamiento y edición de mallas triangulares de geometrías. Contiene numerosas herramientas para la visualización de las mallas en conjunto, limpieza, reparación, inspección, etc.

Es importane mencionar que el computador a ocupar posee 32 Gb de Memoria RAM y 24 núcleos.

4. Modelación de las geometrías

Como se mencionó anteriormente, la modelación de estos hilos se hace mediante el software FreeCad, el cual permite hacer las distintas geometrías y generar una malla de ésta, a su vez suavizándola. El mallado se realiza con la función de Mefisto del software, y la suavización a través de una metodología de aproximación de Laplace.

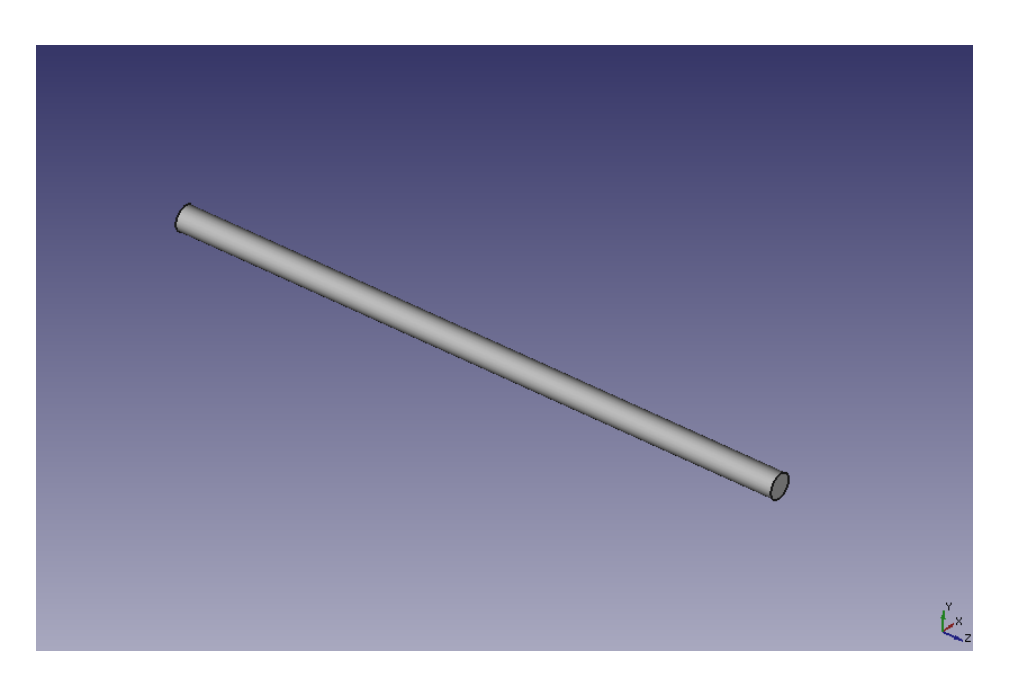


Figura 6: Geometría utilizada.

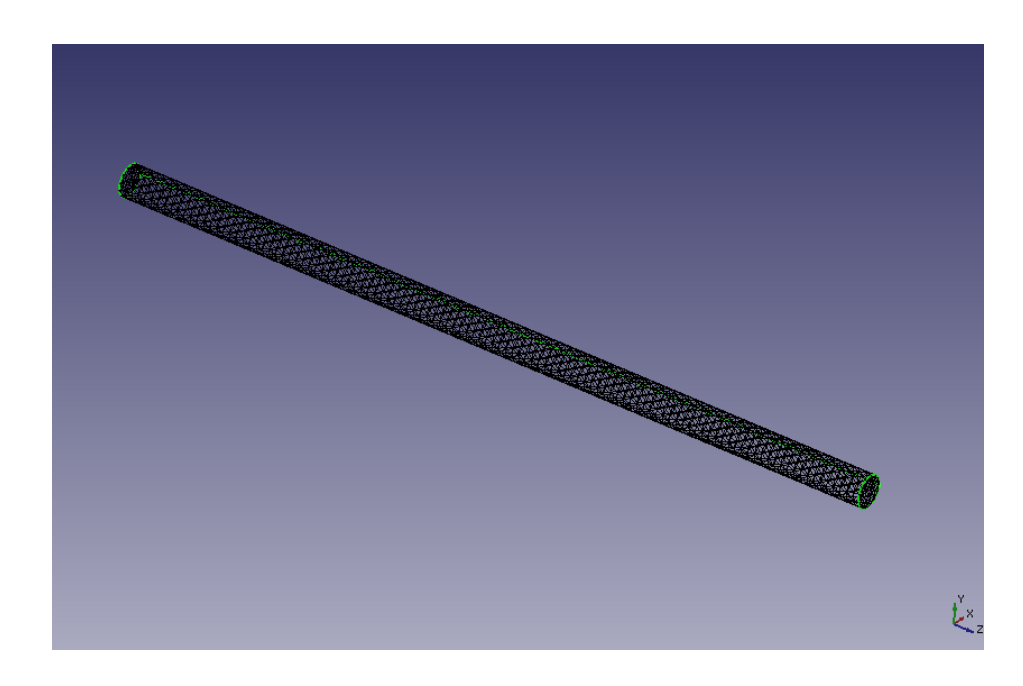


Figura 7: Generación de una malla en el hilo.

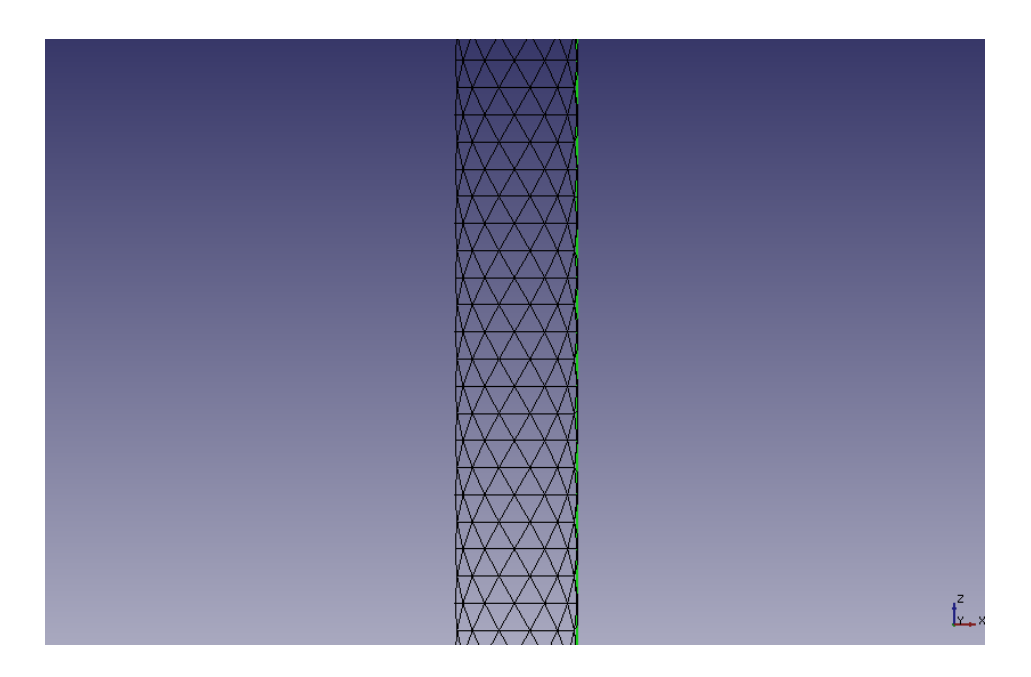


Figura 8: Malla del hilo.

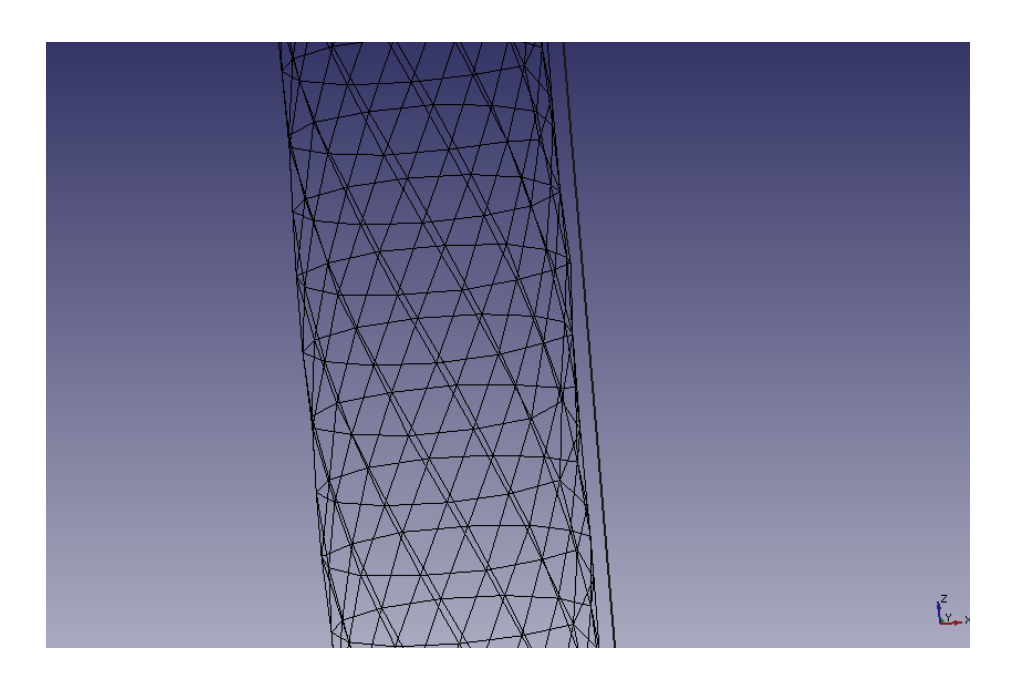


Figura 9: Malla del hilo suavizada y libre de errores.

Una vez obtenida la malla, es necesario ajustar el formato a los soportados por la biblioteca de BEM++, que en este caso corresponde a ".msh". Para esto, se utiliza el software GMSH, que permite utilizar el archivo ".stl" de FreeCad y exportar la malla al formato deseado.

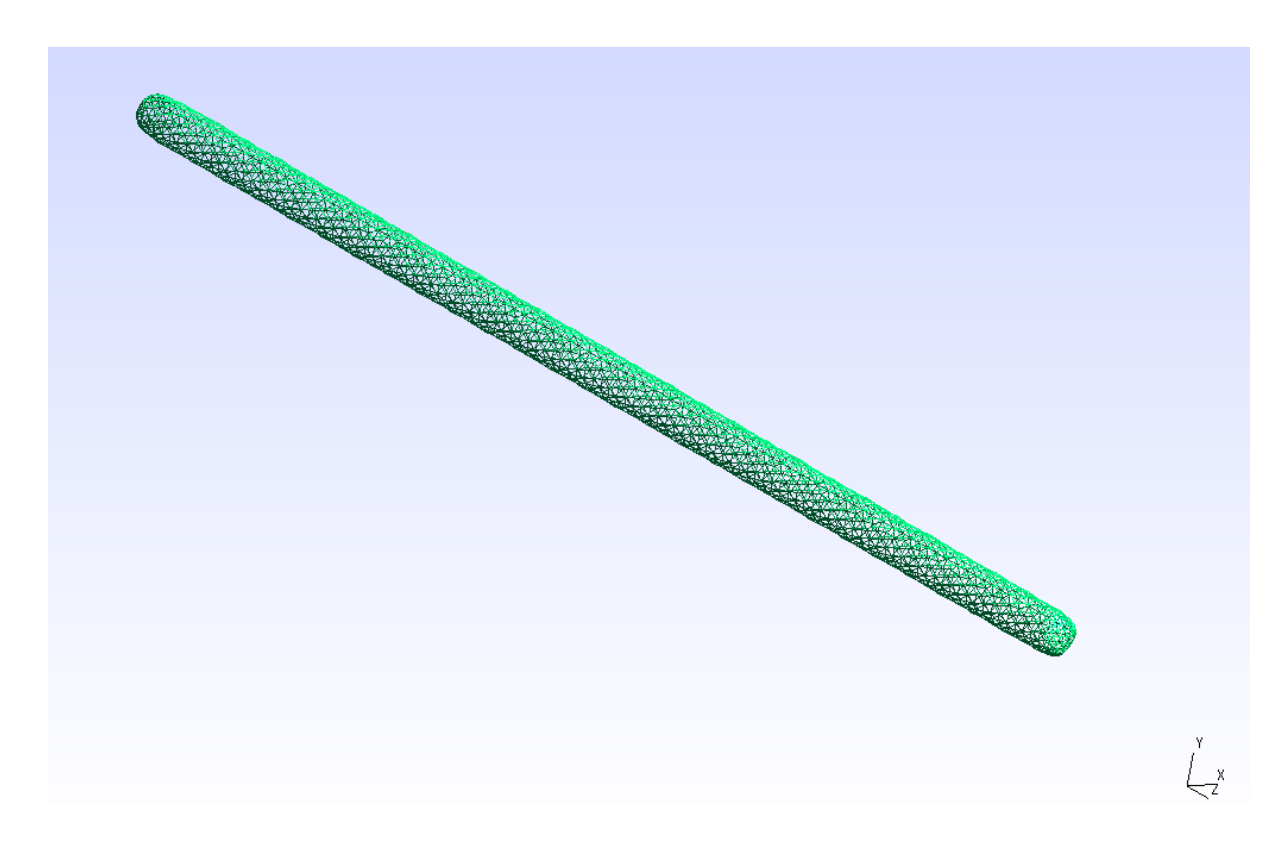


Figura 10: Malla del hilo en software GMSH.

Además de modelar los hilos requeridos para el análisis, se debe modelar la matriz donde estarán contenidos los hilos, que si bien se desea que no afecte de gran manera al campo, es necesaria para la programación del problema.

Esta matriz se crea de la misma manera que los hilos, simplemente cambiando la geometría deseada.

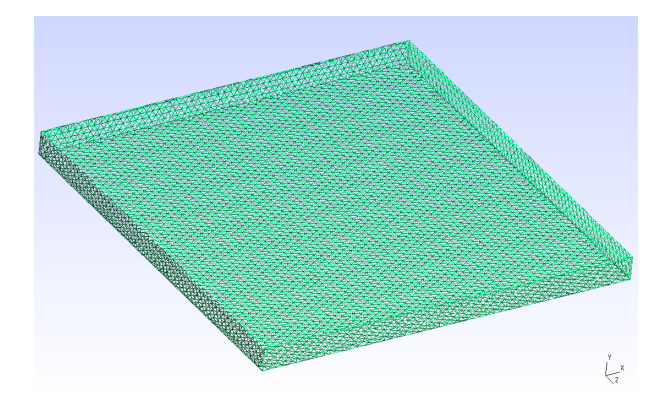


Figura 11: Malla de la matriz que contendrá el compuesto de hilos.

Una vez modeladas ambas geometrías, es necesario revisar su orientación, ubicación, y distintos factores que son importantes a la hora de evaluar los códigos, como por ejemplo, la orientación de

las normales de los elementos, que se desea que estén orientadas hacia el exterior del objeto, y también la duplicación de caras y vértices.

Para comprobar lo anterior se utilizar el software MeshLab, el cual permite corregir estos errores, en caso de existir, y además permite juntar las geometrías para comprobar su ubicación y orientación en el espacio.

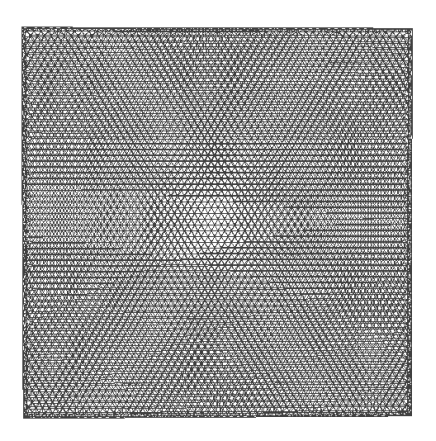


Figura 12: Malla de la matriz con 6 hilos.

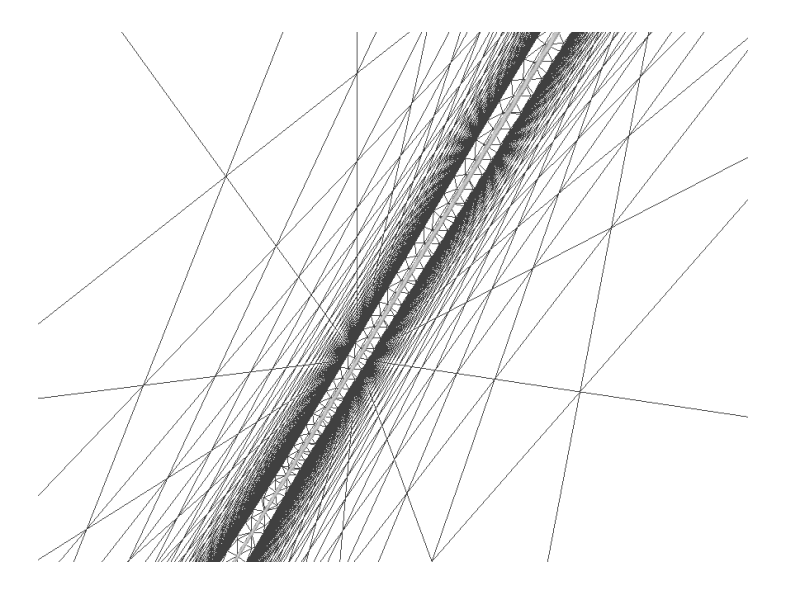


Figura 13: Malla de matriz desde el interior, donde se puede ver un hilo.

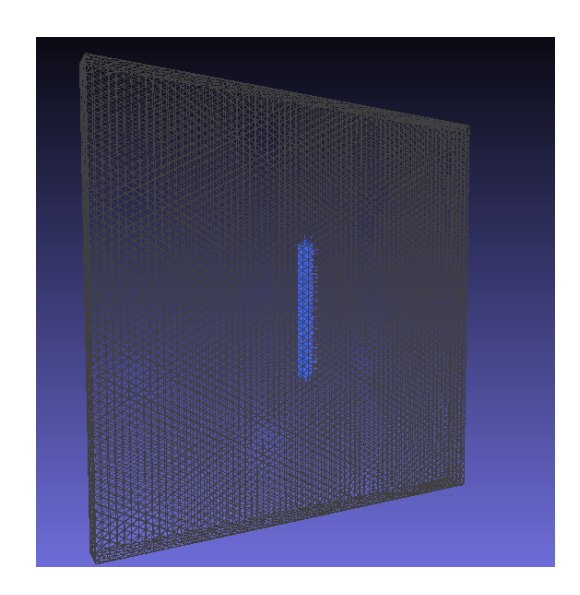


Figura 14: Malla de la matriz con un hilo, y las normales del hilo.

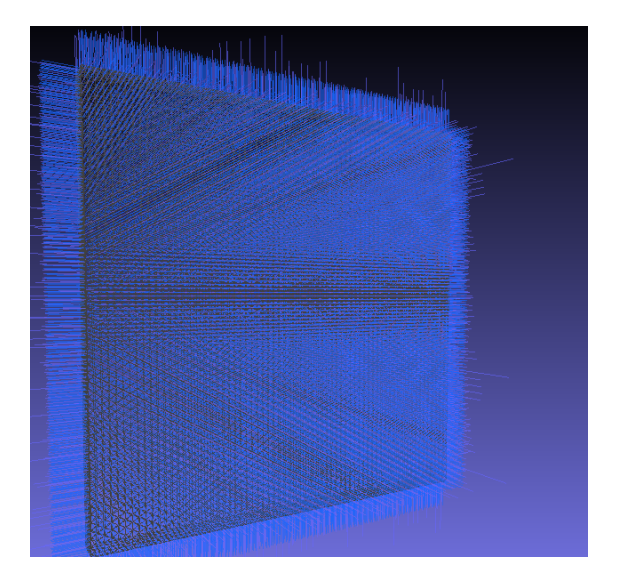


Figura 15: Malla de la matriz con sus normales hacia afuera.

Una vez posicionados, se pueden utilizar las geometrías para el código y realizar las pruebas requeridas. Es importante mencionar que cada cambio en la geometría utilizada, implica repetir todo el proceso anterior en lo que es creación de geometría y malla y de revisión de factores que podrían influir.

5. Ecuación integral de borde

Las ecuaciones de Maxwell son una herramienta fundamental para desarrollar el problema presentado debido al uso de campos electromagnéticos en las geometrías utilizadas. Es por esto que se

debe conocer su funcionamiento y además el uso para este problema en particular. Las ecuaciones de Maxwell se presentan a continuación, donde E es el campo eléctrico y B es el campo magnético:

$$\nabla \cdot \mathbf{E} = \frac{\rho}{\varepsilon_0} \tag{5.1}$$

$$\nabla \cdot \mathbf{B} = 0 \tag{5.2}$$

$$\nabla \times \mathbf{E} = -\frac{\partial \mathbf{B}}{\partial t} \tag{5.3}$$

$$\nabla \times \mathbf{B} = \mu_0 \mathbf{J} + \mu_0 \varepsilon_0 \frac{\partial \mathbf{E}}{\partial t}.$$
 (5.4)

La ecuación 5.1 corresponde a la "Ley de Gauss", tambien conocida como teorema de Gauss, la cual establece que el flujo de ciertos campos a través de una superficie cerrada es proporcional a la magnitud de las fuentes de dicho campo que hay en el interior de la misma superficie. Esto se logra a través de una relación entre el campo eléctrico y la densidad de carga. El valor ε_0 corresponde a la permitividad eléctrica del vacío, la cual se definió anteriormente.

La ecuación 5.2 corresponde a la "Ley de Gauss" para campos magnéticos, en la cual se indica que la divergencia de estos campos es siempre 0.

La ecuación 5.3 corresponde a la "Ley de Faraday" y en ella se establece que el voltaje inducido en un circuito cerrado es directamente proporcional a la rapidez con que cambia en el tiempo el flujo magnético que atraviesa una superficie cualquiera con el circuito como borde.

Por último, la ecuación 5.4, corresponde a la "Ley de Ampere", relaciona un campo magnético estático con una corriente eléctrica, siendo la corriente mencionada la que genera el campo. En este caso μ_0 corresponde a la permeabilidad magnética del vacío y **J** es la densidad volumétrica de corriente.

En regiones donde no existen cargas ($\rho = 0$) ni corrientes ($\mathbf{J} = 0$), como ocurre en el vacío, las ecuaciones de Maxwell se reducen a:

$$(i) \nabla \cdot \mathbf{E} = 0 \qquad (ii) \nabla \times \mathbf{E} = -\frac{\partial \mathbf{B}}{\partial t}$$

$$(iii) \nabla \cdot \mathbf{B} = 0 \qquad (iv) \nabla \times \mathbf{B} = \mu_0 \varepsilon_0 \frac{\partial \mathbf{E}}{\partial t},$$

$$(5.5)$$

las cuales son ecuaciones diferenciales parciales de primer orden.

Aplicando rotor a (ii) y (iv), y usando la identidad del rotor $(\nabla \times \nabla \times \mathbf{X} = \nabla(\nabla \cdot X) - \nabla^2 X)$, se pueden desacoplar estas ecuaciones, obteniéndose:

$$\nabla \times \nabla \times \mathbf{E} = \nabla(\nabla \cdot E) - \nabla^2 E = \nabla \times \left(-\frac{\partial \mathbf{B}}{\partial t} \right)$$
$$= -\frac{\partial}{\partial t} (\nabla \times \mathbf{B}) = -\mu_0 \varepsilon_0 \frac{\partial^2 \mathbf{E}}{\partial t^2}$$

$$\nabla \times \nabla \times \mathbf{B} = \nabla(\nabla \cdot B) - \nabla^2 B = \nabla \times \left(-\mu_0 \varepsilon_0 \frac{\partial \mathbf{E}}{\partial t}\right)$$
$$= -\mu_0 \varepsilon_0 \frac{\partial}{\partial t} (\nabla \times \mathbf{E}) = -\mu_0 \varepsilon_0 \frac{\partial^2 \mathbf{B}}{\partial t^2},$$

para lo cual, como se mencionó anteriormente, $\nabla \cdot E = 0$ y $\nabla \cdot B = 0$, simplificando las ecuaciones anteriores y obteniéndose:

$$\nabla^2 E = \mu_0 \varepsilon_0 \frac{\partial^2 E}{\partial t^2} \tag{5.6}$$

$$\nabla^2 B = \mu_0 \varepsilon_0 \frac{\partial^2 B}{\partial t^2} \tag{5.7}$$

Finalmente se obtienen las ecuaciones análogas a (5.6) y (5.7):

$$\nabla^2 E - \frac{1}{c^2} \frac{\partial^2 E}{\partial t^2} = 0 \tag{5.8}$$

$$\nabla^2 B - \frac{1}{c^2} \frac{\partial^2 B}{\partial t^2} = 0. \tag{5.9}$$

dado que:

$$c = \frac{1}{\sqrt{\mu_0 \varepsilon_0}} \left[\frac{m}{s} \right]$$

Estas ecuaciones anteriores se pueden reescribir de manera general de la forma:

$$\nabla^2 \mathbf{u} - \frac{1}{c^2} \frac{\partial^2 \mathbf{u}}{\partial t^2} = 0. \tag{5.10}$$

la cual corresponde a una ecuación de onda que representa tanto la parte eléctrica como magnética y que será estudiada más adelante.

5.1. Ecuación de Helmholtz

La ecuación de Helmholtz es de uso frecuente en problemas de la física que involucran ecuaciones diferenciales parciales tanto en espacio como tiempo. La ecuación, que representa una forma de la ecuación de onda independiente del tiempo, resulta de la separación de variables para reducir la complejidad del análisis. Es por esto, que se considerar la ecuación de onda 5.10 y se realizará una separación de variables asumiendo que la ecuación u(r,t) es, en verdad, separable. La separación que se supondrá será:

$$\mathbf{u}(\mathbf{r},t) = A(\mathbf{r})T(t).$$

Sustituyendo en la ecuación de onda (5.10) y luego simplificando, se obtiene:

$$\frac{\nabla^2 A(\mathbf{r})}{A(\mathbf{r})} = \frac{1}{T(t)c^2} \frac{\partial^2 \mathbf{u}}{\partial t^2}.$$
 (5.11)

Es posible notar que la parte izquierda de la expresión depende únicamente de r, mientras que la parte derecha depende únicamente de t. Como resultado de lo anterior, la ecuación (5.11) es válida únicamente en el caso en que ambos lados de la ecuación son igualmente a una constante. Visto de esta forma, se pueden obtener dos ecuaciones, una para A y otra para T, obteniéndose así:

$$\frac{\nabla^2 A(\mathbf{r})}{A(\mathbf{r})} = -k^2$$
$$\frac{1}{T(t)c^2} \frac{\partial^2 \mathbf{u}}{\partial t^2} = -k^2$$

donde se elige $-k^2$ como constante, respetando la nomenclatura universal. Luego, arreglando la primera ecuación, se obtiene finalmente la ecuación de Helmholtz:

$$\nabla^2 A(\mathbf{r}) + k^2 A(\mathbf{r}) = (\nabla^2 + k^2) A(\mathbf{r}) = 0$$
(5.12)

Tanto campo eléctrico como magnético deben satisfacer una ecuación cuya solución representa una onda, por lo tanto, si se supone que el campo tiene una dependencia armónica de la forma $\psi = Re(\psi_0 e^{-iwt})$, que para este caso corresponde a $T(t) = e^{-i\omega t}$, se puede determinar el valor de k, debido a que w corresponde a la frecuencia angular y v_p es la velocidad de fase de la onda:

$$k = \frac{\omega}{v_p}$$

donde k al "número de onda" y v_p se puede calcular de la forma:

$$v_p = \frac{1}{\sqrt{\mu_r \mu_0 \varepsilon_r \varepsilon_0}}$$

Finalmente, con las ecuaciones y variables anterior es posible construir las ecuaciones de Helmholtz necesarias para el problema. Para el campo eléctrico resulta:

$$\nabla^2 E(\mathbf{r}) + \frac{w^2}{v_p^2} E(\mathbf{r}) = 0$$

0

$$\nabla^2 E(\mathbf{r}) + k^2 E(\mathbf{r}) = 0 \tag{5.13}$$

Análogamente, para el campo magnético se obtiene:

$$\nabla^2 B(\mathbf{r}) + k^2 B(\mathbf{r}) = 0 \tag{5.14}$$

Como se mencionó anteriormente, ahora se tiene una ecuación que únicamente depende de la posición, tanto para el campo magnético como para el campo eléctrico, dejando a un lado la variable tiempo.

5.2. Formulando una ecuación integral en el borde

En primer lugar, se debe tener en consideración la condición de radiación de Sommerfield, en la cual se establece que "las fuentes deben ser fuentes, no sumideros de energía. La energía que es irradiada desde la fuente debe continuar hasta el infinito, y ninguna energía que provenga del infinito debe irradiar hacia el campo". Si la onda es armónica y el valor k es mayor que cero, se define matemáticamente como:

$$\lim_{|\mathbf{r}| \to \infty} |\mathbf{r}|^{\frac{n-1}{2}} \left(\frac{\partial}{\partial |\mathbf{r}|} - ik \right) u(\mathbf{r}) = 0.$$
 (5.15)

Teniendo esto en cuenta, se procede a resolver el caso particular de estudio. Dado que se tiene una onda incidente en un microhilo y esta se asumió armónica, el problema se reduce a una onda moviéndose con la misma frecuencia angular w después de un periodo inicial transitorio. Se propone una solución de la ecuación de la forma:

$$\mathbf{U}(\mathbf{r},t) = u(\mathbf{r})e^{-i\omega t}$$

donde u corresponde a la variable que se quiera estudiar, ya sea el campo eléctrico E o el campo magnético B.

La solución fundamental de este problema corresponde a una función de Green "g(r-r')" (en la cual es importante mencionar que r no se restringe a un volumen, y la variable de integración será r'), que se da reemplazando el término de fuente, por un delta de Dirac, como fuente en el punto " r_0 ".

Al utilizar la ecuación de Helmholtz obtenida anteriormente y multiplicar por la solución fundamental, se obtiene:

$$\int_{\Omega} (\nabla^2 u(\mathbf{r'}) + k^2 u(\mathbf{r'})) g(\mathbf{r} - \mathbf{r'}) d\Omega(\mathbf{r'}) = 0$$
(5.16)

donde Ω corresponde al volumen de estudio. Luego, reescribiendo la ecuación se logra obtener:

$$\int_{\Omega} \nabla \cdot (g(\mathbf{r} - \mathbf{r'}) \nabla u(\mathbf{r'})) - \nabla u(\mathbf{r'}) \cdot \nabla g(\mathbf{r} - \mathbf{r'}) d\Omega + \int_{\Omega} k^{2} u(\mathbf{r'}) g(\mathbf{r} - \mathbf{r'}) d\Omega = 0$$
 (5.17)

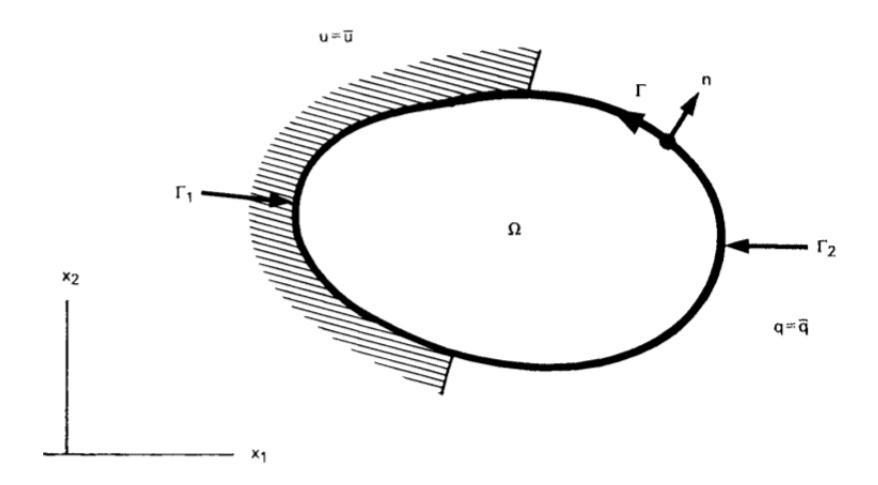


Figura 16: Volumen y superficie de una geometría en estudio.

Dado que el teorema de la divergencia (o teorema de Green) indica que:

$$\int_{\Omega} (\nabla \cdot v) d\Omega = \oint_{\Gamma} v \cdot d\Gamma$$

, se puede reescribir la ecuación 5.17, si este teorema se utiliza en la primera integral, como:

$$\int_{\Gamma} g \nabla u \cdot \mathbf{n} d\Gamma - \int_{\Omega} \nabla u \cdot \nabla g d\Omega + \int_{\Omega} k^2 u g d\Omega = 0, \tag{5.18}$$

a la cual nuevamente se le aplica la regla del producto de la divergencia, aplicada en 5.16, y el teorema de la divergencia, para ser reeescrita como:

$$\int_{\Gamma} g \frac{\partial u}{\partial \mathbf{n}} d\Gamma - \int_{\Gamma} u \frac{\partial g}{\partial \mathbf{n}} d\Gamma + \int_{\Omega} u (\nabla^2 + k^2) g d\Omega = 0$$
 (5.19)

Teniendo en consideración que el método aplicado en el trabajo corresponde a un estudio de borde, es necesario llevar aquellas partes de la ecuación 5.19 que se estudian en el volumen, al borde. Se mencionó que la ecuación de Helmholtz es resuelta por la solución fundamental de Green (la cual no será profundizada y solo se utilizará), esta se presenta en el caso de una onda en tres dimensiones como:

$$g(\mathbf{r} - \mathbf{r'}) = \frac{e^{ik|\mathbf{r} - \mathbf{r'}|}}{4\pi|\mathbf{r} - \mathbf{r'}|}$$

con r_0 como punto fuente. Siendo solución de la ecuación de Helmholtz propuesta:

$$(\Delta + k^2)g(\mathbf{r} - \mathbf{r'}) = -f(\mathbf{r} - \mathbf{r'})$$
(5.20)

Con esta solución fundamental de Green, se puede reescribir la ecuación 5.19 para la superficie Γ del volumen en estudio:

$$u_{ext}(\mathbf{r}) = \int_{\Gamma} u_{ext}(\mathbf{r'}) \frac{\partial g(\mathbf{r} - \mathbf{r'})}{\partial \mathbf{n}(\mathbf{r'})} d\Gamma(\mathbf{r'}) - \int_{\Gamma} g(\mathbf{r} - \mathbf{r'}) \frac{\partial u_{ext}(\mathbf{r'})}{\partial \mathbf{n}(\mathbf{r'})} d\Gamma(\mathbf{r'}),$$
(5.21)

la cual corresponde a la ecuación base del problema, ya que en ella sólo se estudiará el borde de la geometría requerida. Para este caso en particular, se utilizarán las normales de todas las geometrías implicadas hacia el exterior.

Con esto en mente, por fin se puede pensar en el problema principal de una onda incidente en la superficie de un objeto. Para esto se deben acordar ciertas nomenclaturas. Si el campo "u" se elige igual al campo de onda incidente constante, se obtiene una solución de la forma:

$$u = u_{inc} + u_{scat} (5.22)$$

donde u_{inc} corresponde a la onda incidente al objeto y u_{scat} es el campo dispersado o dispersor, del inglés "scattered".

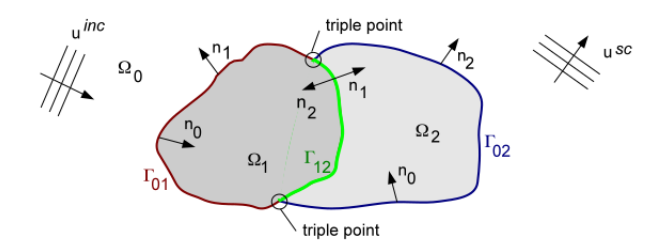


Figura 17: Onda incidente y dispersor en geometrías, con sus respectivas normales.

Además, como se mencionará en la sección siguiente, con la biblioteca que proporciona BEM++, se tienen operadores que corresponden a los que se utilizarán para la resolución de la ecuación de Helmholtz. Estos son el operador de capa simple y el operador de capa doble (Single layer potential y Double layer potential, en inglés):

$$[S\psi](\mathbf{r}) = \int_{\Gamma} g(\mathbf{r} - \mathbf{r'}) \psi(\mathbf{r'}) d\Gamma(\mathbf{r'})$$

$$[D\phi](\mathbf{r}) = \int_{\Gamma} \frac{\partial}{\partial n(\mathbf{r'})} g(\mathbf{r} - \mathbf{r'}) \phi(\mathbf{r'}) d\Gamma(\mathbf{r'})$$

$$\mathbf{r} \in \Omega$$
(5.23)

Cuando se hace tender un punto que se encuentra fuera de la geometría, a un punto definido en el borde, como se muestra en las figuras 18 y 19, en las cuales el $r = \varepsilon$ se hace tender a cero, se genera una condición particular en el caso del operador de capa doble:

$$\lim_{\mathbf{r}\to\mathbf{0}}\int_{\Gamma}u(\mathbf{r'})\frac{\partial g(\mathbf{r}-\mathbf{r'})}{\partial\mathbf{n}(\mathbf{r'})}d\Gamma(\mathbf{r'})=\int_{\Gamma}u(\mathbf{r'})\frac{\partial g(\mathbf{r}-\mathbf{r'})}{\partial\mathbf{n}(\mathbf{r'})}d\Gamma(\mathbf{r'})+\frac{1}{2}u(\mathbf{r})$$

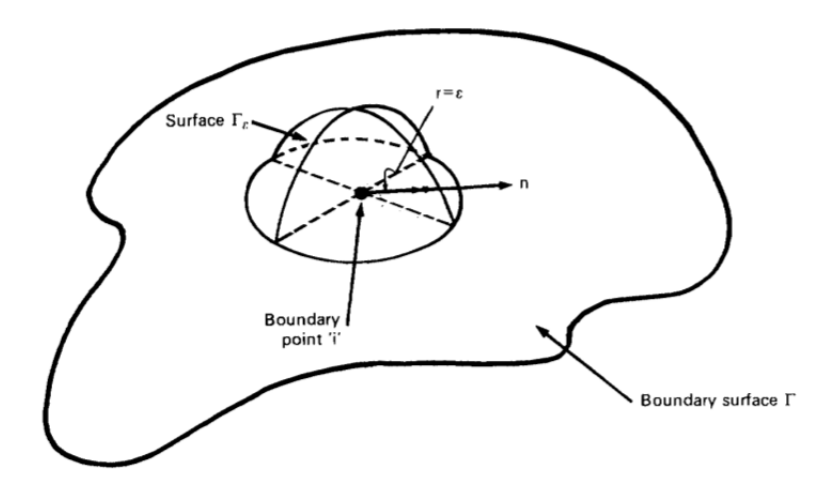


Figura 18: Punto exterior a la geometría que se acercará al borde.

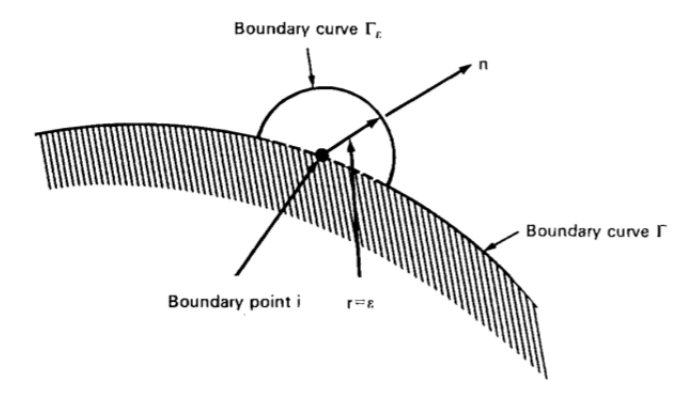


Figura 19: Punto exterior en la geometría que se acercará al borde.

Análogamente, se puede hacer el mismo procedimiento para el caso interior, haciendo tender desde un punto interior del volumen, con tan solo un cambio de signos:

$$\lim_{\mathbf{r}\to\mathbf{0}}\int_{\Gamma}u(\mathbf{r'})\frac{\partial g(\mathbf{r}-\mathbf{r'})}{\partial\mathbf{n}(\mathbf{r'})}d\Gamma(\mathbf{r'}) = \int_{\Gamma}u(\mathbf{r'})\frac{\partial g(\mathbf{r}-\mathbf{r'})}{\partial\mathbf{n}(\mathbf{r'})}d\Gamma(\mathbf{r'}) - \frac{1}{2}u(\mathbf{r})$$

Luego, si se reemplaza 5.22 en 5.21 y se tiene en cuenta la condición para el operador de capa doble, se puede reescribir la ecuación de la forma:

$$u^{ext}(\mathbf{r}) = \frac{1}{2}u_s^{ext}(\mathbf{r}) + \int_{\Gamma} u_s^{ext}(\mathbf{r'}) \frac{\partial g(\mathbf{r} - \mathbf{r'})}{\partial \mathbf{n}(\mathbf{r'})} d\Gamma(\mathbf{r'}) - \int_{\Gamma} g(\mathbf{r} - \mathbf{r'}) \frac{\partial u_s^{ext}(\mathbf{r'})}{\partial \mathbf{n}(\mathbf{r'})} d\Gamma(\mathbf{r'}) + u_{inc}(\mathbf{r}), \quad (5.24)$$

o en su forma de operador:

$$u^{ext}(\mathbf{r}) = \frac{I}{2} u_s^{ext}(\mathbf{r}) + \left[D u_s^{ext} \right](\mathbf{r}) - \left[S \frac{\partial u_s^{ext}}{\partial n} \right](\mathbf{r}) + u_{inc}(\mathbf{r}), \tag{5.25}$$

donde u_s corresponde al dispersor u_{scat} , que a su vez se divide segun su superíndice en *exterior* e *interior*, y donde I corresponde al operador de la matriz identidad.

Dado que en el interior de la geometría no hay onda incidente, la ecuación en el interior es más sencilla y es de la forma:

$$u^{int}(\mathbf{r}) = \frac{I}{2} u_s^{int}(\mathbf{r}) - \left[D u_s^{int} \right](\mathbf{r}) + \left[S \frac{\partial u_s^{int}}{\partial n} \right](\mathbf{r})$$
 (5.26)

Aún así, es necesario establecer una segunda ecuación para la coherencia de ecuaciones e incógnitas, dado que se tiene una sola ecuación para las dos incógnitas u y $\frac{\partial u}{\partial n}$. Para esto, se realiza una derivada con respecto a la normal de la geometría sobre las ecuaciones anteriores, siempre con respecto a r, obteniéndose:

$$\frac{\partial u^{ext}}{\partial n}(\mathbf{r}) = \frac{I}{2} \frac{\partial u_s^{ext}}{\partial n}(\mathbf{r}) + \left[D' u_s^{ext} \right](\mathbf{r}) - \left[S' \frac{\partial u_s^{ext}}{\partial n} \right](\mathbf{r}) + \frac{\partial u_{inc}}{\partial n}(\mathbf{r})$$
(5.27)

$$\frac{\partial u^{int}}{\partial n}(\mathbf{r}) = \frac{I}{2} \frac{\partial u_s^{int}}{\partial n}(\mathbf{r}) + \left[S' \frac{\partial u_s^{int}}{\partial n} \right](\mathbf{r}) - \left[D' u_s^{int} \right](\mathbf{r}), \tag{5.28}$$

donde S' corresponde al operador adjunto de doble capa (Adjoint Double Layer Potential, en inglés) y D' al operador hipersingular (Hypersingular, en inglés), como se mencionará en la sección siguiente. Estos se definen como:

$$[S'\psi](\mathbf{r}) = \int_{\Gamma} \frac{\partial}{\partial n(\mathbf{r})} g(\mathbf{r} - \mathbf{r'}) \psi(\mathbf{r'}) d\Gamma(\mathbf{r'}) \quad \text{y} \quad [D'\phi](\mathbf{r}) = -\frac{\partial}{\partial n(\mathbf{r})} \left[\int_{\Gamma} \frac{\partial}{\partial n(\mathbf{r'})} g(\mathbf{r} - \mathbf{r'}) \phi(\mathbf{r'}) d\Gamma(\mathbf{r'}) \right]$$

Además, dado que el campo exterior es igual al campo interior en un punto del borde, la ecuación exterior e interior 5.27 y 5.28 se pueden igualar, obteniéndose así:

$$\frac{I}{2}(u^{int} - u^{ext})(\mathbf{r}) - \left[D_{ext}u^{ext} + D_{int}u^{int}\right](\mathbf{r}) + \left[S_{int}\frac{\partial u^{int}}{\partial n} + S_{ext}\frac{\partial u^{ext}}{\partial n}\right](\mathbf{r}) = u_{inc}(\mathbf{r}), \quad (5.29)$$

cuando se estudia en el borde.

Dado que existe un traspaso del campo hacia el interior del objeto, es necesario establecer ciertas condiciones de transmisión. Estas son las siguientes:

$$u^{i} = u^{e}$$

$$\frac{\partial u^{i}}{\partial n} = \frac{\mu_{i}}{\mu_{e}} \frac{\partial u^{e}}{\partial n}$$

donde para ser consecuente con la nomenclatura encontrada en los textos, se define:

$$\frac{\mu_i}{\mu_e} = \alpha$$

Con estas condiciones, se pueden reescribir las ecuaciones (5.29), (5.27) y (5.28) de la forma:

$$[-D_e - D_i] u^e(\mathbf{r}) + [\alpha S_i + S_e] \frac{\partial u^e}{\partial n}(\mathbf{r}) = u_{inc}(\mathbf{r})$$
(5.30)

$$\left(\frac{\alpha - 1}{2}\right) \frac{\partial u^e}{\partial n}(\mathbf{r}) + \left[-D'_e - D'_i \right] u^e(\mathbf{r}) + \left[\alpha S'_i + S'_e \right] \frac{\partial u^e}{\partial n}(\mathbf{r}) = \frac{\partial u_{inc}}{\partial n}(\mathbf{r}). \tag{5.31}$$

El cual es el sistema de ecuaciones que da paso al cálculo de dispersión en objetos, tambien escrito como matriz:

$$\begin{bmatrix} -D_e - D_i & \alpha S_i + S_e \\ -D'_e - D'_i & (\frac{\alpha - 1}{2}) + \alpha S'_i + S'_e \end{bmatrix} \begin{bmatrix} u^e \\ \frac{\partial u^e}{\partial n} \end{bmatrix} = \begin{bmatrix} u_{inc} \\ \frac{\partial u_{inc}}{\partial n} \end{bmatrix}.$$
 (5.32)

5.3. Dispersión en múltiples objetos o Multiple Scattering

En la sección anterior, se llegó a ecuaciones que permitían calcular la dispersión en un objeto, debido a que el campo que llega a él se separa en lo que incide y lo que se dispersa, ya que respetando la condición de radiación de Sommerfield, no debiese llegar nuevamente al objeto ni modificar la fuente. Pero eso se cumple únicamente cuando existe una sola geometría en cuestión, lo que se aleja del problema real a resolver, debido a que en este no sólo se requiere que sean múltiples geometrías, si no que además se necesita que los microhilos se posicionen dentro de un compósito que los contendrá, lo que aumentará la dificultad de las expresiones y de su cálculo.

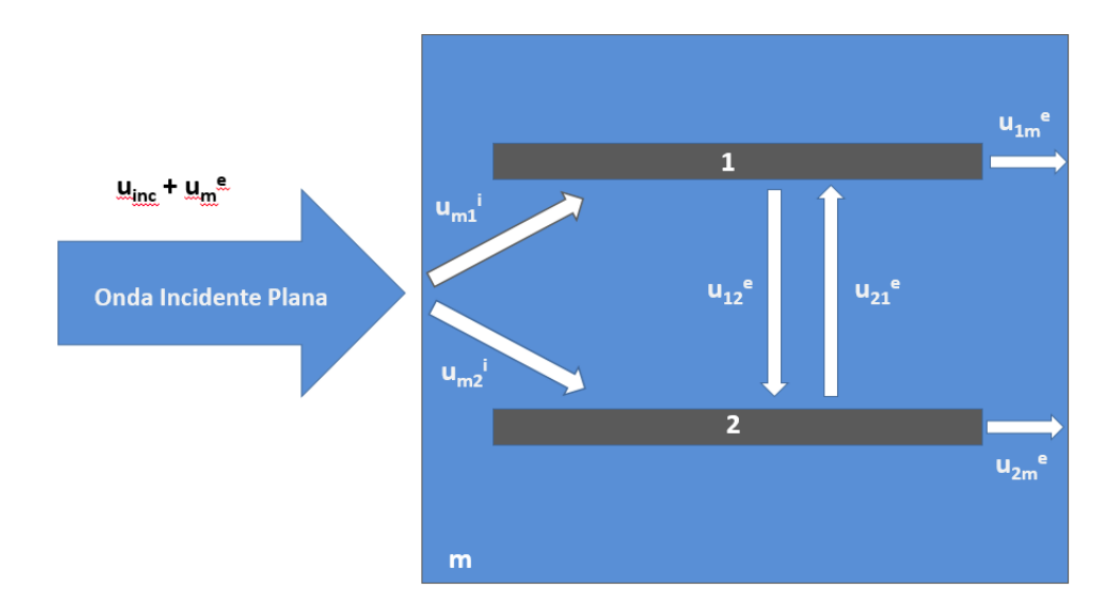


Figura 20: Nomenclatura a utilizar en dispersión sobre múltiples objetos. 1 y 2 corresponden a dos hilos y "m" corresponde a la matriz.

Como antes, es necesario establecer cierta nomenclatura utilizada dado que se utilizarán múltiples volúmenes. El subíndice "11" se referirá a un operador actuando desde el volumen 1, a sí mismo. El operador "12" significará que se está integrando con los operadores desde la geometría

1 al borde de la geometría 2. Para el caso de las incógnitas, sólo significará la geometría a la que pertenecen, como por ejemplo, u_1 .

Teniendo lo anterior en cuenta, acomodando las ecuaciones para dos geometrías, se obtiene:

$$\left[-D_e^{11} - D_i^{11} \right] u_1^e(\mathbf{r}) + \left[\alpha S_i^{11} + S_e^{11} \right] \frac{\partial u_1^e}{\partial n}(\mathbf{r}) + \left[D_e^{21} u_2^e \right](\mathbf{r}) - \left[S_e^{21} \frac{\partial u_2^e}{\partial n} \right](\mathbf{r}) = u_{inc}^1(\mathbf{r})$$
(5.33)

$$\left[-D_e^{22} - D_i^{22} \right] u_2^e(\mathbf{r}) + \left[\alpha S_i^{22} + S_e^{22} \right] \frac{\partial u_2^e}{\partial n}(\mathbf{r}) + \left[D_e^{12} u_1^e \right](\mathbf{r}) - \left[S_e^{12} \frac{\partial u_1^e}{\partial n} \right](\mathbf{r}) = u_{inc}^2(\mathbf{r})$$
(5.34)

$$\left(\frac{\alpha-1}{2}\right)\frac{\partial u_{1}^{e}}{\partial n}(\mathbf{r}) + \left[-D_{e}^{'11} - D_{i}^{'11}\right]u_{1}^{e}(\mathbf{r}) + \left[\alpha S_{i}^{'11} + S_{e}^{'11}\right]\frac{\partial u_{1}^{e}}{\partial n}(\mathbf{r}) + \left[D_{e}^{21}u_{2}^{e}\right](\mathbf{r}) - \left[S_{e}^{21}\frac{\partial u_{2}^{e}}{\partial n}\right](\mathbf{r}) = \frac{\partial u_{inc}^{1}}{\partial n}(\mathbf{r})$$
(5.35)

$$\left(\frac{\alpha-1}{2}\right)\frac{\partial u_{2}^{e}}{\partial n}(\mathbf{r}) + \left[-D_{e}^{'22} - D_{i}^{'22}\right]u_{2}^{e}(\mathbf{r}) + \left[\alpha S_{i}^{'22} + S_{e}^{'22}\right]\frac{\partial u_{2}^{e}}{\partial n}(\mathbf{r}) + \left[D_{e}^{12}u_{1}^{e}\right](\mathbf{r}) - \left[S_{e}^{12}\frac{\partial u_{1}^{e}}{\partial n}\right](\mathbf{r}) = \frac{\partial u_{inc}^{2}}{\partial n}(\mathbf{r}).$$
(5.36)

las cuales representan al sistema de ecuaciones a resolver para 2 geometrías, y como se hizo anteriormente, se pueden ordenar de forma matricial:

$$\begin{bmatrix} -D_{e}^{11} - D_{i}^{11} & \alpha S_{i}^{11} + S_{e}^{11} & D_{e}^{21} & -S_{e}^{21} \\ -D_{e}^{'11} - D_{i}^{'11} & (\frac{\alpha - 1}{2}) + \alpha S_{i}^{'11} + S_{e}^{'11} & D_{e}^{'21} & -S_{e}^{'21} \\ D_{e}^{12} & -S_{e}^{12} & -D_{e}^{22} - D_{i}^{22} & \alpha S_{i}^{22} + S_{e}^{22} \\ D_{e}^{'12} & -S_{e}^{'12} & -D_{e}^{'22} - D_{i}^{'22} & (\frac{\alpha - 1}{2}) + \alpha S_{i}^{'22} + S_{e}^{'22} \end{bmatrix} \begin{bmatrix} u_{1}^{e} \\ \frac{\partial u_{1}^{e}}{\partial n} \\ u_{2}^{e} \\ \frac{\partial u_{inc}^{e}}{\partial n} \end{bmatrix} = \begin{bmatrix} u_{inc}^{1} \\ \frac{\partial u_{inc}^{1}}{\partial n} \\ u_{inc}^{2} \\ \frac{\partial u_{inc}^{2}}{\partial n} \end{bmatrix}.$$
(5.37)

Para el caso en que se tiene una geometría dentro de otra, se debe formular con cuidado debido a que en este ejemplo, la geometría 2 se encuentra contenida en la geometría 1, y las ecuaciones sólo son válidas para ese caso. Se presenta como:

$$\begin{bmatrix} -D_{e}^{11} - D_{i}^{11} & S_{i}^{11} + \frac{1}{\alpha}S_{e}^{11} & D_{e}^{21} & -S_{e}^{21} \\ -D_{e}^{'11} - D_{i}^{'11} & (\frac{\alpha - 1}{2\alpha}) + S_{i}^{'11} + \frac{1}{\alpha}S_{e}^{'11} & D_{e}^{'21} & -S_{e}^{'21} \\ -D_{e}^{12} & S_{e}^{12} & -D_{e}^{22} - D_{i}^{22} & \alpha S_{i}^{22} + S_{e}^{22} \\ -D_{e}^{'12} & S_{e}^{'12} & -D_{e}^{'22} - D_{i}^{'22} & (\frac{\alpha - 1}{2\alpha}) + \alpha S_{i}^{'22} + S_{e}^{'22} \end{bmatrix} \begin{bmatrix} u_{1}^{i} \\ \frac{\partial u_{1}^{i}}{\partial n} \\ u_{2}^{e} \\ \frac{\partial u_{2}^{e}}{\partial n} \end{bmatrix} = \begin{bmatrix} u_{inc}^{1} \\ \frac{\partial u_{inc}^{1}}{\partial n} \\ 0 \\ 0 \end{bmatrix}.$$
(5.38)

6. Método de elementos de borde y BEM++

6.1. BEM

El método de elementos de borde ha surgido como una alternativa poderosa a los elementos finitos en los casos donde se requiere mayor precisión, como es el caso de concentración de esfuerzos, o donde el dominio se extiende al infinito. La característica más importante del método de elemento de bordes es que la metodología de formulación de las ecuaciones integrales de borde permite describir problemas de condiciones de borde conocidos o desconocidos. Por ende, solo se requiere una discretización de la superficie y no del volumen, reduciendo las dimensiones del problema en una dimensión. En consecuencia, el esfuerzo necesario para discretizar es bastante menor y las mallas son fáciles de generar y modificar. El método de elementos de borde es particularmente ventajoso en el caso de problemas de dominio infinito o semi-infinito (exterior domain problems, en inglés).

6.1.1. Ventajas de BEM

- Menor tiempo de preparación de la información: Esto es un resultado directo del hecho de modelar únicamente la superficie. Por lo tanto, el tiempo de preparación y de revisión de la información del problema es menor.
- Alta resolución de esfuerzos: Los esfuerzos son muy precisos debido a que no hay mayor aproximación impuesta en la solución de los puntos interiores, por lo tanto, la solución es exacta y completamente continua en el interior del dominio.
- Menor tiempo y almacenamiento del computador: Para la misma precisión, BEM usa un menor número de nodos y elementos (aunque una matriz muy llena). Para lograr resultados comparables en valores de esfuerzos, las mallas de FEM requieren mayores divisiones de borde que las mallas de BEM.
- Menos información no deseada: En la mayoría de los problemas ingenieriles, la peor situación (como fracturas, concentración de esfuerzos, choques térmicos, etc.) usualmente ocurre en las superficies. Por lo que modelar un cuerpo completo en tres dimensiones y calcular la información requerida en cada nodo del problema es bastante ineficiente. Usar un método de bordes disminuye los recursos necesarios, y ya que los puntos internos de BEM son opcionales, se hace énfasis en la parte querida y no en todo el interior.

6.1.2. Desventajas de BEM

 Matemáticas compleja: Utiliza matemáticas compleja, aunque no difícil de aprender. Por otro lado, los procedimientos numéricos de FEM pueden ser utilizados directamente a las soluciones de BEM.

- *Problemas no lineales:* En estos, el interior debe ser modelado, inevitablemente.
- Matrices complejas y no simétricas: La matriz solución de los problemas de BEM es asimétrica y llena de coeficientes distintos a cero, mientras que en FEM la matriz es más grande, pero escasamente populada. Esto significa que en BEM, la matriz debe ser almacenada por completa en la memoria del computador. Aún asi, esto no es una gran desventaja debido a que para obtener el mismo nivel de precisión que en FEM, BEM requiere un menor número de nodos y elementos, como se mencionó anteriormente.
- Herramienta pobre para análisis de estructuras finas en tres dimensiones: Esto debido al cuociente elevado entre superficie y volumen y la alta proximidad entre puntos nodales en la estructura. Esto provoca imprecisiones en las integraciones numéricas.

6.1.3. Estructuración de BEM

Una aplicación típica del método en cuestión se da de la siguiente áorma, la cual se justificará con ejemplos mas adelante:

- Modelo Matemático
- Fórmula de representación
- Ecuación integral de bordes
- Elementos de borde
- Ecuaciones discretizadas
- Solución lineal de los sistemas
- Análisis e interpretación

6.2. Utilizando BEM++ como biblioteca

Como se mencionó, BEM++ es una biblioteca de C++ con uso de python. La biblioteca esta compuesta de cinco grandes partes, esquematizadas en la figura 21.

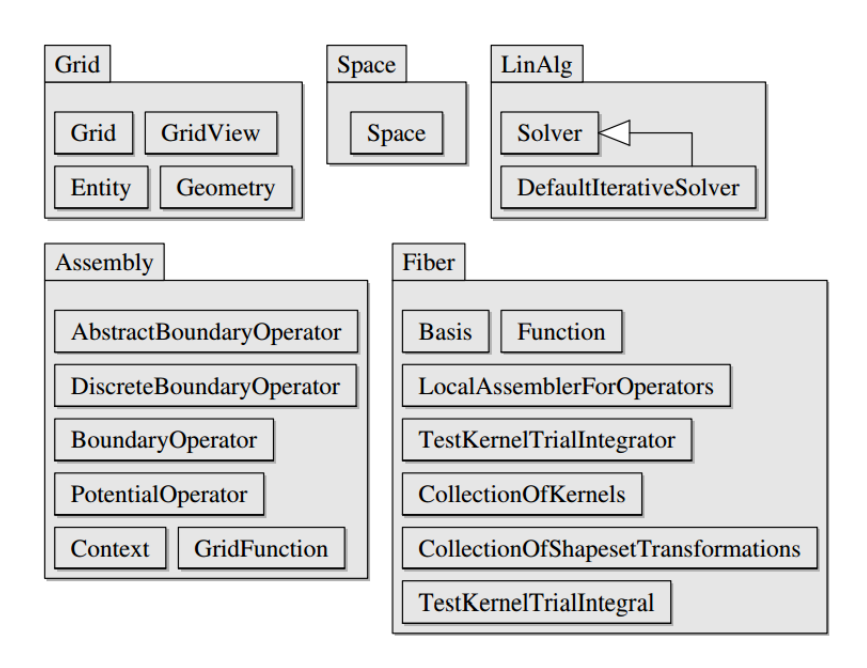


Figura 21: Módulos de BEM++ con sus clases más importantes.

El módulo *Grid* es responsable del manejo de las mallas, las cuales existen en la biblioteca para geometrías simples, o bien pueden ser importadas en el formato adecuado.

Las *Fiber* son rutinas rápidas de integración de elementos de borde, las cuales son un componente esencial debido a que este módulo es responsable de la evaluación de integrales de elementos de borde en un elemento solo o en pares de elementos, sin tomar en cuenta su conectividad.

El módulo *Space* representa el espacio de funciones definidas en los elementos de una malla. Provee un mapeo entre elementos y actúa como un regulador de los grados de libertad, utilizando su conocimiento respecto a la conectividad elemento-elemento.

El módulo *Assembly* es la parte más larga de la biblioteca. Define clases representando a los integradores operacionales y funciones definidas en las mallas, conteniendo en general, el código responsable del ensamblaje de todas aquellas matrices de operadores discretizados desde integrales elementales producidas en el módulo *Fiber*.

Finalmente esta el módulo *LinAlg*, el cual provee interfaces para un amplio rango de solucionadores lineales.

Name	Description
PiecewiseConstantScalarSpace	Space $S_h^{(0)}$ of piecewise constant functions.
${\tt Piecewise Constant Dual Grid Scalar Space}$	Space of piecewise constant functions defined on the dual grid.
PiecewiseLinearContinuousScalarSpace	Space $S_h^{(1)}$ of continuous piecewise linear functions.
PiecewiseLinearDiscontinuousScalarSpace	Space of element-wise linear functions.
PiecewisePolynomialContinuousScalarSpace	Space of continuous piecewise polynomial functions.
PiecewisePolynomialDiscontinuousScalarSpace	Space of element-wise polynomial functions.
RaviartThomasOVectorSpace	Space of lowest-order Raviart-Thomas basis functions.
UnitScalarSpace	Space of globally constant functions.

Figura 22: Principales espacios de la librería de BEM++

Function	Weak form
<pre>identityOperator() maxwell3dIdentityOperator() laplaceBeltrami3dOperator()</pre>	$ \int_{\Gamma} \overline{\phi}(\mathbf{x}) \psi(\mathbf{x}) d\Gamma(\mathbf{x}) \int_{\Gamma} \overline{\phi}(\mathbf{x}) \cdot [\psi(\mathbf{x}) \times \boldsymbol{n}(\mathbf{x})] \int_{\Gamma} \nabla_{\Gamma} \overline{\phi}(\mathbf{x}) \cdot \nabla_{\Gamma} \psi(\mathbf{x}) d\Gamma(\mathbf{x}) $
laplace3dSingleLayerBoundaryOperator() laplace3dDoubleLayerBoundaryOperator() laplace3dAdjointDoubleLayerBoundaryOperator() laplace3dHypersingularBoundaryOperator()	$\begin{split} &\int_{\Gamma} \int_{\Sigma} \overline{\phi}(\mathbf{x}) g(\mathbf{x}, \mathbf{y}) \psi(\mathbf{y}) \mathrm{d}\Gamma(\mathbf{x}) \mathrm{d}\Sigma(\mathbf{y}) \\ &\int_{\Gamma} \int_{\Sigma} \overline{\phi}(\mathbf{x}) \partial_{\mathbf{n}(\mathbf{y})} g(\mathbf{x}, \mathbf{y}) \psi(\mathbf{y}) \mathrm{d}\Gamma(\mathbf{x}) \mathrm{d}\Sigma(\mathbf{y}) \\ &\int_{\Gamma} \int_{\Sigma} \overline{\phi}(\mathbf{x}) \partial_{\mathbf{n}(\mathbf{x})} g(\mathbf{x}, \mathbf{y}) \psi(\mathbf{y}) \mathrm{d}\Gamma(\mathbf{x}) \mathrm{d}\Sigma(\mathbf{y}) \\ &\int_{\Gamma} \int_{\Sigma} \mathbf{curl}_{\Gamma} \overline{\phi}(\mathbf{x}) \cdot g(\mathbf{x}, \mathbf{y}) \mathbf{curl}_{\Sigma} \psi(\mathbf{y}) \mathrm{d}\Gamma(\mathbf{x}) \mathrm{d}\Sigma(\mathbf{y}) \end{split}$
helmholtz3dSingleLayerBoundaryOperator() helmholtz3dDoubleLayerBoundaryOperator() helmholtz3dAdjointDoubleLayerBoundaryOperator() helmholtz3dHypersingularBoundaryOperator()	$\int_{\Gamma} \int_{\Sigma} \overline{\phi}(\mathbf{x}) g_k(\mathbf{x}, \mathbf{y}) \psi(\mathbf{y}) d\Gamma(\mathbf{x}) d\Sigma(\mathbf{y})$ $\int_{\Gamma} \int_{\Sigma} \overline{\phi}(\mathbf{x}) \partial_{\mathbf{n}(\mathbf{y})} g_k(\mathbf{x}, \mathbf{y}) \psi(\mathbf{y}) d\Gamma(\mathbf{x}) d\Sigma(\mathbf{y})$ $\int_{\Gamma} \int_{\Sigma} \overline{\phi}(\mathbf{x}) \partial_{\mathbf{n}(\mathbf{x})} g_k(\mathbf{x}, \mathbf{y}) \psi(\mathbf{y}) d\Gamma(\mathbf{x}) d\Sigma(\mathbf{y})$ $\int_{\Gamma} \int_{\Sigma} g_k(\mathbf{x}, \mathbf{y}) [\mathbf{curl}_{\Gamma} \overline{\phi}(\mathbf{x}) \cdot \mathbf{curl}_{\Sigma} \psi(\mathbf{y})$ $-k^2 \overline{\phi}(\mathbf{x}) \mathbf{n}(\mathbf{x}) \cdot \psi(\mathbf{y}) \mathbf{n}(\mathbf{y})] d\Gamma(\mathbf{x}) d\Sigma(\mathbf{y})$
maxwell3dSingleLayerBoundaryOperator()	$ \int_{\Gamma} \int_{\Sigma} g_k(\mathbf{x}, \mathbf{y}) [-\mathrm{i}k \overline{\phi}(\mathbf{x}) \cdot \psi(\mathbf{y}) \\ -\frac{1}{\mathrm{i}k} \operatorname{div}_{\Gamma} \overline{\phi}(\mathbf{x}) \operatorname{div}_{\Sigma} \psi(\mathbf{y})] \mathrm{d}\Gamma(\mathbf{x}) \mathrm{d}\Sigma(\mathbf{y}) $
<pre>maxwell3dDoubleLayerBoundaryOperator()</pre>	$\int_{\Gamma} \int_{\Sigma} \nabla_{\mathbf{x}} g_k(\mathbf{x}, \mathbf{y}) \cdot [\overline{\boldsymbol{\phi}}(\mathbf{x}) \times \boldsymbol{\psi}(\mathbf{y})] \mathrm{d}\Gamma(\mathbf{x}) \mathrm{d}\Sigma(\mathbf{y})$

Figura 23: Funciones que construyen los operadores de la biblioteca.

Para la resolución de problemas, BEM++ utiliza variados tipos de espacios:

- *Discontinuous polynomial spaces* (DP), estos espacios de funciones son polinomios a través de cada elemento pero discontinuos entre elementos. El orden máximo es de 10.
- *Polynomial spaces* (P), estos espacios de funciones son polinomios a través de cada elemento y continuos entre elementos. El orden mínimo es 0. El máximo es 10.
- Polynomial spaces on barycentric grids (B-P), Estos son los mismos espacios que los Polynomial spaces y el mismo número de grados de libertad, pero esta vez el refinamiento de la malla es baricéntrico. El único orden permito actualmente es de 1.
- Discontinuous polynomial spaces on barycentric grids (B-DP), similar al espacio B-P pero los polinomios de los espacios de funciones son discontinuos entre elementos. Igualmente solo se puede utilizar orden 1.
- Dual spaces of constant functions (DUAL), este es un espacio de funciones constantes definidas en una malla dual.
- Raviart-Thomas Vector Space (RT), estos son espacios de funciones de Raviart-Thomas. Estos son necesarios para operadores integrales en scattering electromagnético. Sólo existen de orden 0.

Otra carácterística de BEM++, es que cuenta con numerosos operadores que se basan en el concepto de operadores de borde.

Un operador de borde

$$A: D \rightarrow R$$

es un mapeo desde un dominio D hasta un recorrido R, donde ambos son definidos en una malla.BEM++ no trabaja directamente con el operador de borde A, sino que con su forma débil,

$$a(u,v) = \int_{\Gamma} [Au](\mu)\overline{v(\mu)}d\mu \quad u\varepsilon D, v\varepsilon V$$

Donde V es el espacio dual a espacio de alcance. Los operadores en BEM++ por lo general utilizan como argumento D, R y V. Actualmente la librería dispone de los siguientes operadores integrales,

■ Single-layer boundary operator

$$[S\psi](x) = \int_{\Gamma} g(x, y) \psi(y) d\Gamma(y)$$

Double-layer boundary operator

$$[K\phi](x) = \int_{\Gamma} \frac{\partial}{\partial n(y)} g(x, y) \phi(y) d\Gamma(y)$$

Adjoint double layer boundary operator

$$[K'\psi](x) = \int_{\Gamma} \frac{\partial}{\partial n(x)} g(x, y) \psi(y) d\Gamma(y)$$

Hypersingular

$$[D\phi](x) = -\frac{\partial}{\partial n(x)} \left[\int_{\Gamma} \frac{\partial}{\partial n(y)} g(x, y) \phi(y) d\Gamma(y) \right]$$

Estos son posible de implementar a través de las siguientes soluciones fundamentales,

■ Laplace $(-\triangle u = 0)$

$$g(x,y) = \frac{1}{4\pi|x-y|}$$

■ Hemholtz modificado $(-\triangle u + \omega^2 u = 0)$

$$g(x,y) = \frac{e^{-\omega|x-y|}}{4\pi|x-y|}$$

• Helmholtz $(-\triangle u - k^2 u = 0)$

$$g(x,y) = \frac{e^{ik|x-y|}}{4\pi|x-y|}$$

Además, BEM++ soporta la solución de la ecuación de Maxwell de la forma:

$$\nabla \times \nabla \times u - k^2 u = 0$$

con los siguientes operadores potenciales,

Operador potencial de campo eléctrico de Maxwell

$$[\varepsilon\phi](x) = ik \int_{\Gamma} g(x,y)\phi(y)ds - \frac{1}{ik}\nabla_x \int_{\Gamma} g(x,y)(\nabla_{\Gamma}\cdot\phi)(y)ds(y)$$

Operador potencial de campo magnético de Maxwell

$$[M\phi](x) = \nabla_x \times \int_{\Gamma} g(x, y) \phi(y) ds$$

y operadores de borde:

Operador de campo eléctrico de Maxwell de borde

$$s(\phi, \psi) = \int_{\Gamma} \int_{\Gamma} g(x, y) \left[-ik \overline{\psi(x)} \cdot \phi(y) - \frac{1}{ik} (\nabla_{\Gamma} \cdot \overline{\psi}) (x) (\nabla_{\Gamma} \cdot \phi) (y) \right] ds(x) ds(y)$$

Operador de campo magnético de Maxwell de borde

$$c(\phi, \psi)) = \int_{\Gamma} \int_{\Gamma} \nabla_{x} g(x, y) \left[\overline{\psi(x)} \times \phi(y) \right] ds(x) ds(y)$$

Es también posible utilizar los operadores identidad y de LaPlace-Beltrami.

Fundamentalmente el ensamblaje de los operadores integrales de borde en BEM++ están basados en una evaluación de integrales del tipo:

$$I = \int_{T_1} \int_{T_2} g(x, y) \phi(y) \overline{\psi(x)} ds(y) ds(x)$$

donde T1 y T2 son triángulos pertenecientes a la malla de integración. $\psi(x)$ y $\phi(y)$ son funciones en T1 y T2. Se diferencian 2 casos:

- *T*1 y *T*2 no tienen conexión.
- *T*1 y *T*2 comparten un vértice, cara o son idénticos.

El primer caso es resuelto a través de una cuadratura Gaussiana de la forma:

$$I \approx \sum_{i=1}^{N_1} \sum_{j=1}^{N_2} g(x_i, y_j) \phi(y_j) \overline{\psi(x_i)} \omega_i^{(1)} \omega_j^{(2)}$$

Para el segundo caso es necesario tomar en cuenta la singularidad y se debe tomar particular atención. Es posible cambiar el orden de la cuadratura utilizada.

Esta información, y bastante más, se puede encontrar en el sitio oficial del software, en su documentación.

7. Presentación del problema a resolver

Como se mencionó anteriormente, para la resolución y estudio de campos electromagnéticos irradiadios sobre compósitos con microhilos en la frecuencia de microondas, se requieren numerosas propiedades que son difíciles de obtener experimentalmente, por lo que es de gran ayuda una herramienta computacional que permita aproximar estos valores de acuerdo a una aproximación matemática en base a los resultados empíricos existentes. En algunas publicaciones científicas se pueden encontrar valores con respecto a las permeabilidades y permitividades efectivas de ciertos compósitos, los cuales son válidos únicamente para cierta configuración y proporción de hilo/compósito. Gracias a valores empíricos se establecerá una herramienta que permita calcular las permeabilidades y permitividades de los hilos en cuestión, para luego comprobar que el código desarrollado sea válido para la resolución de estos problemas. Luego de obtener las propiedades de los hilos, se utilizará el compósito sin hilos, con sus propiedades efectivas, y se comparará con las básicas por separado en el compósito con hilos.

Se trabajará con microhilos en un compósito de silicona, en disposición de pantalla como se mostró anteriormente, por lo que las formulaciones anteriores no son del todo útiles, dado que se explicó el primer caso de dispersión en dos cuerpos y el segundo caso de dispersión en un cuerpo dentro de otro. En el problema en estudio, existe una combinación de los dos, ya que se encuentran numerosos microhilos dentro de un compósito, por lo que será necesario generalizar la matriz de ecuaciones a usar.

En el presente trabajo se trabajará con 3 y 6 hilos, de 15 y $10[\mu m]$ de diámetro, respectivamente, separados por 2[mm] cada uno y de 1[cm] de largo, en una matriz de $16[mm] \times 16[mm] \times 1[mm]$ para el primer caso y $12[mm] \times 12[mm] \times 0,3[mm]$ para el segundo caso. Con estas medidas se tiene una proporción volumétrica hilo/matriz del 0,0022% y 0.01% respectivamente, para 3 y 6 hilos.

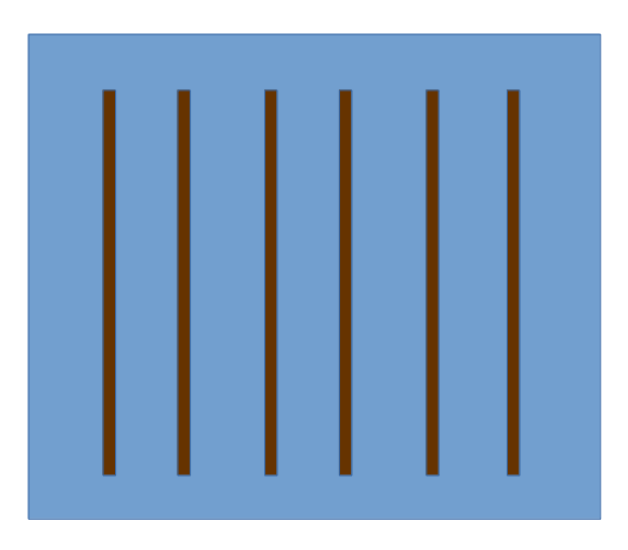


Figura 24: Disposición de los microhilos dentro del compósito.

7.1. Formulación de las ecuaciones

Uno de las variables más importantes cuando se considera dispersión de una onda sobre un objeto, es el índice de refracción, el cual corresponde al cociente de la velocidad de un fenómeno ondulatorio como luz o sonido en el de un medio de referencia, respecto a la velocidad de fase (v_p) en dicho medio:

$$n = \frac{c}{v_p}. (7.1)$$

Generalmente se utiliza la velocidad de la luz en el vacío (c = 299,792,458[m/s]) como medio de referencia, y en este caso eso:

$$n = \sqrt{\varepsilon_r \mu_r} \tag{7.2}$$

donde como se mencionó anteriormente, aparecen variables importantes como lo son μ y ε , que en este caso son los valores relativos, por lo que si se quiere utilizar el índice de refracción para los valores que se tienen de hilos, se debe reescribir la expresión como:

$$n = \frac{\sqrt{\mu \varepsilon}}{\sqrt{\mu_0 \varepsilon_0}},\tag{7.3}$$

donde μ y ε corresponde a la permeabilidad y permitividad del hilo, mientras que μ_0 y ε_0 a los de la luz en el vacío, los cuales ya se mencionaron en las secciones anteriores.

Además, anteriormente se mencionó la variable α en las condiciones de transmisión del campo en los hilos, la cual para el caso presente se define como:

$$\alpha = \frac{\mu_{int}}{\mu_{ext}}. (7.4)$$

Es por lo anterior, que es de suma importancia conocer el valor de estas variables para la simulación de dispersión.

Finalmente, con estas variables en consideración, y teniendo en cuenta que el problema a resolver será con más de un microhilo, es necesario replantear las ecuaciones para generalizar la matriz. Antes, se debe establecer una nomenclatura a seguir. Como en el caso anterior, el subíndice "i" indica interior, el subíndice "e" indica exterior, "m" se refiere a la matriz (mm indica efecto de matriz sobre sí misma) y la enumeración indica el número del hilo que se esta relacionando (1, 2, ..., n). Por ejemplo, S_{ext}^{2m} corresponde al operador de capa simple exterior que opera con respecto a la influencia del hilo número 2 sobre la matriz.

La matriz se presenta a continuación:

$\lceil u_{inc}^1 ceil$	$\frac{\partial u_{inc}^1}{\partial n}$	0	0	0	0		0	$\begin{bmatrix} 0 \end{bmatrix}$
<i>'</i> _				II				
$\left\lceil \left\lceil u_m^i ight ceil$	$\frac{\partial u_m^i}{\partial n}$	$ u_1^e $	$\frac{\partial u_1^e}{\partial n}$	u_2^e	$\frac{\partial u_2^e}{\partial n}$	•••	u_n^e	$\frac{\partial u_n^e}{\partial n}$
$-S_e^{nm}$	$-S_e'nm$	$-S_e^{n1}$	$-S_e^{'n1}$	$-S_e^{n2}$	$-S_e^{\prime n2}$		$\alpha S_i^{m} + S_e^{m}$	$\left(\frac{\alpha-1}{2\alpha}\right) + \alpha S_i^{'m} + S_e^{'m}$
D_e^{nm}	$D_e^{'nm}$	D_e^{n1}	$D_e'^{n1}$	D_e^{n2}	$D_e^{'n2}$		$-D_e^{nn}-D_i^{nn}$	$-D_e^{'nn}-D_i^{'nn}$
:	Ë	:	÷	÷	÷		÷	÷
$-S_e^{2m}$	$-S_e^{/2m}$	$-S_e^{21}$	$-S_e^{'21}$	$\alpha S_i^{22} + S_e^{22}$	$(\frac{\alpha-1}{2\alpha}) + \alpha S_i^{22} + S_e^{22}$		$-S_e^{2n}$	$-S_e^{2n}$
D_{ext}^{2m}	$D_e^{'2m}$	D_e^{21}	$D_e^{'21}$	$-D_e^{22} - D_i^{22}$	$-D_e^{'22} - D_i^{'22}$ (D_e^{2n}	D_e^{2n}
$-S_e^{1m}$	$-S_e^{'1m}$	$\alpha S_i^{11} + S_e^{11}$	$(\frac{\alpha_{-}}{2c})$	$-S_{e}^{12}$	$-S_e^{'12}$		$-S_e^{1n}$	$-S_e^{'1n}$
D_{ext}^{1m}	$D_e^{'1m}$	$-D_e^{11} - D_i^{11} \\$	$-D_{e}^{'11}-D_{i}^{'11} \\$	D_e^{12}	$D_e^{'12}$		D_e^{1n}	$D_e^{'1n}$
$S_i^{mm} + rac{1}{lpha} S_e^{mm}$	$(\frac{\alpha-1}{2\alpha}) + S_i'^{mm} + \frac{1}{\alpha}S_e'^{mm}$	S_i^{m1}	$S_i^{'m1}$	S_i^{m2}	S_i^{m2}		S_i^{mn}	$S_i'^{nm}$
$\left[-D_{e}^{nun}-D_{i}^{nun} ight.$	$-D_e^{'mm}-D_i^{'mm}$	$-D_i^{m1}$	$-D_i'^{m1}$	$-D_i^{m2}$	$-D_i'^{m2}$		$-D_i^{nm}$	$-D_i^{\prime mn}$

Se necesita entonces encontrar un método para obtener la permitividad y permeabilidad de los hilos. Para esto, se realizará un proceso en el cual desde valores de las permitividades efectivas del compósito se obtendrán los valores del hilo (análogamente para la permeabilidad), y luego se intentará comprobar su validez en base al código computacional que se presentará más adelante.

7.1.1. Obtención de propiedades de los hilos

En compósitos electrodinámicos, los microhilos conductores pueden generar propiedades de polarización inusual, como se mencionó anteriormente, en respuesta a radiación de distintas frecuencias. Como se propuso, los materiales serán tratados como un medio continuo, al menos en el rango del campo de radiación con una permitividad efectiva ε_{ef} .

La habilidad de estos microhilos para manipular la radiación electromagnética puede ser visto como una consecuencia de la dispersión de ε_{ef} . Estos materiales en el compósito demuestran la dispersión de la permitividad con frecuencias determinadas por la antena de resonancia $f_{res,n} = c(2n-1)/(2l\sqrt{\varepsilon})$, donde c es la velocidad de la luz, l es el largo de los hilos, ε es la permitividad de la matriz y n es un número entero. Las concentraciones volumétricas de hilos p deben cumplir con el límite $p < p_l \sim 2a/l$, donde a es el radio del microhilo. La forma general de la permitividad se da de la siguiente manera:

$$\varepsilon_{ef}(w) = \varepsilon + 4\pi p \sum_{n=1}^{\text{inf}} \frac{A_n}{(w_{res,n}^2 - w^2) - iw\Gamma_n},$$
(7.6)

donde la suma se realiza en todas las frecuencias de resonancia de antena $w_{res,n} = 2\pi f_{res,n}$, y la fuerza y relajación de los osciladores son descritos por los parámetros fenomenológicos A_n y Γ_n , respectivamente. Esto parámetros son contribuidos por pérdidas magnéticas y de resistividad.

Como se mencionó anteriormente, cuando el campo eléctrico es irradiado paralelamente sobre los microhilos, se crea un campo magnético circular en el radio. La dependencia de la impedancia en la superficie en las propiedades magnéticas se toman en consideración ya que se puede establecer una relación, en la cual la polarización η y la permitivdad efectiva ε_{ef} toman una forma analítica simple:

$$\eta = \frac{1}{2\pi l n(l/a)(\tilde{k}/a)^2} \left(\frac{2}{\tilde{k}l} tan(\tilde{k}l/2) - 1\right)$$
(7.7)

y

$$\varepsilon_{ef} = \varepsilon + 4\pi p\eta, \tag{7.8}$$

donde \tilde{k} es el número de onda renormalizado.

La polarización η fue derivada asumiendo que las pérdidas de radiación son insignificantes en comparación con las magnéticas y de resistividad, lo cual es razonable en un caso de "skin efect" moderado. Con esta polarización, la permitividad efectiva para ondas en los microhilos tiene una dispersión de plasma característica que resulta $\varepsilon_{ef} = \varepsilon - (w_p/w)^2$ pero con frecuencia de plasma reducida w_p ,

$$w_p = \frac{2\pi c^2}{L^2 ln(L/a)},$$
(7.9)

donde L es la distancia promedio entre hilos.

La permitividad efectiva con microhilos no-magnéticos es deducida utilizando una ténica de homogeinización, resolviendo las ecuaciones de Maxwell:

$$\varepsilon_{ef} = \varepsilon - p \frac{2\varepsilon_c F_1(k_c a)}{(ak_c)^2 F_1(k_c a) ln(L/a) - 1}$$
(7.10)

$$F_1 = J_1(x)/xJ_0(x), (7.11)$$

donde $p=\pi a^2/L^2$ es la concentración volumétrica de hilos, $\varepsilon_c=4\pi i\sigma/w$ es la permitividad dieléctrica del conductor, σ es la conductividad de los hilos, $k_c^2=4\pi i w\sigma/c^2$ es el número de onda en el hilo y $J_{0,1}$ son las funciones de Bessel. [13]

Con esta ecuación, es posible obtener el valor de la permitividad de los hilos ε_c con algún método de resolución de ecuaciones. En el presente caso, se utilizará un método iterativo de resolución llamado "punto fijo". Para la resolución se requiere de ciertos valores que se obtendrán del siguiente gráfico:

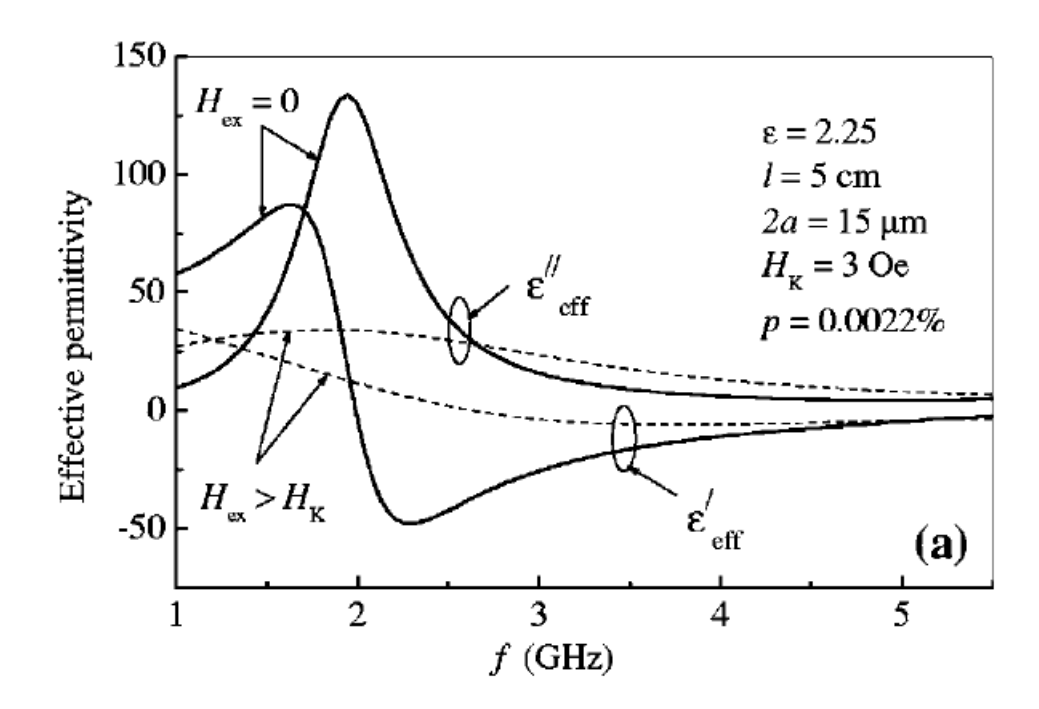


Figura 25: Permitividad efectiva con anisotropía circunferencial de acuerdo a la frecuencia.

El código es el siguiente:

```
7 from scipy import special as sp
  from numba import vectorize
9 from matplotlib import pyplot
  matplotlib inline
11
  _{13} eff = np. array ([95. -6.j, 115. -30.j, 90. -110.j, -15. -120.j, -30. -50.j, -15. -25.
    j, -5.-18.j, -12.j, 5.-10.j, 10.-10.j, 8.-8.j, 8.-5.j, 8.-2.j, 8.-2.j],
                            #Permitividad efectiva de acuerdo al grafico.
 dtype=complex)
print len(eff)
 eff_r = np.real(eff) #Parte real de la efectividad
17 eff_i = np.imag(eff) #Parte imaginaria de la efectividad
 ec #Permitividad hilo, incognita
|e| = 16
                          #Permitividad de la matriz
 f = np.linspace(1e9, 14e9, len(eff))
|w| = f *2.*np.pi
                           #Frecuencia angular
 a = 5e - 6
                           #Radio del hilo
_{25} c = 3e8
                           #Velocidad de la luz
 p = 0.01/100.
                           #Concentracion volumetrica
|L| = np. sqrt(np. pi*a**2/p)
                           #Distancia promedio entre hilos
 1c = 0.01
                            #Largo del hilo
_{29} largo = 0.38
                            #Largo composito
 ancho = 0.34
                            #Ancho composito
prof = 0.3/1000.
                            #Espesor composito
 volm=largo*ancho*prof
                           #Volumen composito
                            #Volumen hilos
volc=np. pi*a**2*1c
                            #Volumen todos los hilos
 volct=volm*p
n = volct / volc
                            #Numero de hilos
 nh=n*1e-4/(largo*ancho)
                            #Numero hilos por area de composito
37
  print "Mid distance between wires =",L, '[m2]'
39 print "Wire volume =", volc, '[m3]'
  print "All wires sum volume =", volct, '[m3]'
print "Composite volume =", volm, '[m3]
  print "Number of wires =", n, '[-]'
43 print "Number of wires in 1[cm2] of composite =", nh
x = symbols('x')
|ec| = np.ones(len(eff_r), dtype=complex)
  for i in range(len(eff_r)):
|err_r = 10.
  err_{-}i = 10.
cont=0
  while True:
if err_r > 1e-3 or err_i > 1e-3:
 ecp = ec[i]
57 | J1 = sp.jv(1,(complex(ec[i])**0.5)*w[i]*a/c)
 | J0 = sp.jv(0,(complex(ec[i])**0.5)*w[i]*a/c)
```

```
59|F1 = J1/((complex(ec[i])**0.5)*w[i]*a*J0/c)
  sol = solve(e - (np.pi*a**2/L**2)*(2*x*F1)/((((x**0.5)*w[i]*a/c)**2*F1*np.log(
     L/a))-1)
|-| complex (eff_r[i], eff_i[i]), x)
  ec[i] = 0.5 * sol[0] + 0.5 * ecp
|err_r| = |abs(np.real(ecp)-np.real(ec[i]))
  err_i = abs(np.imag(ecp)-np.imag(ec[i]))
cont += 1
  if cont \% 100 == 0:
67 print 'lleva', cont, 'iteraciones'
                print 'y un valor de permitividad:', ec[i]
69 elif err_r < 1e-3 and err_i < 1e-3:
                print 'Number of iterations = ', cont
  #
71 #
                print sol
  break
|ec[i]| = complex(sol[0])
  print ec
print '\nla permitividad en', f[9]/1e9, '[GHz] es', ec[9]
```

El código entrega lo siguiente:

```
Mid distance between wires = 0.000886226925453 [m2]

Wire volume = 7.85398163397e-13 [m3]

All wires sum volume = 3.876e-09 [m3]

Composite volume = 3.876e-05 [m3]

Number of wires = 4935.07647539 [-]

Number of wires in 1[cm2] of composite = 3.81971863421

[ 771953.17862464   -57274.99537698j   893285.99037402  -239829.12848419j   795285.07037763   -722452.12725188j   400430.87476208-1139694.31394582j   -204325.42013928   -875821.97824659j   -270671.57149929   -482813.69844903j   -178998.88620416   -327148.92844371j   -156531.18078631   -224024.14403977j   -94874.78994346   -167197.23778068j   -25589.15565186   -131017.27392027j   -57515.68388428   -135643.73179934j   -87641.35948409   -104633.97246396j   -124678.71900071   -54409.48184288j   -135299.67983216   -67014.30968642j]

La permitividad en 10.0 [GHz] es (-25589.1556519-131017.27392j),
```

con lo cual se puede plotear todas las soluciones con respecto a las distintas frecuencias, obteniéndose finalmente:

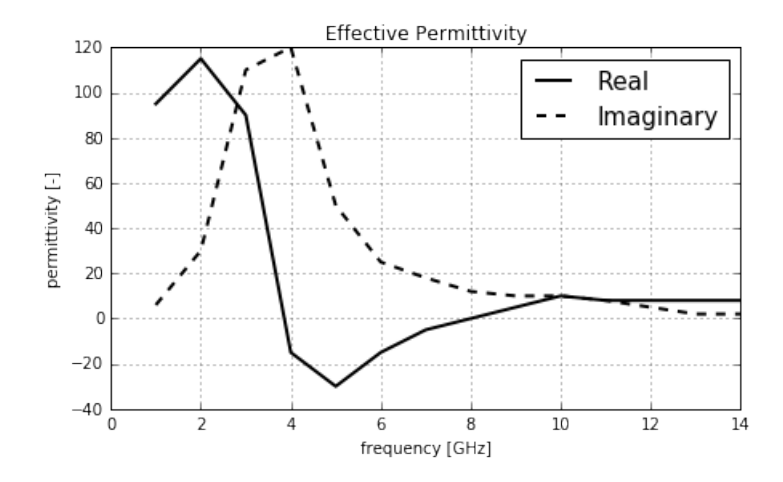


Figura 26: Permitividad efectiva con la solución análitica.

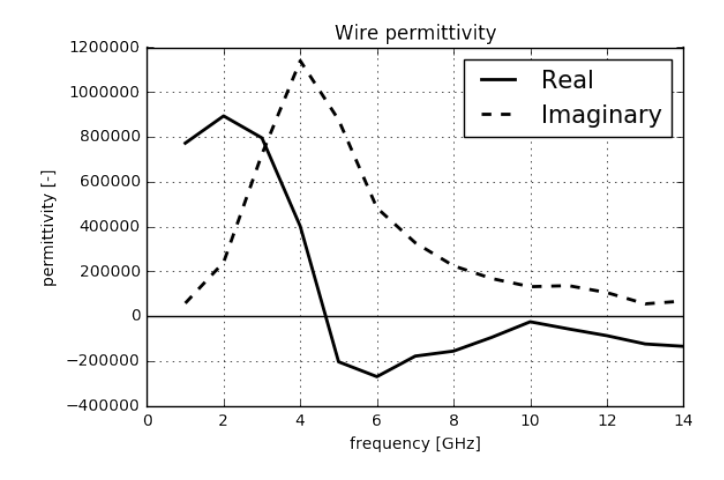


Figura 27: Permitividad de los hilos para distintas frecuencias.

Ahora es necesario obtener el valor de la permeabilidad de los hilos para distintas frecuencias. Considerando aproximaciones lineales respecto a parámetros E,B y M (magnetización) y encontrando las soluciones a las ecuaciones de Maxwell, para lo cual no se entrará en detalle, se obtienen la siguiente expresion:

$$\tilde{\chi} = \frac{\omega_M(\omega_2 - i\tau\omega) + 4\pi\omega_M^2}{(\omega_1 - i\tau\omega)(\omega_2 + 4\pi\omega_M - i\tau\omega) - \omega^2},$$
(7.12)

Se necesita saber entonces:

$$\chi_{1} = \omega_{M}(\omega_{1} - i\tau\omega)/\Delta
\chi_{2} = \omega_{M}(\omega_{2} - i\tau\omega)/\Delta
\chi_{a} = \omega\omega_{M}/\Delta
\Delta = (\omega_{2} - i\tau\omega)(\omega_{1} - i\tau\omega) - \omega^{2}
\omega_{1} = \gamma[H_{ex}cos(\theta) + H_{k}cos2(\psi - \theta)]
H_{k} = 2K/M_{0}
\omega_{2} = \gamma[H_{ex}cos(\theta) + H_{k}cos^{2}(\psi - \theta)]
\omega_{M} = \gamma M_{0},$$
(7.13)

donde γ es la constante giromagnética, τ es el parámetro de relajación, H_k es ek campo de anisotropía, H_{ex} es el campo magnético externo a lo largo del eje del hilo, K es la constante de anisotropía, θ es el ángulo entre la magnetización estática M_0 y el eje del hilo.

Una vez obtenidos estos valores, es posible comenzar a calcular la permeabilidad del hilo de la forma:

$$\mu = 1 + 4\pi \tilde{\chi},\tag{7.14}$$

Para esto, se requieren ciertos valores:

- $H_k = 2[Oe]$
- $H_{ex} = 0[Oe]$
- Constante giromagnetica $(\gamma) = 2 \times 10^7 \left[\frac{rad/s}{Oe} \right]$
- Parámetro de relajación de spin $(\tau) = 0.06$
- Magnetización estática = 500[G]

Además, es necesario conocer los ángulos de magnetización θ y de anisotropía ψ , que se obtienen del siguiente gráfico:

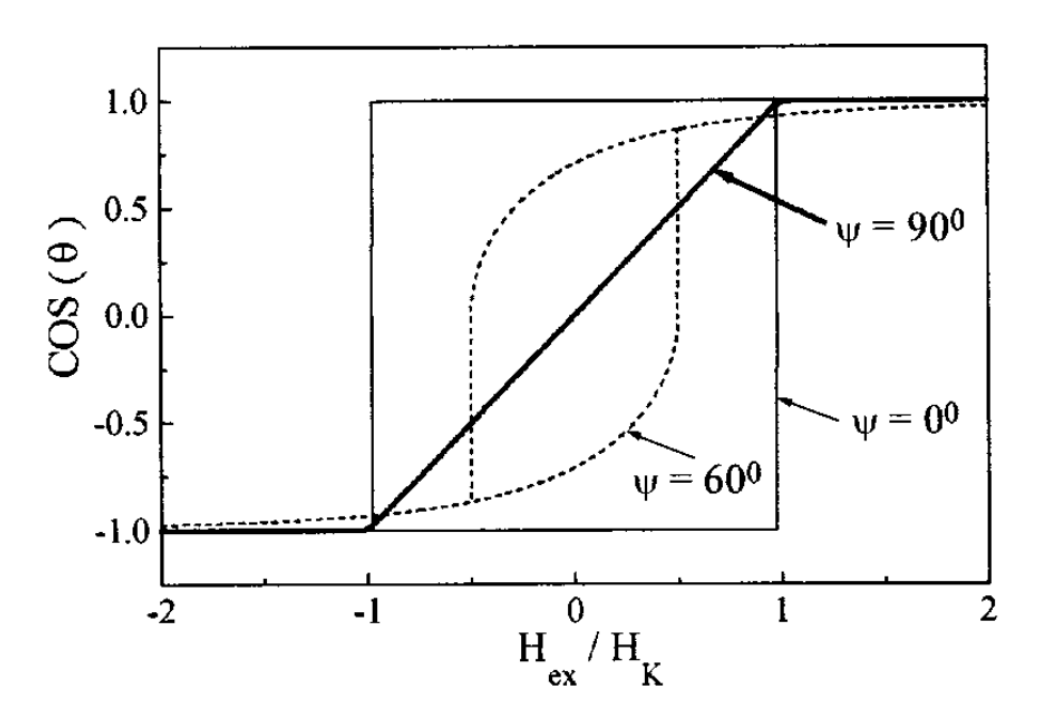


Figura 28: Rotación típica de curvas de histéresis para diferentes clases de anisotropía: longitudinal $(\psi = 0^{\circ})$, circunferencial $(\psi = 90^{\circ})$, y helicoidal $(\psi = 60^{\circ})$.

Finalmente, se procede a calcular la permeabilidad con el código siguiente:

```
#### IMPORTANDO LIBRERIAS ####
 from matplotlib import pyplot as pl
4 import numpy as np
  import matplotlib.pyplot as plt
6 from scipy.optimize import fsolve
  from mpmath import *
8 from sympy import *
  from scipy import special as sp
10 from matplotlib import rcParams
 ####PLOTEAR EN EL NOTEBOOK####
  %matplotlib inline
  #### EXPRESIONES Y VALORES ####
_{16} | f=np. linspace (10,10e9,100)
 w = np.array(f)*np.pi*2 #Frecuencia angular
                            #[rad/s/Oe] Giromagnetic constant
_{18} gamma = 2e7
 Hex = 0.
                            #No external field
_{20} Hk = 2.
                            #[Oe] Anisotropy field
 psi = np.pi/2.
                            #90 grados
|22| theta = np. pi/2.
                            #Grafico
 w1 = gamma*(Hex*np.cos(theta)+Hk*np.cos(2*(psi-theta)))
|w2| = gamma*(Hex*np.cos(theta)+Hk*(np.cos(psi-theta))**2
 M0 = 500. #[G] saturation magnetization
```

```
_{26} wm = gamma*M0
        tau = 0.06
_{28} n=1en (w)
        \#dummy=np.1inspace(1,1e9,n)
valores = []
        for i in range(n):
|valores| = |np.append(valores, (wm*(w2-1j*tau*w[i])+4*np.pi*(wm**2))/((w1-1j*tau*v[i])+4*np.pi*(wm**2))/((w1-1j*tau*v[i])+4*np.pi*(wm**2))/((w1-1j*tau*v[i])+4*np.pi*(wm**2))/((w1-1j*tau*v[i])+4*np.pi*(wm**2))/((w1-1j*tau*v[i])+4*np.pi*(wm**2))/((w1-1j*tau*v[i])+4*np.pi*(wm**2))/((w1-1j*tau*v[i])+4*np.pi*(wm**2))/((w1-1j*tau*v[i])+4*np.pi*(wm**2))/((w1-1j*tau*v[i])+4*np.pi*(wm**2))/((w1-1j*tau*v[i])+4*np.pi*(wm**2))/((w1-1j*tau*v[i])+4*np.pi*(wm**2))/((w1-1j*tau*v[i])+4*np.pi*(wm**2))/((w1-1j*tau*v[i])+4*np.pi*(wm**2))/((w1-1j*tau*v[i])+4*np.pi*(wm**2))/((w1-1j*tau*v[i])+4*np.pi*(wm**2))/((w1-1j*tau*v[i])+4*np.pi*(wm**2))/((w1-1j*tau*v[i])+4*np.pi*(wm**2))/((w1-1j*tau*v[i])+4*np.pi*(wm**2))/((w1-1j*tau*v[i])+4*np.pi*(wm**2))/((w1-1j*tau*v[i])+4*np.pi*(wm**2))/((w1-1j*tau*v[i])+4*np.pi*(wm**2))/((w1-1j*tau*v[i])+4*np.pi*(wm**2))/((w1-1j*tau*v[i])+4*np.pi*(wm**2))/((w1-1j*tau*v[i])+4*np.pi*(wm**2))/((w1-1j*tau*v[i])+4*np.pi*(wm**2))/((w1-1j*tau*v[i])+4*np.pi*(wm**2))/((w1-1j*tau*v[i])+4*np.pi*(wm**2))/((w1-1j*tau*v[i])+4*np.pi*(wm**2))/((w1-1j*tau*v[i])+4*np.pi*(wm**2))/((w1-1j*tau*v[i])+4*np.pi*(wm**2))/((w1-1j*tau*v[i])+4*np.pi*(wm**2))/((w1-1j*tau*v[i])+4*np.pi*(wm**2))/((w1-1j*tau*v[i])+4*np.pi*(wm**2))/((w1-1j*tau*v[i])+4*np.pi*(wm**2))/((w1-1j*tau*v[i])+4*np.pi*(wm**2)/((w1-1j*tau*v[i])+4*np.pi*(wm**2)/((w1-1j*tau*v[i])+4*np.pi*(wm**2)/((w1-1j*tau*v[i])+4*np.pi*(wm**2)/((w1-1j*tau*v[i])+4*np.pi*(wm**2)/((w1-1j*tau*v[i])+4*np.pi*(wm**2)/((w1-1j*tau*v[i])+4*np.pi*(wm**2)/((w1-1j*tau*v[i])+4*np.pi*(wm**2)/((w1-1j*tau*v[i])+4*np.pi*(wm**2)/((w1-1j*tau*v[i])+4*np.pi*(wm**2)/((w1-1j*tau*v[i])+4*np.pi*(wm**2)/((w1-1j*tau*v[i])+4*np.pi*(wm**2)/((w1-1j*tau*v[i])+4*np.pi*(wm**2)/((w1-1j*tau*v[i])+4*np.pi*(wm**2)/((w1-1j*tau*v[i])+4*np.pi*(wm**2)/((w1-1j*tau*v[i])+4*np.pi*(wm**2)/((w1-1j*tau*v[i])+4*np.pi*(wm**2)/((w1-1j*tau*v[i])+4*np.pi*(wm**2)/((w1-1j*tau*v[i])+4*np.pi*(wm**2)/((w1-1j*tau*v[i])+4*np.pi*(wm**2)/((w1-1j*tau*v[i])+4*np.pi*(wm**2)/((w1-1j*tau*v[i])+4*np.pi*(wm**2)/((w1-1j*tau*v[i])+4*np.pi*(wm**2)/((
                     w[i])*(w2+4*np.pi*wm-1j*tau*w[i])-(w[i]**2))
|mu=1+4*np.pi*valores
         rcParams['font.family'] = 'serif'
rcParams['font.size'] = 20
40 pl. figure (figsize = (15, 10))
        #pl.xticks(dummy[::100], omega[::100], rotation=75)
42 pl. title ('Microwire Permeability \n', fontsize = 30)
pl. plot(f/le9, np. real(mu), 'k-', linewidth=3, label='Real')
pl. plot(f/le9, np. imag(mu), 'k-', linewidth=3, label='Imaginary')
        pl.legend(loc='best', fontsize=40)
46 pl. xlabel ('Frecuency [GHz]', fontsize = 20)
        pl.ylabel('Permeability [-]', fontsize = 20)
48 pl. grid();
```

El código anterior entrega un gráfico de la permeabilidad del hilo en las distintas frecuencias.

Microwire Permeability 3500 Real 3000 **Imaginary** 2500 Permeability [-] 2000 1500 1000 500 0 -500^L 2 8 10

Figura 29: Permeabilidad de un hilo para distintas frecuencias.

Frecuency [GHz]

Teniendo estos valores, se procede al cálculo de los campos involucrados.

7.2. Utilización del código para la resolución

Se explicará paso por paso el proceso a seguir para la verificación de la herramienta. En primer lugar, el código presenta una ventana de datos de entrada:

Figura 30: Datos de entrada para el código computacional.

Una vez ingresados los datos, se pueden tener tres distintos escenarios. El primero, corresponde al código llamado "conector", el cual recibe la información y genera el código que se ejecutará

(Anexo A). El segundo corresponde al código con 6 hilos y una matriz contenedora (Anexo B). Finalmente, el tercer código corresponde a la matriz sin hilos, pero con valores efectivos (Anexo C). Es importante mencionar que tanto el código de la data como el código del Anexo A, son comúnes para los códigos con y sin hilos.

El código base contiene importantes partes de acuerdo a lo mencionado anteriormente en la sección de BEM++.

Primero, es necesario importar la biblioteca mencionada:

```
import bempp.api
```

Luego se requiere importar las mallas de la forma:

```
malla = = bempp.api.import_grid('nombremalla.msh')
```

para todas las geometrías utilizadas.

Luego se representa la onda incidente de la dispersión:

donde en ella se indica la amplitud del campo y su dirección.

Una de las partes más importantes del código es la generación de los operadores a utilizar con funciones para problemas de frontera de Dirichlet y de Neumann. Esto se puede juntar en un operador multitrazo, el cual contiene a los demás operadores como SLP, DLP, HYP, ADJ.

```
operadormultritrace = bempp.api.operators.boundary.helmholtz.
multitrace_operator(malla, n*k)
```

Luego, estos operadores multitrazo, como se notó en la formulación de la matriz con las ecuaciones, deben agruparse en bloques para su resolución, lo cual BEM++ permite de la forma:

```
blocked = bempp.api.BlockedOperator(filas, columnas)
```

Se puede simular el campo incidente que se definió arriba de la forma

```
grid_fun = bempp.api.GridFunction(space, fun=fun)
```

Luego, se discretizan los bloques creados con un método llamado "strong form" incluido en la bibliteca, el cual realiza una discretización de coeficientes directamente.

Ya teniendo lo anterior, se arma la parte del lado derecho de la ecuación (7.5) con los valores de la onda incidente:

grid_fun.coefficients

y se resuelve el sistema de ecuaciones con GMRES (Generalized minimal residual method), que corresponde a un método iterativo para la solución numérica de sistemas de ecuaciones lineales no-simétricas.

Se reemplaza la solución del sistema de ecuaciones en las ecuaciones

$$u_{ext}(\mathbf{r}) = [Du_{ext}](\mathbf{r}) - \left[S\frac{\partial u_{ext}}{\partial n}\right](\mathbf{r})$$

$$u_{int}(\mathbf{r}) = \left[S\frac{\partial u_{int}}{\partial n}\right](\mathbf{r}) - [Du_{int}](\mathbf{r}),$$
(7.15)

las cuales se obtienen con el uso de operadores en la ecuación (5.23), y se obtiene el valor del campo utilizado en el lugar que se propuso, en este caso 1 [cm] del compósito.

7.3. Entrada de datos y resultados

7.3.1. Caso 1

Se ingresan los datos necesarios, que para el primer caso corresponde a una matriz con 3 hilos de 15 $[\mu m]$ de diámetro y una proporción de 0,0022%, como se explicó al principio del trabajo, y utilizando valores de los gráficos se ingresan:

- Amplitud de campo = 1. $[N \cdot C^{-1}]$
- Frecuencia = 5.5 [GHz]
- Permeabilidad matriz contenedora = 1.
- Permitividad de la matriz = 12
- Permeabilidad hilo = -5.763+6.665j
- Permitividad hilo = 47871.53 -264695.2595j

Una vez utilizado el código se obtiene:

```
Numero de onda exterior: 0.000115270253615
Indice de refraccion matriz: 3.46410161514
Indice de refraccion conductor: (1388.95385172+663.989853106j)
Numero de onda interior matriz: 0.000399307871724
Numero de onda interior conductor: (0.554620206453+0.26513637509j)
Indice de transmision matriz: 1.0
Indice de transmision conductor: (-5.763+6.665j)
Longitud de onda: 54508.2977624 micras
Shape of matrix: (33586, 33586)
```

```
El sistema fue resuelto en 153 iteraciones
Valor del campo en receptor: [ 0,47456856 + 1,13788863j]
```

Como se puede ver, el valor del campo obtenido es de 0,47456856 + 1,13788863 $[N \cdot C^{-1}]$. Este valor corresponde al campo medido a 1 [cm] del compósito, con 3 hilos dentro de la matriz, y tomando cada componente por separado, utilizando las ya obtenidas anteriormente propiedades de los hilos.

El siguiente paso es comprobar que esto es cierto. Para eso, se procede a utilizar los valores de permitividad y permeabilidad efectivas para el compósito, pensando que éste es el compósito con hilos. Luego, se irradiará el campo nuevamente, y se comparará la respuesta obtenida con el caso anterior con hilos.

Ahora los datos de entrada son:

- Amplitud de campo = 1. $[N \cdot C^{-1}]$
- Frecuencia = 5,5 [GHz]
- Permeabilidad efectiva = 2 1j
- Permitividad efectiva = 0 5j

y se debe tener cuidado con quitar los hilos de la prueba.

Una vez finalizado el código, se entregan los resultados:

```
Numero de onda exterior: 0.000115270253615

Indice de refraccion matriz: (1.75788792127 - 2.84432240503j)

Indice de refraccion conductor: (1388.95385172+663.989853106j)

Numero de onda interior matriz: (0.000202632186511 - 0.00032786576499j)

Numero de onda interior conductor: (0.499146297071 - 0.320844701373j)

Indice de transmision matriz: (2-1j)

Indice de transmision conductor: (-3.6382+1.5134j)

Longitud de onda: 54508.2977624 micras

Shape of matrix: (16776, 16776)

El sistema fue resuelto en 15 iteraciones

Valor del campo en receptor: [ 0.4709458 + 0.71906953j]
```

donde se puede ver que el campo resultante es muy similar al obtenido con 3 hilos y las propiedades por separado.

Si se calcula el error según la ecuación

$$e_{rel} = \left| \frac{f_h - f_{sh}}{f_{sh}} \right| \cdot 100 \%,$$
 (7.16)

donde f_h es el valor con hilos y f_{sh} sin hilos, se obtiene un 0,7%.

7.3.2. Caso 2

Los valores obtenidos anteriormente del campo fueron comprobados con datos y condiciones similares a las del paper donde se encontraba información sobre como obtener permeabilidad y permitividad de los hilos. [13] Es por eso, que ahora se cambiarán algunas condiciones del problema, y se realizarán los mismos procedimientos anteriores para 6 hilos de $10 \ [\mu m]$ de diámetro y una proporción de 0.01 % para diferentes condiciones de trabajo. [11]

Los datos son:

- Amplitud de campo = 1. $[N \cdot C^{-1}]$
- Frecuencia = 12 [GHz]
- Permeabilidad matriz contenedora = 1.
- Permitividad de la matriz = 16
- Permeabilidad hilo = -1.733+0.3725j
- Permitividad hilo = -87641.359 -104633.972j

Para lo cual se obtiene:

```
Numero de onda exterior: 0.000251498735159
Indice de refraccion matriz: 4.0
Indice de refraccion conductor: (465.126197069+160.18018933j)
Numero de onda interior matriz: 0.00100599494064
Numero de onda interior conductor: (0.467914601009+0.161140460057j)
Indice de transmision matriz: 1.0
Indice de transmision conductor: (-1.734+0.37j)
Longitud de onda: 24982.9698078 micras
Shape of matrix: (50100, 50100)
El sistema fue resuelto en 2709 iteraciones
Valor del campo en receptor: [-1.06694707-0.05291927j]
```

donde se ve que el valor del campo es de -1.06694707-0.05291927j $[N \cdot C^{-1}]$. Ahora con el mismo procedimiento anterior para el compósito sin hilos, se ingresan los datos:

- Amplitud de campo = 1. $[N \cdot C^{-1}]$
- Frecuencia = 12 [GHz]
- Permeabilidad efectiva = 1 0j
- Permitividad efectiva = 8 5i

Se obtiene entonces:

```
Numero de onda exterior: 0.000251498735159
Indice de refraccion matriz: (2.95245500661-0.846752954544j)
Indice de refraccion conductor: (465.126197069+160.18018933j)
Numero de onda interior matriz: (0.000742538699776-0.00021295729706j)
Numero de onda interior conductor: (0.379485741766+0.0198879717955j)
Indice de transmision matriz: 1.0
Indice de transmision conductor: (-1.734+0.37j)
Longitud de onda: 24982.9698078 micras
Shape of matrix: (16776, 16776)
El sistema fue resuelto en 11 iteraciones
Valor del campo en receptor: [-0.97682803+0.7664753j]
```

Se obtiene un valor del campo de -0.97682803+0.7664753 j $[N \cdot C^{-1}]$. Si se compara este valor con el compósito con hilos, se obtiene un error relativo de un **9,2** %.

Para el **caso número 1**, el valor del campo en la posición medida sin compósito que lo afecte, corresponde a **0.40601917+0.91386456j** $[N \cdot C^{-1}]$ y para el **caso número 2** corresponde a **0.81002282+0.58639836j** $[N \cdot C^{-1}]$.

Con esto se puede medir el porcentaje de cambio del campo cuando no hay objeto que se interponga en su camino, y cuando existe un un compósito. Se obtienen los siguientes resultados:

■ Caso 1: 15,99%

■ Caso 2: 20,59 %

Además se puede medir el error de cambio en los módulos de los valores del campo, considerando la parte imaginaria:

■ Caso 1: 43 %

■ Caso 2: 13,96%

8. Análisis y conclusiones

En el trabajo presente se comentó la utilización de microhilos para la medición de esfuerzos mecánicos en aplicaciones de ingeniería. Se establecieron formulaciones matemáticas para su desarrollo y se diseño un código computacional para el cálculo de las propiedaes más importantes de los microhilos, como lo son la permeabilidad y la permitividad. En la sección anterior se realizaron pruebas de validez para el código computacional desarrollado.

Los valores de frecuencia que se eligieron corresponden a valores de los gráficos en que la permitividad de los microhilos y del compósito no son tan altos, y su parte compleja no se aleja demasiado del cero. En estos valores, se logró demostrar que los resultados obtenidos de la simulación son bastante cercanos a los datos experimentales obtenidos de los papers citados, con errores incluso menores al 1%. Esto se logró obteniendo las propiedades de los microhilos en base a propiedades efectivas, para luego utilizar ambas por separados y ser comparadas. Si bien existen

referencias que contienen valores de permitividades mas pequeñas, estas no consideran el hecho de obtener las propiedades analíticamente, por lo que el problema se restringío a las referencias que si validaban el trabajo actual.

Se desarrollaron códigos para la simulación de la dispersión del campo electromagnético en los compósitos, que corresponde al código de mayor complejidad, para la obtención de la permitividad del hilo y la permeabilidad del hilo. Los resultados obtenidos para las propiedades de los microhilos se obtuvieron con metodos iterativos simples y se les tiene para distintas frecuencias.

Sin embargo, para frecuencias distintas a las mencionadas anteriormente, se generaron numerosos problemas de convergencia de los códigos y/o valores muy alejados de la realidad, llegando incluso a varias miles de iteraciones, lo cual no es aceptable. En ciertas ocaciones, algunos valores escapaban de valores reales y se hacían infinitos, imposibilitando la resolución o iteración de soluciones.

Hay que tener ciertas consideraciones en cuenta, que pudiesen haber afectado ya sea la convergencia o los valores obtenidos. Los compósitos utilizados en los experimentos reales, eran de hasta incluso $34 \times 38cm^2$ (en el trabajo se utilizó un compósito 300 veces más pequeño), para lo cual, según la proporción de hilos/compósito, implicaría utilizar cientos de hilos para el problema. Si bien esto es posible de desarrollar, implicaría que el aumento de la memoria RAM utilizada por el computador incrementara de manera absurda, escapándose de toda herramienta computacional de fácil acceso. En los códigos utilizados para 6 hilos ya se ocupaban valores cercanos a los 12 Gb de RAM. La relación de RAM con el trabajo va de la mano de los elementos de las geometrías, por lo que si esta aumenta 300 veces, el problema se hace complejo.

Otra causa de los problemas de convergencia, fueron los valores complejos utilizados. Al utilizar un complejo muy alto, las iteraciones aumentaban considerablemente, incluso estancándose en algún valor fijo. Esto podía darse también con problemas en las mallas, las cuales si bien fueron revisadas y corregidas numerosas veces, nunca son perfectas.

Como se mencionó en el trabajo, se utilizó la ecuación de Helmholtz en el borde para realizar la aproximación numérica del problema. Si bien la aproximación es aceptable, esta deja consideraciones de lado que son importantes, como por ejemplo, polarización. Para resolver el problema de la polarización, una de las opciones habría sido realizar la formulación matemática utilizando la ecuación armónica en el tiempo de Maxwell, la cual como se mostró en secciones anteriores, es soportada por BEM++. Sin embargo, eso significa tomar una perspectiva completamente distinta, y desarrollar el trabajo desde cero, dejándo de lado una ecuación únicamente dependiente del espacio.

Es importante mencionar además, que como se explicó en secciones anteriores, no se consideraron campos externos sobre el problema, los cuales podrían cambiar considerablemente los resultados, y en el caso de la impedancia, esta se consideró incluida en las propiedades de permeabilida y permitividad del material. Como se mencionó, la impedancia magnética genera en el material un campo magnético circular que altera el campo eléctrico, alterando las propiedades. Dado que los valores de las propiedades no se tenían, se debió considerar que estos estímulos de impedancia se encontraban en ellos, lo que podría implicar cambios en los resultados.

Finalmente, es posible decir que, si bien la simulación de dispersión sobre los compósitos da resultados aceptables, se deben arreglar numerosos factores que influyen sobre todo en la convergencia. La ecuación de Helmhotz resultó una herramienta sencilla para una primera aproximación del problema de dispersión. Esta ecuación permitía, además, facilidades para ecuaciones en los que

los bordes no se encuentraban unidos, ya que permitía afrontar el problema con solo las integrales borde, lo que permite considerar menos elementos. De todas formas, la resolución del problema con métodos de Maxwell podría significar un gran cambio y mejoría en los resultados.

Referencias

- [1] David J. Griffiths. *Introduction to Electrodynamics*. 3rd Edition, 1998.
- [2] W. Śmigaj, S. Arridge, T. Betcke, J. Phillips, M. Schweiger, "Solving Boundary Integral Problems with BEM++", ACM Trans. Math. Software 41, pp. 6:1-6:40 (2015)
- [3] S.P. Groth, A.J. Baran, T. Betcke, S. Havemann and W. Śmigaj "*The boundary element method for light scattering by ice crystals and its implementation in BEM++*", Journal of Quantitative Spectroscopy & Radiative Transfer 167 (2015) 40–52
- [4] The BEM++ project, http://www.bempp.org/
- [5] The Gmsh project, http://gmsh.info/
- [6] R. E. Kleinman and G. F. Roach. "Boundary integral equations for the three-dimensional Helmholtz equation", SIAM Review. Vol. 16, No 2, April 1974.
- [7] S. Amini and S. M. Kirkup. "Solution of Helmholtz equation in the exterior domain by elementary boundary integral methods", Journal of computational physics 118, 208-221 (1995).
- [8] P. A. Martin. *Multiple scattering, Interaction of Time-Harmonic Waves with N obstacles.* 1st Edition, 2006.
- [9] Xavier Claeys and Ralf Hiptmair. "Multi-Trace Boundary Integral Formulation for Acoustic Scattering by Composite Structures", Communications on Pure and Applied Mathematics, Vol. LXVI, 1163-1201 (2013).
- [10] Xavier Claeys and Ralf Hiptmair. "Electromagnetic Scattering at composite objects: A Novel Multi-Trace Boundary Integral Formulation", ESAIM: M2AN 46 (2012) 1421-1445
- [11] D. P. Markhnovskiy and L. V. Panina. "Field dependent permittivity of composite materials containing ferromagnetic wires", Journal of applied Physics 93, 4120 (2003).
- [12] Manuel Vásquez, Anne-Lise Adenot-Engelvin "Glass-coated amorphous ferromagnetic microwires at microwave frequencies", Journal of Magnetism and Magnetic Materials 321 (2009) 2066-2073.
- [13] D. P. Markhnovskiy and L. V. Panina. "Experimental demonstration of tunable scattering spectra at microwave frequencies in composite media containing CoFeCrSiB glass-coated amorphous ferromagnetic wires and comparison with theory", Physical Review B 74, 064205 (2006).
- [14] Faxiang Qin, C. Brosseau, and H. X. Peng. "In situ microwave characterization of microwire composites under mechanical stress", Appl. Phys. Lett. 99, 252902 (2011).
- [15] L. Liu, K.N. Rozanov and M. Abshinova "Tunable properties of microwire composites at microwave frequency", Appl. Phys. A (2013) 110:275-279.

Apéndice A: Código base que genera el código final con la entrada de datos

```
2 ##### ACA SE LEE EL PROGRAMA QUE CONTIENE LA INFORMACION ######
4 import numpy as np
 6 \text{ info} = []
 7 for line in open("info.txt"):
      li=line.strip()
      if not li.startswith ("#"): #Comentarios empiezan con '#'
 10
          info.append(line.split())
12 11
 12 info = filter (None, info)
14 13 #print info
 14 \text{ N_hilos} = \text{len(info)} - 2
16 15 print '\nEl composito contiene', N_hilos, 'microhilos\n'
18 17
 20 19 ##### ACA SE ESCRIBE EL PROGRAMA PARA EJECUTAR EL CALCULO #####
 22 21 exe = open('ejecutor.py','w')
 22
24 exe. write ('import numpy as np\n')
26 25 exe. write ('import bempp.api\n')
28 #exe.write('bempp.api.global_parameters.quadrature.double_singular = 7\n')
    #Orden de cuadratura
30 29 exe. write ('omega = 2.*np.pi*' + info[0][1] + '\n') #frecuencia angular
 30 exe. write ('e0 = 8.854*1e-12*1e-18\n') #permitividad del vacio
32 31 exe. write ('mu0 = 4.*np. pi*1e-7*1e6\n') #permeabilidad del vacio
 32 exe.write('mue = ' + info[0][2] + '*mu0\n') #permeabilidad de la matriz
34 33 exe. write ('ee = ' + info [0][3] + '*e0\n') #permitividad de la matriz
 34 exe. write ('mui = ' + info [0][4] + '*mu0\n') #permeabilidad del conductor
\frac{36}{35} exe. write ('ei = ' + info [0][5] + '*e0\n') #permitividad del conductor
 36 exe. write ('k = omega*np. sqrt(e0*mu0) \ n') #numero de onda exterior
38 37 exe. write ('lam = 2*np.pi/k n') #longitud de onda al exterior
 38 exe. write ('nm = np. sqrt ((ee*mue)/(e0*mu0))\n') #indice de refraccion matriz
_{40} 39 exe. write ('nc = np. sqrt ((ei*mui)/(e0*mu0))\n') #indice de refraccion
    conductor
 40 exe. write ('alfa_m = mue/mu0\n') #indice de transmision matriz
42 41 exe.write('alfa_c = mui/mue\n') #indice de transmision conductor
 42 exe. write ('antena = np. array ('+info [0][6]+')\n') #Punto antena receptor
44 43
```

```
46 45 exe.write('print "Numero de onda exterior:", k \setminus n')
  46 exe.write('print "Indice de refraccion matriz:", nm\n')
48 47 exe.write('print "Indice de refraccion conductor:", nc\n')
 48 exe. write ('print "Numero de onda interior matriz:", nm*k\n')
50 49 exe.write('print "Numero de onda interior conductor:", nm*nc*k\n')
 50 exe. write ('print "Indice de transmision matriz:", alfa_m\n')
52 51 exe.write('print "Indice de transmision conductor:", alfa_c\n')
 52 exe. write ('print "Longitud de onda:", lam, "micras"\n')
 56 55 exe. write ('\n#Importando mallas\n')
 56
58 57 exe.write('matriz = bempp.api.import_grid('+info[1][0]+')\n') #Malla de la
    for i in range (N_hilos): #Mallas de hilos
60 59
        exe. write ('grid_+'+str(i)+' = bempp. api.import_grid('+info[i+2][0]+')\n'
 60
62 exe. write ('\n#Funciones de dirichlet y neumann\n')
64 63
 64 exe.write('def dirichlet_fun(x, n, domain_index, result):\n')
66 65 exe. write ('\tresult [0] = '+info [0][0]+'*np. exp (1j*k*x[0]) \setminus n')
 66
68 67 exe.write('def neumann_fun(x, n, domain_index, result):\n')
 68 exe. write ('\tresult [0] = '+info [0][0]+'*1j*k*n[0]*np. exp(1j*k*x[0])\n')
70 69
  72 71 exe. write ('\n#Operadores identidad\n')
74 73 #exe. write ('ident_m = bempp. api. operators. boundary. sparse.
     multitrace_identity(matriz)\n') #Operador identidad matriz
 74 #exe.write('IT_m = 0.5*ident_m + 0.5*ident_m*(1./alfa_m)\n') #Identidad
     matriz en el borde y condiciones de transmision
76 75 #for i in range(N_hilos): #Operadores identidad en hilos
         exe.write('ident_'+str(i)+' = bempp.api.operators.boundary.sparse.
     multitrace_identity(grid_' + str(i) + ')\n') #Identidad
         exe.write('IT_'+str(i)+' = 0.5*ident_'+str(i)+' + 0.5*alfa_c*ident_'+
78 77 #
     str(i)+'\setminus n') #Borde y transmision
  78
80 79 exe. write ('\n#Operadores multitrazo\n')
 80 exe. write ('Ai_m = bempp. api. operators . boundary . helmholtz .
     multitrace_operator(matriz, nm*k)\n') #Operador multitrazo interior matriz
82 81 exe. write ('Ae_m = bempp. api. operators. boundary. helmholtz.
     multitrace_operator(matriz, k)\n') #Operador multitrazo exterior matriz
 82 for i in range(N_hilos): #Operadores multitrazo hilos
        exe.write('Ai_'+str(i)+' = bempp.api.operators.boundary.helmholtz.
84 83
     multitrace_operator(grid_' + str(i) + ',nm*nc*k)\n') #Interior hilos
 84
        exe.write('Ae_'+str(i)+' = bempp.api.operators.boundary.helmholtz.
     multitrace_operator(grid_' + str(i) + ',nm*k)\n') #Exterior hilos
 85
86
 86 exe.write('\n#Transmision en Multitrazo\n')
88 87
```

```
88 #exe.write('Ai_m[0,1] = Ai_m[0,1]*(1./alfa_m)\n') #Transmision en matriz
      interior
89 #exe. write ('Ai_m[0,0] = Ai_m[0,0]*(1./alfa_m)\n') #Transmission en matriz
  90 exe. write ('Ae_m[0,1] = Ae_m[0,1]*(1./alfa_m)\n') #Transmission en matriz
      exterior
92 91 exe. write ('Ae_m[1,1] = Ae_m[1,1]*(1./alfa_m)\n') #Transmission en matriz
      exterior
  92 for i in range (N-hilos): #Transmision en Multitrazo en hilos
          exe. write (Ai_+ + str(i) + (0,1] = Ai_+ + str(i) + (0,1] * alfa_c n) #
      Transmision interior hilos
  94
          exe. write (Ai_+ + str(i) + [1,1] = Ai_+ + str(i) + [1,1] * alfa_c n] #
      Transmision interior hilos
           exe. write (Ae_{+} + str(i) + [0,0] = Ae_{+} + str(i) + [0,0] * alfa_c n #
  95 #
      Transmision exterior hilos
           exe. write ('Ae_'+str(i)+'[0,1] = Ae_'+str(i)+'[0,1]* alfa_c \n') #
  96 #
      Transmision exterior hilos
98 97
  98 exe.write('\n#Acople interior y exterior\n')
99 exe. write ('op_m = (Ai_m + Ae_m)\n') #Interior + exterior matriz
  100 for i in range(N_hilos): #Interior + exterior hilos
102 101
           exe. write ('op_-' + str(i) + ' = (Ai_-' + str(i) + ' + Ae_-' + str(i) + ') \setminus n')
  102
104 103 exe. write ('\n#Espacios\n')
  104 exe. write ('dirichlet_space_m = Ai_m[0,0].domain\n') #Espacio de dirichlet
106 \mid 105 \mid \text{exe.write} (\text{'neumann\_space\_m} = \text{Ai\_m} [0,1]. \text{domain} \setminus \text{n'}) \# \text{Espacio de neumann en}
  106 for i in range (N_hilos): #Espacios en hilos
           exe. write ('dirichlet_space_'+str(i)+' = Ai_-'+str(i)+'[0,0]. domain\n')
108
      #Espacio de dirichlet en hilos
  108
           exe. write ('neumann_space_'+str(i)+' = Ai_'+str(i)+'[0,1]. domain\n') #
      Espacio de neumann en hilos
110 109
  110 #operadores identidad
112 111 exe. write ('ident_m = bempp. api. operators. boundary. sparse.identity (
      neumann_space_m, neumann_space_m, neumann_space_m)\n') #Operador identida
        d matriz
  112 for i in range (N_hilos): #Operadores identidad en hilos
           exe.write('ident_'+str(i)+' = bempp.api.operators.boundary.sparse.
114 113
      identity(neumann_space_' + str(i) + ', neumann_space_' + str(i) + ',
      neumann\_space\_' + str(i) + ')\n' #Identidad
  114
116 115 #operadores diagonales
  116 exe. write ('op_m[1,1] = op_m[1,1] + 0.5 * ident_m * ((alfa_m -1)/alfa_m)\n'
     )
118 117 for i in range (N_hilos):
           exe. write ('op_'' + str(i) + '[1,1] = op_'' + str(i) + '[1,1] + 0.5 * ident_''
       + str(i) + '* (alfa_c - 1) \setminus n')
120 119
  120 #Operadores entre mallas
122 121 exe. write ('\n#Operadores entre mallas\n')
  122 for i in range (N_hilos): #Operadores entre mallas
```

```
124 123
          exe.write('SLP_m_'+str(i)+' = bempp.api.operators.boundary.helmholtz.
      single_layer(neumann_space_m, dirichlet_space_'+str(i)+', dirichle
      t_space_'+str(i)+', nm*k)\n') #Operadores matriz-hilos single layer
  124
          exe.write('SLP_'+str(i)+'_m = bempp.api.operators.boundary.helmholtz.
      single_layer(neumann_space_'+str(i)+', dirichlet_space_m, dirichle
      t_space_m, nm*k)\n') #Operadores matriz-hilos single layer
126 125
          exe.write('DLP_m_'+str(i)+' = bempp.api.operators.boundary.helmholtz.
  126
      double_layer(dirichlet_space_m, dirichlet_space_'+str(i)+', dirich
      let_space_'+str(i)+', nm*k)\n') #Operadores matriz-hilos double layer
128 127
          exe.write('DLP_'+str(i)+'_m = bempp.api.operators.boundary.helmholtz.
      double_layer(dirichlet_space_'+str(i)+', dirichlet_space_m, dirich
      let_space_m , nm*k)\n') #Operadores matriz-hilos double layer
  128
130 129
          exe.write('ADLP_m_'+str(i)+' = bempp.api.operators.boundary.helmholtz.
      adjoint_double_layer(neumann_space_m, neumann_space_'+str(i)+', n
      eumann_space_'+str(i)+', nm*k)\n') #Operadores matriz-hilos adjoint double
      layer
  130
          exe.write('ADLP_'+str(i)+'_m = bempp.api.operators.boundary.helmholtz.
      adjoint_double_layer(neumann_space_'+str(i)+', neumann_space_m, n
     eumann_space_m, nm*k)\n') #Operadores matriz-hilos adjoint double layer
132 131
          exe.write('HYP_m_'+str(i)+' = bempp.api.operators.boundary.helmholtz.
      hypersingular(dirichlet_space_m, neumann_space_'+str(i)+', neumann
      _space_'+str(i)+', nm*k)\n') #Operadores matriz-hilos hypersingular
134 133
          exe.write('HYP_'+str(i)+'_m = bempp.api.operators.boundary.helmholtz.
      hypersingular(dirichlet_space_'+str(i)+', neumann_space_m, neumann
      _space_m , nm*k)\n') #Operadores matriz-hilos hypersingular
  134
136 135
          for j in range (N_hilos): #Interaccion entre hilos
  136
              if i!=i:
138 137
                  exe. write ('SLP_'+str(i)+'_+'+str(j)+'_- = bempp.api.operators.
     boundary.helmholtz.single_layer(neumann_space_'+str(i)+', dirichlet_
      space_'+str(j)+', dirichlet_space_'+str(j)+', nm*k)\n') #Single-layer
      interaccion entre hilos
                  exe. write ('DLP_{-}' + str(i) + '_{-}' + str(j) + '_{-} = bempp. api. operators.
  138
      boundary.helmholtz.double_layer(dirichlet_space_'+str(i)+', dirichle
      t_space_'+str(j)+', dirichlet_space_'+str(j)+', nm*k)\n') #Double-layer
      interaccion entre hilos
140 139
                  exe. write ('ADLP_'+str(i)+'_'+str(j)+' = bempp.api.operators.
     boundary.helmholtz.adjoint_double_layer(neumann_space_'+str(i)+', n
      eumann_space_'+str(j)+', neumann_space_'+str(j)+', nm*k)\n') #Adjoint
      interaccion entre hilos
                  exe. write ('HYP_-' + str(i) + '_-' + str(j) + ' = bempp. api. operators.
  140
     boundary.helmholtz.hypersingular(dirichlet_space_'+str(i)+', neumann
      \_space\_'+str(j)+', neumann\_space\_'+str(j)+', nm*k)\n') #Hypersingular
      interaccion entre hilos
142 141
  142
144 exe. write ('\n#Matriz de operadores \n')
146 145 exe. write ('blocked = bempp. api. BlockedOperator ('+str (2*(N_hilos+1))+', '+
      str(2*(N_hilos+1))+')\n') #Tamano bloque de operadores
```

```
146
148 147 exe. write ('\n#Diagonal\n')
  148 exe. write ('blocked [0,0] = op_m[0,0] \setminus n') #Diagonal matriz
150 149 exe. write ('blocked [0,1] = op_m[0,1] \setminus n') #Diagonal matriz
  150 exe. write ('blocked [1,0] = op_m[1,0]\n') #Diagonal matriz
152 151 exe. write ('blocked [1,1] = op_m[1,1]\n') #Diagonal matriz
  152
154 153 c=0
  154 for i in range (2, 2*(N_hilos+1)-1, 2): #Diagonal hilos
156 155
            exe. write ('blocked ['+str(i)+','+str(i)+'] = op_-'+str(c)+'[0,0]\n')
  156
            exe. write ('blocked ['+str(i)+','+str(i+1)+'] = op_'+str(c)+'[0,1]\n')
           exe. write ('blocked['+str(i+1)+','+str(i)+'] = op_-'+str(c)+'[1,0]\n') exe. write ('blocked['+str(i+1)+','+str(i+1)+'] = op_-'+str(c)+'[1,1]\n')
158 157
  158
160 159
            c += 1
  160
162 161 exe. write ('\n#Contribucion hilos-matriz\n')
  162 c=0
164 163 for i in range (2, 2*N_hilos+1, 2): #Contribucion hilos en matriz
            exe. write ('blocked [0, '+str(i)+'] = DLP_-'+str(c)+'_m n') #Double-layer
  164
      hilos – matriz
            exe. write ('blocked [0, '+str(i+1)+'] = -SLP_-'+str(c)+'_m\n') #Single-
  165
166
      layer hilos-matriz
  166
            exe. write ('blocked [1, '+str(i)+'] = -HYP_-'+str(c)+'_m\n') #
      Hypersingular hilos-matriz
            exe. write ('blocked [1, '+str(i+1)+'] = -ADLP_-'+str(c)+'_m\n') #Adjoint
  167
168
      hilos – matriz
  168
            c += 1
  169
  170 c1=0
172 \mid 171 \mid for i \mid in range(2, 2*(N_hilos+1)-1, 2): \#Contribucion hilos-hilos
            c2=0
  172
  173
            for j in range (2, 2*(N_hilos+1)-1, 2):
  174
                exe. write ('\n#Contribucion hilos-hilos\n')
176 175
                if i < j:
                     exe. write ('blocked['+str(i)+','+str(j)+'] = DLP_{-}'+str(c2+1)+'_
       '+str(c1)+'\setminus n') #Double-layer hilo-hilo
                     exe. write ('blocked['+str(i)+', '+str(j+1)+'] = -SLP_-'+str(c2+1)
178 177
      +'_-'+str(c1)+'\setminus n') #Single-layer hilo-hilo
  178
                     exe. write ('blocked ['+str(i+1)+', '+str(j)+'] = -HYP_'+str(c2+1)
          '+str(c1)+'\setminus n') #Hypersingular hilo-hilo
  179
                     exe. write ('blocked ['+str(i+1)+', '+str(j+1)+'] = -ADLP_-'+str(c2
      +1)+'_-'+str(c1)+'_n') #Adjoint hilo-hilo
  180
                     c2 += 1
182 181
                elif i > j:
  182
                     exe. write ('blocked ['+str(i)+', '+str(j)+'] = DLP_{-}'+str(c2)+'_'+
      str(c1)+'\setminus n') #Double-layer hilo-hilo
184 183
                     exe. write ('blocked ['+str(i)+', '+str(j+1)+'] = -SLP_-'+str(c2)+'
        '+str(c1)+'(n') #Single-layer hilo-hilo
  184
                     exe. write ('blocked ['+str(i+1)+','+str(j)+'] = -HYP_'+str(c2)+'
       _{-}'+str(c1)+'\n') #Hypersingular hilo-hilo
186 185
                     exe. write ('blocked ['+str(i+1)+', '+str(j+1)+'] = -ADLP_'+str(c2
      +'_-'+str(c1)+'_n') #Adjoint hilo-hilo
  186
                     c2 += 1
```

```
188 187
          exe. write ('\n#Contribucion matriz-hilos\n') #Contribucion matriz en
  188
      hilos
          exe. write ('blocked ['+str(i)+',0] = -DLP_{-m_{-}}'+str(c1)+'\n') #Double-
  189
190
      layer matriz-hilos
  190
          exe. write ('blocked ['+str(i)+',1] = SLP_m'+str(c1)+'\n') #Single-layer
      matriz-hilos
192 191
          exe. write ('blocked ['+str(i+1)+',0] = HYP_{-m_{-}}'+str(c1)+'\n') #
      Hypersingular matriz-hilos
  192
          exe. write ('blocked ['+str(i+1)+',1] = ADLP_m_'+str(c1)+'\n') #Adjoint
      matriz-hilos
194 193
          c1+=1
  194
  196 exe. write ('\n#Condiciones de borde\n') #Condiciones en el borde de la
     matriz
198 197 exe. write ('dirichlet_grid_fun_m = bempp.api. GridFunction (dirichlet_space_m
      , fun=dirichlet_fun) \setminus n'
  198 exe.write('neumann_grid_fun_m = bempp.api.GridFunction(neumann_space_m,
      fun=neumann_fun) \setminus n'
200 199
  202 201 exe. write ('\n#Discretizacion lado izquierdo\n') #Lado izquierdo
  202 exe.write('blocked_discretizado = blocked.strong_form()\n')
204 203 #exe.write('blocked_discr_2 = blocked_discretizado*blocked_discretizado\n
  204
  205 exe. write ('\n#Discretizacion lado derecho\n') #Lado derecho con onda
      incidente
  206 exe. write ('rhs = np. concatenate ([')
208 207 exe.write('dirichlet_grid_fun_m.coefficients, neumann_grid_fun_m.
      coefficients,')
  208 for i in range (N_hilos):
          exe.write('np.zeros(dirichlet_space_'+str(i)+'.global_dof_count), np.
210 209
      zeros(neumann_space_'+str(i)+'.global_dof_count)')
  210
          if i!=N_hilos-1:
212 211
              exe.write(', ')
  212 exe. write (') \ n'
214 213 #exe. write ('rhs_2 = blocked_discr_2*rhs\n')
  214
216 215
  218 217 exe. write ('\n#Sistema de ecuaciones\n')
  218 exe. write ('import inspect\n')
220 219 exe. write ('from scipy. sparse. linalg import gmres \n')
  220
222 221 exe. write ('it_count = 0 \ n') #numero de iteraciones
  222 exe.write('def iteration_counter(x):\n') #Contador
224 223 exe. write ('\tglobal it_count\n')
  224 \#exe.write('\tprint it_count\n') \#Mostrar contador en cada iteracion
|226| 225 exe. write ('\tit_count += 1\n')
  226 exe. write ('\tframe = inspect.currentframe().f_back\n')
228 227 exe.write('\tprint it_count, frame.f_locals["resid"]\n')
```

```
228
230 229 exe. write ('print ("Shape of matrix: {0}". format (blocked_discretizado.shape)
     )\n') #Tamano de la matriz
  230 #exe.write('print("Shape of matrix: {7}".format(blocked_discr_2.shape))\n
     ') #Tamano de la matriz
232 231 exe. write ('x, info = gmres(blocked_discretizado, rhs, tol=1e-5, callback =
     iteration_counter, maxiter = 150000)\n') #GMRES para resolver el
     sistema lineal
  232 #exe.write('x,info = gmres(blocked_discr_2, rhs_2, callback=
     iteration_counter)\n') #GMRES para resolver el sistema lineal
234 233 exe. write ('print ("El sistema fue resuelto en {0} iteraciones". format (
     it_count))\n') #Numero de iteraciones
  234
236 235 exe. write ('np. savetxt ("Solucion.out", x, delimiter = ",")\n') #Guardando
     solucion en archivo txt
  236
238 exe.write('\n#Campo interior\n') #Separar la solucion del sistema solo
     para la matriz
240 239 exe.write('interior_field_dirichlet_m = bempp.api.GridFunction(
     dirichlet_space_m , coefficients=x[:dirichlet_space_m .global_dof_count])\n')
  240 exe.write('interior_field_neumann_m = bempp.api.GridFunction(
     neumann_space_m, coefficients = x [ dirichlet_space_m . global_dof_count :
                   ace_m.global_dof_count + neumann_space_m.global_dof_count])
     dirichlet_sp
     \langle n' \rangle
242 241
  244 243 exe. write ('\n#Campo exterior\n') #Aplicar condiciones de transmision para
     obtener campo exterior
  244 exe.write('exterior_field_dirichlet_m = interior_field_dirichlet_m \n')
246 245 exe.write('exterior_field_neumann_m = interior_field_neumann_m *(1./alfa_m)
     \backslash n')
  246
248 exe. write ('\n#Calculo campo en antena\n')
250 249
  250 ##### CAMPO EXTERIOR A LA MATRIZ ###############################
252 251 exe. write ('slp_pot_ext_m = bempp.api.operators.potential.helmholtz.
     single_layer(dirichlet_space_m, antena, k)\n') \#Single-layer exterior
  252 exe.write('dlp_pot_ext_m = bempp.api.operators.potential.helmholtz.
     double_layer(dirichlet_space_m, antena, k)\n') #Double-layer exterior
254 253
  254 exe.write('Campo_en_antena = (dlp_pot_ext_m * exterior_field_dirichlet_m -
      slp_pot_ext_m * exterior_field_neumann_m).ravel() + np.exp(1j*k*
     [0])\n') #Calculo del campo en la antena
256 255
  256 exe.write('print "Valor del campo en receptor:", Campo_en_antena\n') #
     Imprimir resultados
258 257
  260 259 exe. close
  260
```

Apéndice B: Código final para 6 hilos en un compósito

```
3 1 import numpy as np
  2 import bempp.api
| 3 \text{ omega} = 2.* \text{np.pi} * 12 \text{e} 9 
 4 \ e0 = 8.854*1e-12*1e-18
7 | 5 \text{ mu0} = 4.*\text{np.pi}*1e-7*1e6
  6 \text{ mue} = (1.)*\text{mu}
9 \mid 7 \text{ ee} = (16.) *e0
 8 \text{ mui} = (-1.734 + 0.37 \text{ j}) * \text{mu0}
|9| ei = (-87641.359 - 104633.972i) *e0
  10 \text{ k} = \text{omega*np.sqrt}(e0*mu0)
13 | 11 | 1am = 2*np.pi/k
  12 nm = np. sqrt((ee*mue)/(e0*mu0))
15 | 13 nc = np. sqrt((ei*mui)/(e0*mu0))
  14 \text{ alfa}_{-m} = \text{mue/mu0}
17 \mid 15 \quad alfa_c = mui/mue
  16 antena = np.array([[1e4],[0.],[0.]])
19 17 print "Numero de onda exterior:", k
  18 print "Indice de refraccion matriz:", nm
21 19 print "Indice de refraccion conductor:", nc
  20 print "Numero de onda interior matriz:", nm*k
23 21 print "Numero de onda interior conductor:", nm*nc*k
  22 print "Indice de transmision matriz:", alfa_m
25 23 print "Indice de transmision conductor:", alfa_c
  24 print "Longitud de onda:", lam, "micras"
  26 #Importando mallas
29 27 matriz = bempp.api.import_grid('/home/milan/matriz_12x12x300_E16772.msh')
  28 grid_0 = bempp.api.import_grid('/home/milan/PH1_a5_110_E5550_D2.msh')
31 29 grid_1 = bempp.api.import_grid('/home/milan/PH2_a5_110_E5550_D2.msh')
  30 grid_2 = bempp.api.import_grid('/home/milan/PH3_a5_110_E5550_D2.msh')
33 grid_3 = bempp.api.import_grid('/home/milan/PH4_a5_110_E5550_D2.msh')
  32 grid_4 = bempp.api.import_grid('/home/milan/PH5_a5_110_E5550_D2.msh')
35 33 grid_5 = bempp.api.import_grid('/home/milan/PH6_a5_110_E5550_D2.msh')
37 35 #Funciones de dirichlet y neumann
  36 def dirichlet_fun(x, n, domain_index, result):
39 37
          result[0] = 1.*np.exp(1j*k*x[0])
  38 def neumann_fun(x, n, domain_index, result):
41 39
          result[0] = 1.*1j*k*n[0]*np.exp(1j*k*x[0])
  40
43 41 #Operadores identidad
  42
45 43 #Operadores multitrazo
  44 Ai_m = bempp.api.operators.boundary.helmholtz.multitrace_operator(matriz,
     nm*k)
```

```
47 45 Ae_m = bempp.api.operators.boundary.helmholtz.multitrace_operator(matriz, k
  46
49 47 Ae_0 = bempp.api.operators.boundary.helmholtz.multitrace_operator(grid_0,nm
  48 Ai_1 = bempp.api.operators.boundary.helmholtz.multitrace_operator(grid_1,nm
51 49 Ae_1 = bempp. api. operators. boundary. helmholtz. multitrace_operator(grid_1, nm
      *k)
  50 Ai_2 = bempp.api.operators.boundary.helmholtz.multitrace_operator(grid_2,nm
      *nc*k)
53 51 Ae_2 = bempp.api.operators.boundary.helmholtz.multitrace_operator(grid_2,nm
  52 Ai_3 = bempp. api. operators. boundary. helmholtz. multitrace_operator (grid_3, nm
      *nc*k)
55 Ae_3 = bempp.api.operators.boundary.helmholtz.multitrace_operator(grid_3,nm
      *k)
  54 Ai_4 = bempp.api.operators.boundary.helmholtz.multitrace_operator(grid_4,nm
      *nc*k)
57 | 55 | Ae_4 = bempp.api.operators.boundary.helmholtz.multitrace_operator(grid_4,nm
      *k)
  56 Ai_5 = bempp.api.operators.boundary.helmholtz.multitrace_operator(grid_5,nm
59 57 Ae_5 = bempp.api.operators.boundary.helmholtz.multitrace_operator(grid_5,nm
      *k)
  58
61 59 #Transmision en Multitrazo
  60 Ae_m[0,1] = Ae_m[0,1]*(1./alfa_m)
63 61 Ae_m[1,1] = Ae_m[1,1]*(1./alfa_m)
  62 \text{ Ai}_{-}0[0,1] = \text{Ai}_{-}0[0,1] * \text{alfa}_{-}c
65 \mid 63 \quad Ai_0[1,1] = Ai_0[1,1] * alfa_c
  64 \text{ Ai}_{-1}[0,1] = \text{Ai}_{-1}[0,1] * \text{alfa}_{-c}
67 \mid 65 \quad Ai_1[1,1] = Ai_1[1,1] * alfa_c
  66 \text{ Ai}_{2}[0,1] = \text{Ai}_{2}[0,1] * \text{alfa}_{c}
69 \mid 67 \quad Ai_2[1,1] = Ai_2[1,1] * alfa_c
  68 \text{ Ai}_{-3}[0,1] = \text{Ai}_{-3}[0,1] * \text{alfa}_{-c}
71 \mid 69 \quad Ai_3[1,1] = Ai_3[1,1] * alfa_c
  70 Ai_4[0,1] = Ai_4[0,1] * alfa_c
73 \mid 71 \quad Ai_4[1,1] = Ai_4[1,1] * alfa_c
  72 \text{ Ai}_{5}[0,1] = \text{Ai}_{5}[0,1] * \text{alfa}_{c}
75 \mid 73 \quad Ai_{5} [1,1] = Ai_{5} [1,1] * alfa_{c}
  74
77 75 #Acople interior y exterior
  76 \text{ op}_{-m} = (\text{Ai}_{-m} + \text{Ae}_{-m})
79 77 op_0 = (Ai_0 + Ae_0)
  78 \text{ op}_{-1} = (Ai_{-1} + Ae_{-1})
|81| 79 \text{ op}_2 = (Ai_2 + Ae_2)
  80 \text{ op}_3 = (Ai_3 + Ae_3)
83 81 op_4 = (Ai_4 + Ae_4)
  82 \text{ op}_{-5} = (Ai_{-5} + Ae_{-5})
85 83
  84 #Espacios
87 85 dirichlet_space_m = Ai_m[0,0]. domain
```

```
86 neumann_space_m = Ai_m[0,1].domain
89 87 dirichlet_space_0 = Ai_0[0,0]. domain
  88 neumann_space_0 = Ai_0[0,1].domain
91 89 dirichlet_space_1 = Ai_1[0,0]. domain
  90 neumann_space_1 = Ai_1[0,1].domain
93 91 dirichlet_space_2 = Ai_2[0,0]. domain
  92 neumann_space_2 = Ai_2[0,1].domain
95 93 dirichlet_space_3 = Ai_3[0,0]. domain
  94 neumann_space_3 = Ai_3[0,1].domain
97 95 dirichlet_space_4 = Ai_4[0,0]. domain
  96 neumann_space_4 = Ai_4[0,1]. domain
99 97 dirichlet_space_5 = Ai_5[0,0]. domain
  98 neumann_space_5 = Ai_5[0,1].domain
101 99 ident_m = bempp.api.operators.boundary.sparse.identity(neumann_space_m,
      neumann_space_m , neumann_space_m )
  100 ident_0 = bempp.api.operators.boundary.sparse.identity(neumann_space_0,
      neumann_space_0 , neumann_space_0 )
101 ident_1 = bempp.api.operators.boundary.sparse.identity(neumann_space_1,
      neumann_space_1 , neumann_space_1 )
  102 ident_2 = bempp.api.operators.boundary.sparse.identity(neumann_space_2,
      neumann_space_2 , neumann_space_2 )
103 ident_3 = bempp.api.operators.boundary.sparse.identity(neumann_space_3,
      neumann_space_3 , neumann_space_3 )
  104 ident_4 = bempp.api.operators.boundary.sparse.identity(neumann_space_4,
      neumann_space_4, neumann_space_4)
105 ident_5 = bempp.api.operators.boundary.sparse.identity(neumann_space_5,
      neumann_space_5 , neumann_space_5 )
  106 \text{ op}_m[1,1] = \text{op}_m[1,1] + 0.5 * \text{ident}_m * ((alfa_m - 1)/alfa_m)
|109| 107 \text{ op}_{0}[1,1] = \text{op}_{0}[1,1] + 0.5 * \text{ident}_{0}* (alfa_{c} - 1)
  108 \text{ op}_{-1}[1,1] = \text{op}_{-1}[1,1] + 0.5 * \text{ident}_{-1}* (alfa_c - 1)
|111| 109 \text{ op}_2[1,1] = \text{op}_2[1,1] + 0.5 * \text{ident}_2* (alfa_c - 1)
  110 \text{ op}_{3}[1,1] = \text{op}_{3}[1,1] + 0.5 * ident_{3}* (alfa_{c} - 1)
113 | 111 \text{ op}_4[1,1] = \text{op}_4[1,1] + 0.5 * \text{ident}_4* (alfa_c - 1)
  112 \text{ op}_{5}[1,1] = \text{op}_{5}[1,1] + 0.5 * \text{ident}_{5}* (alfa_{c} - 1)
115 113
  114 #Operadores entre mallas
117 115 SLP_m_0 = bempp.api.operators.boundary.helmholtz.single_layer(
      neumann_space_m, dirichlet_space_0, dirichlet_space_0, nm*k)
  116 SLP_0_m = bempp.api.operators.boundary.helmholtz.single_layer(
      neumann_space_0 , dirichlet_space_m , dirichlet_space_m , nm*k)
119 117 DLP_m_0 = bempp.api.operators.boundary.helmholtz.double_layer(
      dirichlet_space_m, dirichlet_space_0, dirichlet_space_0, nm*k)
  118 DLP<sub>-</sub>0<sub>-</sub>m = bempp. api. operators. boundary. helmholtz. double_layer(
      dirichlet_space_0, dirichlet_space_m, dirichlet_space_m, nm*k)
121 119 ADLP_m_0 = bempp.api.operators.boundary.helmholtz.adjoint_double_layer(
      neumann_space_m , neumann_space_0 , neumann_space_0 , nm*k)
  120 ADLP_0_m = bempp.api.operators.boundary.helmholtz.adjoint_double_layer(
      neumann_space_0 , neumann_space_m , neumann_space_m , nm*k)
123 121 HYP_m_0 = bempp. api. operators. boundary. helmholtz. hypersingular (
      dirichlet_space_m, neumann_space_0, neumann_space_0, nm*k)
  122 HYP_0_m = bempp.api.operators.boundary.helmholtz.hypersingular(
      dirichlet_space_0, neumann_space_m, neumann_space_m, nm*k)
```

```
125 | 123 | SLP_0_1 = bempp.api.operators.boundary.helmholtz.single_layer(
      neumann_space_0 , dirichlet_space_1 , dirichlet_space_1 , nm*k)
  124 DLP_0_1 = bempp. api. operators . boundary . helmholtz . double_layer (
      dirichlet_space_0, dirichlet_space_1, dirichlet_space_1, nm*k)
127 | 125 | ADLP_0_1 = bempp. api. operators.boundary.helmholtz.adjoint_double_layer(
      neumann_space_0 , neumann_space_1 , neumann_space_1 , nm*k)
  126 HYP_0_1 = bempp.api.operators.boundary.helmholtz.hypersingular(
      dirichlet_space_0, neumann_space_1, neumann_space_1, nm*k)
129 127 SLP_0_2 = bempp. api. operators. boundary. helmholtz. single_layer(
      neumann_space_0 , dirichlet_space_2 , dirichlet_space_2 , nm*k)
  128 DLP_0_2 = bempp. api. operators. boundary. helmholtz. double_layer(
      dirichlet_space_0 , dirichlet_space_2 , dirichlet_space_2 , nm*k)
131 | 129 ADLP_0_2 = bempp. api. operators. boundary. helmholtz. adjoint_double_layer(
      neumann_space_0 , neumann_space_2 , neumann_space_2 , nm*k)
  130 HYP_0_2 = bempp. api. operators. boundary. helmholtz. hypersingular (
      dirichlet_space_0, neumann_space_2, neumann_space_2, nm*k)
133 131 SLP_0_3 = bempp.api.operators.boundary.helmholtz.single_layer(
      neumann_space_0 , dirichlet_space_3 , dirichlet_space_3 , nm*k)
  132 DLP<sub>-</sub>0<sub>-</sub>3 = bempp, api, operators, boundary, helmholtz, double_layer(
      dirichlet_space_0, dirichlet_space_3, dirichlet_space_3, nm*k)
133 ADLP_0_3 = bempp.api.operators.boundary.helmholtz.adjoint_double_layer(
      neumann_space_0 , neumann_space_3 , neumann_space_3 , nm*k)
  134 HYP_0_3 = bempp.api.operators.boundary.helmholtz.hypersingular(
      dirichlet_space_0, neumann_space_3, neumann_space_3, nm*k)
137 135 SLP_0_4 = bempp. api. operators. boundary. helmholtz. single_layer(
      neumann_space_0, dirichlet_space_4, dirichlet_space_4, nm*k)
  136 DLP_0_4 = bempp. api. operators . boundary . helmholtz . double_layer (
      dirichlet_space_0 , dirichlet_space_4 , dirichlet_space_4 , nm*k)
| 137 ADLP_0_4 = bempp.api.operators.boundary.helmholtz.adjoint_double_layer(
      neumann_space_0 , neumann_space_4 , neumann_space_4 , nm*k)
  138 HYP_0_4 = bempp.api.operators.boundary.helmholtz.hypersingular(
      dirichlet_space_0, neumann_space_4, neumann_space_4, nm*k)
141 139 SLP_0_5 = bempp.api.operators.boundary.helmholtz.single_layer(
      neumann_space_0 , dirichlet_space_5 , dirichlet_space_5 , nm*k)
  140 DLP_0_5 = bempp.api.operators.boundary.helmholtz.double_layer(
      dirichlet_space_0 , dirichlet_space_5 , dirichlet_space_5 , nm*k)
143 | 141 | ADLP_0_5 = bempp. api. operators. boundary. helmholtz. adjoint_double_layer(
      neumann_space_0 , neumann_space_5 , neumann_space_5 , nm*k)
  142 HYP_0_5 = bempp. api.operators.boundary.helmholtz.hypersingular(
      dirichlet_space_0 , neumann_space_5 , neumann_space_5 , nm*k)
145 143 SLP_m_1 = bempp.api.operators.boundary.helmholtz.single_layer(
      neumann_space_m , dirichlet_space_1 , dirichlet_space_1 , nm*k)
  144 SLP_1_m = bempp.api.operators.boundary.helmholtz.single_layer(
      neumann_space_1, dirichlet_space_m, dirichlet_space_m, nm*k)
147 145 DLP_m_1 = bempp. api. operators.boundary.helmholtz.double_layer(
      dirichlet_space_m , dirichlet_space_1 , dirichlet_space_1 , nm*k)
  146 DLP_1_m = bempp.api.operators.boundary.helmholtz.double_layer(
      dirichlet_space_1, dirichlet_space_m, dirichlet_space_m, nm*k)
149 147 ADLP_m_1 = bempp.api.operators.boundary.helmholtz.adjoint_double_layer(
      neumann_space_m , neumann_space_1 , neumann_space_1 , nm*k)
  148 ADLP_1_m = bempp.api.operators.boundary.helmholtz.adjoint_double_layer(
      neumann_space_1 , neumann_space_m , neumann_space_m , nm*k)
```

```
151 149 HYP_m_1 = bempp.api.operators.boundary.helmholtz.hypersingular(
      dirichlet_space_m, neumann_space_1, neumann_space_1, nm*k)
  150 HYP_1_m = bempp.api.operators.boundary.helmholtz.hypersingular(
      dirichlet_space_1, neumann_space_m, neumann_space_m, nm*k)
153 | 151 | SLP_1_0 = bempp.api.operators.boundary.helmholtz.single_layer(
      neumann_space_1 , dirichlet_space_0 , dirichlet_space_0 , nm*k)
  152 DLP_1_0 = bempp. api. operators . boundary . helmholtz . double_layer (
      dirichlet_space_1, dirichlet_space_0, dirichlet_space_0, nm*k)
155 | 153 | ADLP_1_0 = bempp. api. operators. boundary. helmholtz.adjoint_double_layer(
      neumann_space_1 , neumann_space_0 , neumann_space_0 , nm*k)
  154 HYP_1_0 = bempp.api.operators.boundary.helmholtz.hypersingular(
      dirichlet_space_1, neumann_space_0, neumann_space_0, nm*k)
157 | 155 | SLP_1_2 = bempp. api. operators. boundary. helmholtz. single_layer(
      neumann_space_1 , dirichlet_space_2 , dirichlet_space_2 , nm*k)
  156 DLP_1_2 = bempp. api.operators.boundary.helmholtz.double_layer(
      dirichlet_space_1 , dirichlet_space_2 , dirichlet_space_2 , nm*k)
159 157 ADLP_1_2 = bempp.api.operators.boundary.helmholtz.adjoint_double_layer(
      neumann_space_1 , neumann_space_2 , neumann_space_2 , nm*k)
  158 HYP<sub>-</sub>1<sub>-</sub>2 = bempp.api.operators.boundary.helmholtz.hypersingular(
      dirichlet_space_1, neumann_space_2, neumann_space_2, nm*k)
161 159 SLP_1_3 = bempp.api.operators.boundary.helmholtz.single_layer(
      neumann_space_1, dirichlet_space_3, dirichlet_space_3, nm*k)
  160 DLP_1_3 = bempp.api.operators.boundary.helmholtz.double_layer(
      dirichlet_space_1 , dirichlet_space_3 , dirichlet_space_3 , nm*k)
161 ADLP_1_3 = bempp. api. operators.boundary.helmholtz.adjoint_double_layer(
      neumann_space_1, neumann_space_3, neumann_space_3, nm*k)
  162 HYP<sub>-</sub>1<sub>-</sub>3 = bempp. api. operators. boundary. helmholtz. hypersingular (
      dirichlet_space_1, neumann_space_3, neumann_space_3, nm*k)
163 SLP_1_4 = bempp.api.operators.boundary.helmholtz.single_layer(
      neumann_space_1 , dirichlet_space_4 , dirichlet_space_4 , nm*k)
  164 DLP_1_4 = bempp. api. operators. boundary. helmholtz. double_layer(
      dirichlet_space_1, dirichlet_space_4, dirichlet_space_4, nm*k)
165 ADLP_1_4 = bempp.api.operators.boundary.helmholtz.adjoint_double_layer(
      neumann_space_1 , neumann_space_4 , neumann_space_4 , nm*k)
  166 HYP_1_4 = bempp.api.operators.boundary.helmholtz.hypersingular(
      dirichlet_space_1, neumann_space_4, neumann_space_4, nm*k)
169 167 SLP_1_5 = bempp.api.operators.boundary.helmholtz.single_layer(
      neumann_space_1 , dirichlet_space_5 , dirichlet_space_5 , nm*k)
  168 DLP_1_5 = bempp.api.operators.boundary.helmholtz.double_layer(
      dirichlet_space_1 , dirichlet_space_5 , dirichlet_space_5 , nm*k)
171 169 ADLP_1_5 = bempp.api.operators.boundary.helmholtz.adjoint_double_layer(
      neumann_space_1 , neumann_space_5 , neumann_space_5 , nm*k)
  170 HYP<sub>-</sub>1<sub>-</sub>5 = bempp, api, operators, boundary, helmholtz, hypersingular (
      dirichlet_space_1, neumann_space_5, neumann_space_5, nm*k)
173 | 171 | SLP_m_2 = bempp. api. operators. boundary. helmholtz. single_layer(
      neumann_space_m , dirichlet_space_2 , dirichlet_space_2 , nm*k)
  172 SLP_2_m = bempp.api.operators.boundary.helmholtz.single_layer(
      neumann_space_2, dirichlet_space_m, dirichlet_space_m, nm*k)
173 DLP_m_2 = bempp.api.operators.boundary.helmholtz.double_layer(
      dirichlet_space_m, dirichlet_space_2, dirichlet_space_2, nm*k)
  174 DLP_2_m = bempp.api.operators.boundary.helmholtz.double_layer(
      dirichlet_space_2 , dirichlet_space_m , dirichlet_space_m , nm*k)
```

```
177 ADLP_m_2 = bempp.api.operators.boundary.helmholtz.adjoint_double_layer(
      neumann_space_m , neumann_space_2 , neumann_space_2 , nm*k)
  176 ADLP_2_m = bempp.api.operators.boundary.helmholtz.adjoint_double_layer(
      neumann_space_2 , neumann_space_m , neumann_space_m , nm*k)
179 177 HYP_m_2 = bempp.api.operators.boundary.helmholtz.hypersingular(
      dirichlet_space_m, neumann_space_2, neumann_space_2, nm*k)
  178 HYP_2_m = bempp.api.operators.boundary.helmholtz.hypersingular(
      dirichlet_space_2, neumann_space_m, neumann_space_m, nm*k)
181 179 SLP_2_0 = bempp. api. operators. boundary. helmholtz. single_layer(
      neumann_space_2 , dirichlet_space_0 , dirichlet_space_0 , nm*k)
  180 DLP_2_0 = bempp. api. operators. boundary. helmholtz. double_layer(
      dirichlet_space_2 , dirichlet_space_0 , dirichlet_space_0 , nm*k)
183 | 181 | ADLP_2_0 = bempp. api. operators. boundary. helmholtz. adjoint_double_layer(
      neumann_space_2, neumann_space_0, neumann_space_0, nm*k)
  182 HYP_2_0 = bempp. api. operators. boundary. helmholtz. hypersingular (
      dirichlet_space_2, neumann_space_0, neumann_space_0, nm*k)
183 SLP_2_1 = bempp.api.operators.boundary.helmholtz.single_layer(
      neumann_space_2 , dirichlet_space_1 , dirichlet_space_1 , nm*k)
  184 DLP_2_1 = bempp. api. operators . boundary . helmholtz . double_layer (
      dirichlet_space_2, dirichlet_space_1, dirichlet_space_1, nm*k)
185 ADLP_2_1 = bempp.api.operators.boundary.helmholtz.adjoint_double_layer(
      neumann_space_2 , neumann_space_1 , neumann_space_1 , nm*k)
  186 HYP_2_1 = bempp.api.operators.boundary.helmholtz.hypersingular(
      dirichlet_space_2, neumann_space_1, neumann_space_1, nm*k)
189 187 SLP_2_3 = bempp.api.operators.boundary.helmholtz.single_layer(
      neumann_space_2, dirichlet_space_3, dirichlet_space_3, nm*k)
  188 DLP_2_3 = bempp. api. operators . boundary . helmholtz . double_layer (
      dirichlet_space_2, dirichlet_space_3, dirichlet_space_3, nm*k)
191 189 ADLP_2_3 = bempp.api.operators.boundary.helmholtz.adjoint_double_layer(
      neumann_space_2 , neumann_space_3 , neumann_space_3 , nm*k)
  190 HYP_2_3 = bempp.api.operators.boundary.helmholtz.hypersingular(
      dirichlet_space_2, neumann_space_3, neumann_space_3, nm*k)
193 191 SLP_2_4 = bempp.api.operators.boundary.helmholtz.single_layer(
      neumann_space_2 , dirichlet_space_4 , dirichlet_space_4 , nm*k)
  192 DLP_2_4 = bempp.api.operators.boundary.helmholtz.double_layer(
      dirichlet_space_2 , dirichlet_space_4 , dirichlet_space_4 , nm*k)
195 | 193 | ADLP_2_4 = bempp.api.operators.boundary.helmholtz.adjoint_double_layer(
      neumann_space_2, neumann_space_4, neumann_space_4, nm*k)
  194 HYP_2_4 = bempp. api.operators.boundary.helmholtz.hypersingular(
      dirichlet_space_2 , neumann_space_4 , neumann_space_4 , nm*k)
197 | 195 | SLP_2_5 = bempp.api.operators.boundary.helmholtz.single_layer(
      neumann_space_2, dirichlet_space_5, dirichlet_space_5, nm*k)
  196 DLP_2_5 = bempp. api.operators.boundary.helmholtz.double_layer(
      dirichlet_space_2, dirichlet_space_5, dirichlet_space_5, nm*k)
199 197 ADLP_2_5 = bempp. api.operators.boundary.helmholtz.adjoint_double_layer(
      neumann_space_2 , neumann_space_5 , neumann_space_5 , nm*k)
  198 HYP_2_5 = bempp.api.operators.boundary.helmholtz.hypersingular(
      dirichlet_space_2, neumann_space_5, neumann_space_5, nm*k)
201 199 SLP_m_3 = bempp.api.operators.boundary.helmholtz.single_layer(
      neumann_space_m , dirichlet_space_3 , dirichlet_space_3 , nm*k)
  200 SLP_3_m = bempp.api.operators.boundary.helmholtz.single_layer(
      neumann_space_3 , dirichlet_space_m , dirichlet_space_m , nm*k)
```

```
201 DLP_m_3 = bempp.api.operators.boundary.helmholtz.double_layer(
      dirichlet_space_m, dirichlet_space_3, dirichlet_space_3, nm*k)
  202 DLP_3_m = bempp.api.operators.boundary.helmholtz.double_layer(
      dirichlet_space_3 , dirichlet_space_m , dirichlet_space_m , nm*k)
  203 ADLP_m_3 = bempp.api.operators.boundary.helmholtz.adjoint_double_layer(
      neumann_space_m , neumann_space_3 , neumann_space_3 , nm*k)
  204 ADLP_3_m = bempp.api.operators.boundary.helmholtz.adjoint_double_layer(
      neumann_space_3 , neumann_space_m , neumann_space_m , nm*k)
  205 HYP_m_3 = bempp. api. operators . boundary . helmholtz . hypersingular (
      dirichlet_space_m, neumann_space_3, neumann_space_3, nm*k)
  206 HYP_3_m = bempp.api.operators.boundary.helmholtz.hypersingular(
      dirichlet_space_3, neumann_space_m, neumann_space_m, nm*k)
  207 SLP_3_0 = bempp. api.operators.boundary.helmholtz.single_layer(
      neumann_space_3, dirichlet_space_0, dirichlet_space_0, nm*k)
  208 DLP_3_0 = bempp. api . operators . boundary . helmholtz . double_layer (
      dirichlet_space_3, dirichlet_space_0, dirichlet_space_0, nm*k)
      ADLP_3_0 = bempp.api.operators.boundary.helmholtz.adjoint_double_layer(
211
      neumann_space_3 , neumann_space_0 , neumann_space_0 , nm*k)
  210 HYP_3_0 = bempp.api.operators.boundary.helmholtz.hypersingular(
      dirichlet_space_3, neumann_space_0, neumann_space_0, nm*k)
213 211 SLP_3_1 = bempp. api. operators. boundary. helmholtz. single_layer(
      neumann_space_3, dirichlet_space_1, dirichlet_space_1, nm*k)
  212 DLP_3_1 = bempp.api.operators.boundary.helmholtz.double_layer(
      dirichlet_space_3, dirichlet_space_1, dirichlet_space_1, nm*k)
215 213 ADLP_3_1 = bempp.api.operators.boundary.helmholtz.adjoint_double_layer(
      neumann_space_3, neumann_space_1, neumann_space_1, nm*k)
  214 HYP_3_1 = bempp.api.operators.boundary.helmholtz.hypersingular(
      dirichlet_space_3, neumann_space_1, neumann_space_1, nm*k)
217 215 SLP_3_2 = bempp.api.operators.boundary.helmholtz.single_layer(
      neumann_space_3 , dirichlet_space_2 , dirichlet_space_2 , nm*k)
  216 DLP_3_2 = bempp. api. operators . boundary . helmholtz . double_layer (
      dirichlet_space_3, dirichlet_space_2, dirichlet_space_2, nm*k)
219 217 ADLP_3_2 = bempp.api.operators.boundary.helmholtz.adjoint_double_layer(
      neumann_space_3 , neumann_space_2 , neumann_space_2 , nm*k)
  218 HYP_3_2 = bempp.api.operators.boundary.helmholtz.hypersingular(
      dirichlet_space_3, neumann_space_2, neumann_space_2, nm*k)
221 219 SLP_3_4 = bempp. api. operators . boundary . helmholtz . single_layer (
      neumann_space_3 , dirichlet_space_4 , dirichlet_space_4 , nm*k)
  220 DLP_3_4 = bempp.api.operators.boundary.helmholtz.double_layer(
      dirichlet_space_3, dirichlet_space_4, dirichlet_space_4, nm*k)
223 | 221 ADLP_3_4 = bempp.api.operators.boundary.helmholtz.adjoint_double_layer(
      neumann_space_3 , neumann_space_4 , neumann_space_4 , nm*k)
  222 HYP_3_4 = bempp. api. operators. boundary. helmholtz. hypersingular (
      dirichlet_space_3, neumann_space_4, neumann_space_4, nm*k)
225 223 SLP_3_5 = bempp.api.operators.boundary.helmholtz.single_layer(
      neumann_space_3 , dirichlet_space_5 , dirichlet_space_5 , nm*k)
  224 DLP_3_5 = bempp.api.operators.boundary.helmholtz.double_layer(
      dirichlet_space_3 , dirichlet_space_5 , dirichlet_space_5 , nm*k)
227 | 225 ADLP_3_5 = bempp.api.operators.boundary.helmholtz.adjoint_double_layer(
      neumann_space_3 , neumann_space_5 , neumann_space_5 , nm*k)
  226 HYP_3_5 = bempp.api.operators.boundary.helmholtz.hypersingular(
      dirichlet_space_3, neumann_space_5, neumann_space_5, nm*k)
```

```
229 | 227 SLP_m_4 = bempp.api.operators.boundary.helmholtz.single_layer(
      neumann_space_m , dirichlet_space_4 , dirichlet_space_4 , nm*k)
  228 SLP_4_m = bempp.api.operators.boundary.helmholtz.single_layer(
      neumann_space_4, dirichlet_space_m, dirichlet_space_m, nm*k)
231 229 DLP_m_4 = bempp.api.operators.boundary.helmholtz.double_layer(
      dirichlet_space_m , dirichlet_space_4 , dirichlet_space_4 , nm*k)
  230 DLP_4_m = bempp.api.operators.boundary.helmholtz.double_layer(
      dirichlet_space_4, dirichlet_space_m, dirichlet_space_m, nm*k)
233 231 ADLP_m_4 = bempp.api.operators.boundary.helmholtz.adjoint_double_layer(
      neumann_space_m, neumann_space_4, neumann_space_4, nm*k)
  232 ADLP_4_m = bempp.api.operators.boundary.helmholtz.adjoint_double_layer(
      neumann_space_4 , neumann_space_m , neumann_space_m , nm*k)
  233 HYP_m_4 = bempp. api. operators. boundary. helmholtz. hypersingular (
      dirichlet_space_m, neumann_space_4, neumann_space_4, nm*k)
  234 HYP_4_m = bempp. api. operators. boundary. helmholtz. hypersingular (
      dirichlet_space_4, neumann_space_m, neumann_space_m, nm*k)
235 SLP_4_0 = bempp. api. operators. boundary. helmholtz. single_layer(
      neumann_space_4 , dirichlet_space_0 , dirichlet_space_0 , nm*k)
  236 DLP_4_0 = bempp. api. operators . boundary . helmholtz . double_layer (
      dirichlet_space_4, dirichlet_space_0, dirichlet_space_0, nm*k)
239 | 237 ADLP_4_0 = bempp.api.operators.boundary.helmholtz.adjoint_double_layer(
      neumann_space_4 , neumann_space_0 , neumann_space_0 , nm*k)
  238 HYP_4_0 = bempp.api.operators.boundary.helmholtz.hypersingular(
      dirichlet_space_4, neumann_space_0, neumann_space_0, nm*k)
241 239 SLP_4_1 = bempp. api. operators. boundary. helmholtz. single_layer(
      neumann_space_4, dirichlet_space_1, dirichlet_space_1, nm*k)
  240 DLP_4_1 = bempp.api.operators.boundary.helmholtz.double_layer(
      dirichlet_space_4, dirichlet_space_1, dirichlet_space_1, nm*k)
243 241 ADLP_4_1 = bempp.api.operators.boundary.helmholtz.adjoint_double_layer(
      neumann_space_4 , neumann_space_1 , neumann_space_1 , nm*k)
  242 HYP_4_1 = bempp.api.operators.boundary.helmholtz.hypersingular(
      dirichlet_space_4, neumann_space_1, neumann_space_1, nm*k)
245 243 SLP_4_2 = bempp.api.operators.boundary.helmholtz.single_layer(
      neumann_space_4 , dirichlet_space_2 , dirichlet_space_2 , nm*k)
  244 DLP_4_2 = bempp.api.operators.boundary.helmholtz.double_layer(
      dirichlet_space_4, dirichlet_space_2, dirichlet_space_2, nm*k)
247 245 ADLP_4_2 = bempp.api.operators.boundary.helmholtz.adjoint_double_layer(
      neumann_space_4, neumann_space_2, neumann_space_2, nm*k)
  246 HYP_4_2 = bempp.api.operators.boundary.helmholtz.hypersingular(
      dirichlet_space_4 , neumann_space_2 , neumann_space_2 , nm*k)
249 247 SLP_4_3 = bempp.api.operators.boundary.helmholtz.single_layer(
      neumann_space_4 , dirichlet_space_3 , dirichlet_space_3 , nm*k)
  248 DLP_4_3 = bempp. api.operators.boundary.helmholtz.double_layer(
      dirichlet_space_4, dirichlet_space_3, dirichlet_space_3, nm*k)
251 249 ADLP_4_3 = bempp.api.operators.boundary.helmholtz.adjoint_double_layer(
      neumann_space_4 , neumann_space_3 , neumann_space_3 , nm*k)
  250 HYP_4_3 = bempp.api.operators.boundary.helmholtz.hypersingular(
      dirichlet_space_4, neumann_space_3, neumann_space_3, nm*k)
253 251 SLP_4_5 = bempp.api.operators.boundary.helmholtz.single_layer(
      neumann_space_4 , dirichlet_space_5 , dirichlet_space_5 , nm*k)
  252 DLP_4_5 = bempp. api. operators . boundary . helmholtz . double_layer (
      dirichlet_space_4 , dirichlet_space_5 , dirichlet_space_5 , nm*k)
```

```
255 253 ADLP_4_5 = bempp.api.operators.boundary.helmholtz.adjoint_double_layer(
      neumann_space_4, neumann_space_5, neumann_space_5, nm*k)
  254 HYP_4_5 = bempp.api.operators.boundary.helmholtz.hypersingular(
      dirichlet_space_4, neumann_space_5, neumann_space_5, nm*k)
255 SLP_m_5 = bempp.api.operators.boundary.helmholtz.single_layer(
      neumann_space_m , dirichlet_space_5 , dirichlet_space_5 , nm*k)
  256 SLP_5_m = bempp.api.operators.boundary.helmholtz.single_layer(
      neumann_space_5 , dirichlet_space_m , dirichlet_space_m , nm*k)
  257 DLP<sub>-m-5</sub> = bempp. api. operators.boundary.helmholtz.double_layer(
      dirichlet_space_m, dirichlet_space_5, dirichlet_space_5, nm*k)
  258 DLP_5_m = bempp.api.operators.boundary.helmholtz.double_layer(
      dirichlet_space_5 , dirichlet_space_m , dirichlet_space_m , nm*k)
  259 ADLP_m_5 = bempp. api. operators.boundary.helmholtz.adjoint_double_layer(
      neumann_space_m , neumann_space_5 , neumann_space_5 , nm*k)
  260 ADLP_5_m = bempp.api.operators.boundary.helmholtz.adjoint_double_layer(
      neumann_space_5 , neumann_space_m , neumann_space_m , nm*k)
  261 HYP_m_5 = bempp.api.operators.boundary.helmholtz.hypersingular(
      dirichlet_space_m , neumann_space_5 , neumann_space_5 , nm*k)
  262 HYP_5_m = bempp.api.operators.boundary.helmholtz.hypersingular(
      dirichlet_space_5, neumann_space_m, neumann_space_m, nm*k)
  263 SLP_5_0 = bempp.api.operators.boundary.helmholtz.single_layer(
      neumann_space_5, dirichlet_space_0, dirichlet_space_0, nm*k)
  264 DLP_5_0 = bempp.api.operators.boundary.helmholtz.double_layer(
      dirichlet_space_5, dirichlet_space_0, dirichlet_space_0, nm*k)
  265 ADLP_5_0 = bempp. api. operators.boundary.helmholtz.adjoint_double_layer(
      neumann_space_5, neumann_space_0, neumann_space_0, nm*k)
  266 HYP_5_0 = bempp.api.operators.boundary.helmholtz.hypersingular(
      dirichlet_space_5, neumann_space_0, neumann_space_0, nm*k)
269 267 SLP_5_1 = bempp.api.operators.boundary.helmholtz.single_layer(
      neumann_space_5 , dirichlet_space_1 , dirichlet_space_1 , nm*k)
  268 DLP_5_1 = bempp. api. operators . boundary . helmholtz . double_layer (
      dirichlet_space_5, dirichlet_space_1, dirichlet_space_1, nm*k)
 269 ADLP_5_1 = bempp.api.operators.boundary.helmholtz.adjoint_double_layer(
      neumann_space_5 , neumann_space_1 , neumann_space_1 , nm*k)
  270 HYP_5_1 = bempp.api.operators.boundary.helmholtz.hypersingular(
      dirichlet_space_5, neumann_space_1, neumann_space_1, nm*k)
273 | 271 | SLP_5_2 = bempp.api.operators.boundary.helmholtz.single_layer(
      neumann_space_5 , dirichlet_space_2 , dirichlet_space_2 , nm*k)
  272 DLP_5_2 = bempp.api.operators.boundary.helmholtz.double_layer(
      dirichlet_space_5 , dirichlet_space_2 , dirichlet_space_2 , nm*k)
275 273 ADLP_5_2 = bempp.api.operators.boundary.helmholtz.adjoint_double_layer(
      neumann_space_5 , neumann_space_2 , neumann_space_2 , nm*k)
  274 HYP_5_2 = bempp. api. operators. boundary. helmholtz. hypersingular (
      dirichlet_space_5, neumann_space_2, neumann_space_2, nm*k)
277 | 275 | SLP_5_3 = bempp.api.operators.boundary.helmholtz.single_layer(
      neumann_space_5 , dirichlet_space_3 , dirichlet_space_3 , nm*k)
  276 DLP_5_3 = bempp.api.operators.boundary.helmholtz.double_layer(
      dirichlet_space_5, dirichlet_space_3, dirichlet_space_3, nm*k)
279 | 277 ADLP_5_3 = bempp.api.operators.boundary.helmholtz.adjoint_double_layer(
      neumann_space_5 , neumann_space_3 , neumann_space_3 , nm*k)
  278 HYP_5_3 = bempp.api.operators.boundary.helmholtz.hypersingular(
      dirichlet_space_5, neumann_space_3, neumann_space_3, nm*k)
```

```
281 279 SLP_5_4 = bempp. api. operators. boundary. helmholtz. single_layer(
      neumann_space_5, dirichlet_space_4, dirichlet_space_4, nm*k)
  280 DLP_5_4 = bempp. api. operators . boundary . helmholtz . double_layer (
      dirichlet_space_5 , dirichlet_space_4 , dirichlet_space_4 , nm*k)
  281 ADLP_5_4 = bempp.api.operators.boundary.helmholtz.adjoint_double_layer(
      neumann_space_5, neumann_space_4, neumann_space_4, nm*k)
  242 HYP_4_1 = bempp.api.operators.boundary.helmholtz.hypersingular(
      dirichlet_space_4, neumann_space_1, neumann_space_1, nm*k)
285 243 SLP_4_2 = bempp.api.operators.boundary.helmholtz.single_layer(
      neumann_space_4 , dirichlet_space_2 , dirichlet_space_2 , nm*k)
  244 DLP_4_2 = bempp. api. operators . boundary . helmholtz . double_layer (
      dirichlet_space_4 , dirichlet_space_2 , dirichlet_space_2 , nm*k)
  245 ADLP_4_2 = bempp. api. operators.boundary.helmholtz.adjoint_double_layer(
      neumann_space_4 , neumann_space_2 , neumann_space_2 , nm*k)
  246 HYP_4_2 = bempp. api. operators. boundary. helmholtz. hypersingular (
      dirichlet_space_4, neumann_space_2, neumann_space_2, nm*k)
      SLP_4_3 = bempp.api.operators.boundary.helmholtz.single_layer(
      neumann_space_4 , dirichlet_space_3 , dirichlet_space_3 , nm*k)
  248 DLP_4_3 = bempp. api. operators . boundary . helmholtz . double_layer (
      dirichlet_space_4, dirichlet_space_3, dirichlet_space_3, nm*k)
291 249 ADLP_4_3 = bempp.api.operators.boundary.helmholtz.adjoint_double_layer(
      neumann_space_4 , neumann_space_3 , neumann_space_3 , nm*k)
  250 HYP_4_3 = bempp.api.operators.boundary.helmholtz.hypersingular(
      dirichlet_space_4, neumann_space_3, neumann_space_3, nm*k)
293 251 SLP_4_5 = bempp.api.operators.boundary.helmholtz.single_layer(
      neumann_space_4, dirichlet_space_5, dirichlet_space_5, nm*k)
  252 DLP_4_5 = bempp. api. operators . boundary . helmholtz . double_layer (
      dirichlet_space_4, dirichlet_space_5, dirichlet_space_5, nm*k)
295 | 253 ADLP_4_5 = bempp.api.operators.boundary.helmholtz.adjoint_double_layer(
      neumann_space_4 , neumann_space_5 , neumann_space_5 , nm*k)
  254 HYP_4_5 = bempp.api.operators.boundary.helmholtz.hypersingular(
      dirichlet_space_4, neumann_space_5, neumann_space_5, nm*k)
297 | 255 SLP_m_5 = bempp.api.operators.boundary.helmholtz.single_layer(
      neumann_space_m , dirichlet_space_5 , dirichlet_space_5 , nm*k)
  256 SLP_5_m = bempp.api.operators.boundary.helmholtz.single_layer(
      neumann_space_5, dirichlet_space_m, dirichlet_space_m, nm*k)
299 | 257 DLP_m_5 = bempp.api.operators.boundary.helmholtz.double_layer(
      dirichlet_space_m , dirichlet_space_5 , dirichlet_space_5 , nm*k)
  258 DLP_5_m = bempp.api.operators.boundary.helmholtz.double_layer(
      dirichlet_space_5 , dirichlet_space_m , dirichlet_space_m , nm*k)
301 259 ADLP_m_5 = bempp.api.operators.boundary.helmholtz.adjoint_double_layer(
      neumann_space_m , neumann_space_5 , neumann_space_5 , nm*k)
  260 ADLP_5_m = bempp.api.operators.boundary.helmholtz.adjoint_double_layer(
      neumann_space_5 , neumann_space_m , neumann_space_m , nm*k)
303 261 HYP_m_5 = bempp. api. operators. boundary. helmholtz. hypersingular (
      dirichlet_space_m , neumann_space_5 , neumann_space_5 , nm*k)
  262 HYP_5_m = bempp.api.operators.boundary.helmholtz.hypersingular(
      dirichlet_space_5, neumann_space_m, neumann_space_m, nm*k)
305 263 SLP_5_0 = bempp.api.operators.boundary.helmholtz.single_layer(
      neumann_space_5, dirichlet_space_0, dirichlet_space_0, nm*k)
  264 DLP_5_0 = bempp. api. operators . boundary . helmholtz . double_layer (
      dirichlet_space_5 , dirichlet_space_0 , dirichlet_space_0 , nm*k)
```

```
307 265 ADLP_5_0 = bempp.api.operators.boundary.helmholtz.adjoint_double_layer(
              neumann_space_5 , neumann_space_0 , neumann_space_0 , nm*k)
      266 HYP_5_0 = bempp.api.operators.boundary.helmholtz.hypersingular(
              dirichlet_space_5, neumann_space_0, neumann_space_0, nm*k)
     267 SLP_5_1 = bempp.api.operators.boundary.helmholtz.single_layer(
              neumann_space_5 , dirichlet_space_1 , dirichlet_space_1 , nm*k)
      268 DLP_5_1 = bempp.api.operators.boundary.helmholtz.double_layer(
              dirichlet_space_5, dirichlet_space_1, dirichlet_space_1, nm*k)
     269 ADLP_5_1 = bempp. api. operators . boundary . helmholtz . adjoint_double_layer (
              neumann_space_5 , neumann_space_1 , neumann_space_1 , nm*k)
      270 HYP_5_1 = bempp. api.operators.boundary.helmholtz.hypersingular(
              dirichlet_space_5, neumann_space_1, neumann_space_1, nm*k)
     271 SLP_5_2 = bempp. api. operators.boundary.helmholtz.single_layer(
313
              neumann_space_5 , dirichlet_space_2 , dirichlet_space_2 , nm*k)
      272 DLP_5_2 = bempp. api.operators.boundary.helmholtz.double_layer(
              dirichlet_space_5, dirichlet_space_2, dirichlet_space_2, nm*k)
315 273 ADLP_5_2 = bempp.api.operators.boundary.helmholtz.adjoint_double_layer(
              neumann_space_5 , neumann_space_2 , neumann_space_2 , nm*k)
      274 HYP_5_2 = bempp.api.operators.boundary.helmholtz.hypersingular(
              dirichlet_space_5, neumann_space_2, neumann_space_2, nm*k)
     275 SLP_5_3 = bempp.api.operators.boundary.helmholtz.single_layer(
              neumann_space_5, dirichlet_space_3, dirichlet_space_3, nm*k)
      276 DLP_5_3 = bempp.api.operators.boundary.helmholtz.double_layer(
              dirichlet_space_5, dirichlet_space_3, dirichlet_space_3, nm*k)
319 277 ADLP_5_3 = bempp.api.operators.boundary.helmholtz.adjoint_double_layer(
              neumann_space_5, neumann_space_3, neumann_space_3, nm*k)
      278 HYP_5_3 = bempp.api.operators.boundary.helmholtz.hypersingular(
              dirichlet_space_5, neumann_space_3, neumann_space_3, nm*k)
321 279 SLP_5_4 = bempp.api.operators.boundary.helmholtz.single_layer(
              neumann_space_5, dirichlet_space_4, dirichlet_space_4, nm*k)
      280 DLP_5_4 = bempp. api . operators . boundary . helmholtz . double_layer (
              dirichlet_space_5, dirichlet_space_4, dirichlet_space_4, nm*k)
323 | 281 ADLP_5_4 = bempp. api. operators. boundary. helmholtz.adjoint_double_layer(
              neumann_space_5 , neumann_space_4 , neumann_space_4 , nm*k)
      282 HYP_5_4 = bempp.api.operators.boundary.helmholtz.hypersingular(
              dirichlet_space_5, neumann_space_4, neumann_space_4, nm*k)
325 283
      284 #Matriz de operadores
285 blocked = bempp.api.BlockedOperator(14,14)
      286
329 287 #Diagonal
      288 blocked [0,0] = op_m[0,0]
|289 \text{ blocked}[0,1] = \text{op}_m[0,1]
      290 blocked [1,0] = op_m[1,0]
|291 \text{ blocked}[1,1] = \text{op}_m[1,1]
      292 blocked [2,2] = op_0[0,0]
|293| |293| | |335| |293| | |335| |293| |335| |293| |335| |335| |335| |335| |335| |335| |335| |335| |335| |335| |335| |335| |335| |335| |335| |335| |335| |335| |335| |335| |335| |335| |335| |335| |335| |335| |335| |335| |335| |335| |335| |335| |335| |335| |335| |335| |335| |335| |335| |335| |335| |335| |335| |335| |335| |335| |335| |335| |335| |335| |335| |335| |335| |335| |335| |335| |335| |335| |335| |335| |335| |335| |335| |335| |335| |335| |335| |335| |335| |335| |335| |335| |335| |335| |335| |335| |335| |335| |335| |335| |335| |335| |335| |335| |335| |335| |335| |335| |335| |335| |335| |335| |335| |335| |335| |335| |335| |335| |335| |335| |335| |335| |335| |335| |335| |335| |335| |335| |335| |335| |335| |335| |335| |335| |335| |335| |335| |335| |335| |335| |335| |335| |335| |335| |335| |335| |335| |335| |335| |335| |335| |335| |335| |335| |335| |335| |335| |335| |335| |335| |335| |335| |335| |335| |335| |335| |335| |335| |335| |335| |335| |335| |335| |335| |335| |335| |335| |335| |335| |335| |335| |335| |335| |335| |335| |335| |335| |335| |335| |335| |335| |335| |335| |335| |335| |335| |335| |335| |335| |335| |335| |335| |335| |335| |335| |335| |335| |335| |335| |335| |335| |335| |335| |335| |335| |335| |335| |335| |335| |335| |335| |335| |335| |335| |335| |335| |335| |335| |335| |335| |335| |335| |335| |335| |335| |335| |335| |335| |335| |335| |335| |335| |335| |335| |335| |335| |335| |335| |335| |335| |335| |335| |335| |335| |335| |335| |335| |335| |335| |335| |335| |335| |335| |335| |335| |335| |335| |335| |335| |335| |335| |335| |335| |335| |335| |335| |335| |335| |335| |335| |335| |335| |335| |335| |335| |335| |335| |335| |335| |335| |335| |335| |335| |335| |335| |335| |335| |335| |335| |335| |335| |335| |335| |335| |335| |335| |335| |335| |335| |335| |335| |335| |335| |335| |335| |335| |335| |335| |335| |335| |335| |335| |335| |335| |335| |335| |335| |335| |335| |335| |335| |335| |335| |335| |335| |335| |335| |335| |335| |335| |335| |335| |335| |335| |335| |335| |335| |335| |335| |335| |335| |335| 
      294 blocked [3,2] = op_0[1,0]
|295| | |337| | |295| | |337| | |295| | |337| | |337| | |337| | |337| | |337| | |337| | |337| | |337| | |337| | |337| | |337| | |337| | |337| | |337| | |337| | |337| | |337| | |337| | |337| | |337| | |337| | |337| | |337| | |337| | |337| | |337| | |337| | |337| | |337| | |337| | |337| | |337| | |337| | |337| | |337| | |337| | |337| | |337| | |337| | |337| | |337| | |337| | |337| | |337| | |337| | |337| | |337| | |337| | |337| | |337| | |337| | |337| | |337| | |337| | |337| | |337| | |337| | |337| | |337| | |337| | |337| | |337| | |337| | |337| | |337| | |337| | |337| | |337| | |337| | |337| | |337| | |337| | |337| | |337| | |337| | |337| | |337| | |337| | |337| | |337| | |337| | |337| | |337| | |337| | |337| | |337| | |337| | |337| | |337| | |337| | |337| | |337| | |337| | |337| | |337| | |337| | |337| | |337| | |337| | |337| | |337| | |337| | |337| | |337| | |337| | |337| | |337| | |337| | |337| | |337| | |337| | |337| | |337| | |337| | |337| | |337| | |337| | |337| | |337| | |337| | |337| | |337| | |337| | |337| | |337| | |337| | |337| | |337| | |337| | |337| | |337| | |337| | |337| | |337| | |337| | |337| | |337| | |337| | |337| | |337| | |337| | |337| | |337| | |337| | |337| | |337| | |337| | |337| | |337| | |337| | |337| | |337| | |337| | |337| | |337| | |337| | |337| | |337| | |337| | |337| | |337| | |337| | |337| | |337| | |337| | |337| | |337| | |337| | |337| | |337| | |337| | |337| | |337| | |337| | |337| | |337| | |337| | |337| | |337| | |337| | |337| | |337| | |337| | |337| | |337| | |337| | |337| | |337| | |337| | |337| | |337| | |337| | |337| | |337| | |337| | |337| | |337| | |337| | |337| | |337| | |337| | |337| | |337| | |337| | |337| | |337| | |337| | |337| | |337| | |337| | |337| | |337| | |337| | |337| | |337| | |337| | |337| | |337| | |337| | |337| | |337| | |337| | |337| | |337| | |337| | |337| | |337| | |337| | |337| | |337| | |337| | |337| | |337| | |337| | |337| | |337| | |337| | |337| | |337| | |337| | |337| | |337| | |337| | |337| | |337| | |337| | |337| | |337| | |337| | |337| | |337
      296 blocked [4,4] = op_1[0,0]
|297| blocked [4,5] = op_1[0,1]
      298 blocked [5,4] = op_1[1,0]
|299 \text{ blocked}[5,5] = op_1[1,1]
```

```
300 blocked [6,6] = op_2[0,0]
         301 blocked [6,7] = op_2[0,1]
         302 blocked [7,6] = op_2[1,0]
345 \mid 303 \quad blocked [7,7] = op_2[1,1]
         304 \text{ blocked}[8,8] = op_3[0,0]
347 \mid 305 \text{ blocked} [8,9] = op_3 [0,1]
         306 \text{ blocked}[9,8] = op_3[1,0]
_{349}|307 \text{ blocked}[9,9] = op_3[1,1]
         308 blocked [10,10] = op_4[0,0]
        309 blocked [10,11] = op_4[0,1]
         310 blocked [11,10] = op_4[1,0]
|311| blocked [11,11] = op_4[1,1]
         312 blocked [12,12] = op_5 [0,0]
|313| blocked [12,13] = op_{5}[0,1]
         314 blocked [13,12] = op_5[1,0]
|315| blocked [13,13] = op_5[1,1]
         316
359 317 #Contribucion hilos-matriz
         318 blocked [0,2] = DLP_{-0}m
361 | 319 | blocked[0,3] = -SLP_0_m
         320 blocked [1,2] = -HYP_0m
_{363} | 321 | blocked [1,3] = -ADLP_0_m
         322 \ blocked[0,4] = DLP_1_m
365 \mid 323 \quad blocked[0,5] = -SLP_1_m
         324 \ blocked[1,4] = -HYP_1_m
|325| |325| | |325| | |325| | |325| | |325| | |325| | |325| | |325| | |325| | |325| | |325| | |325| | |325| | |325| | |325| | |325| | |325| | |325| | |325| | |325| | |325| | |325| | |325| | |325| | |325| | |325| | |325| | |325| | |325| | |325| | |325| | |325| | |325| | |325| | |325| | |325| | |325| | |325| | |325| | |325| | |325| | |325| | |325| | |325| | |325| | |325| | |325| | |325| | |325| | |325| | |325| | |325| | |325| | |325| | |325| | |325| | |325| | |325| | |325| | |325| | |325| | |325| | |325| | |325| | |325| | |325| | |325| | |325| | |325| | |325| | |325| | |325| | |325| | |325| | |325| | |325| | |325| | |325| | |325| | |325| | |325| | |325| | |325| | |325| | |325| | |325| | |325| | |325| | |325| | |325| | |325| | |325| | |325| | |325| | |325| | |325| | |325| | |325| | |325| | |325| | |325| | |325| | |325| | |325| | |325| | |325| | |325| | |325| | |325| | |325| | |325| | |325| | |325| | |325| | |325| | |325| | |325| | |325| | |325| | |325| | |325| | |325| | |325| | |325| | |325| | |325| | |325| | |325| | |325| | |325| | |325| | |325| | |325| | |325| | |325| | |325| | |325| | |325| | |325| | |325| | |325| | |325| | |325| | |325| | |325| | |325| | |325| | |325| | |325| | |325| | |325| | |325| | |325| | |325| | |325| | |325| | |325| | |325| | |325| | |325| | |325| | |325| | |325| | |325| | |325| | |325| | |325| | |325| | |325| | |325| | |325| | |325| | |325| | |325| | |325| | |325| | |325| | |325| | |325| | |325| | |325| | |325| | |325| | |325| | |325| | |325| | |325| | |325| | |325| | |325| | |325| | |325| | |325| | |325| | |325| | |325| | |325| | |325| | |325| | |325| | |325| | |325| | |325| | |325| | |325| | |325| | |325| | |325| | |325| | |325| | |325| | |325| | |325| | |325| | |325| | |325| | |325| | |325| | |325| | |325| | |325| | |325| | |325| | |325| | |325| | |325| | |325| | |325| | |325| | |325| | |325| | |325| | |325| | |325| | |325| | |325| | |325| | |325| | |325| | |325| | |325| | |325| | |325| | |325| | |325| | |325| | |325| | |325| | |325| | |325| | |325| | |325| | |325| | |325| | |325| 
         326 \ blocked[0,6] = DLP_2_m
        327 \text{ blocked}[0,7] = -SLP_2_m
         328 blocked [1,6] = -HYP_2_m
|329| \text{ blocked}[1,7] = -ADLP_2_m
         330 blocked [0,8] = DLP_3_m
        331 blocked [0,9] = -SLP_3_m
         332 blocked [1,8] = -HYP_3_m
|333| |333| | |335| |335| |336| |336| |337| |338| |339| |339| |339| |339| |339| |339| |339| |339| |339| |339| |339| |339| |339| |339| |339| |339| |339| |339| |339| |339| |339| |339| |339| |339| |339| |339| |339| |339| |339| |339| |339| |339| |339| |339| |339| |339| |339| |339| |339| |339| |339| |339| |339| |339| |339| |339| |339| |339| |339| |339| |339| |339| |339| |339| |339| |339| |339| |339| |339| |339| |339| |339| |339| |339| |339| |339| |339| |339| |339| |339| |339| |339| |339| |339| |339| |339| |339| |339| |339| |339| |339| |339| |339| |339| |339| |339| |339| |339| |339| |339| |339| |339| |339| |339| |339| |339| |339| |339| |339| |339| |339| |339| |339| |339| |339| |339| |339| |339| |339| |339| |339| |339| |339| |339| |339| |339| |339| |339| |339| |339| |339| |339| |339| |339| |339| |339| |339| |339| |339| |339| |339| |339| |339| |339| |339| |339| |339| |339| |339| |339| |339| |339| |339| |339| |339| |339| |339| |339| |339| |339| |339| |339| |339| |339| |339| |339| |339| |339| |339| |339| |339| |339| |339| |339| |339| |339| |339| |339| |339| |339| |339| |339| |339| |339| |339| |339| |339| |339| |339| |339| |339| |339| |339| |339| |339| |339| |339| |339| |339| |339| |339| |339| |339| |339| |339| |339| |339| |339| |339| |339| |339| |339| |339| |339| |339| |339| |339| |339| |339| |339| |339| |339| |339| |339| |339| |339| |339| |339| |339| |339| |339| |339| |339| |339| |339| |339| |339| |339| |339| |339| |339| |339| |339| |339| |339| |339| |339| |339| |339| |339| |339| |339| |339| |339| |339| |339| |339| |339| |339| |339| |339| |339| |339| |339| |339| |339| |339| |339| |339| |339| |339| |339| |339| |339| |339| |339| |339| |339| |339| |339| |339| |339| |339| |339| |339| |339| |339| |339| |339| |339| |339| |339| |339| |339| |339| |339| |339| |339| |339| |339| |339| |339| |339| |339| |339| |339| |339| |339| |339| |339| |339| |339| |339| |339| |339| |339| |339| |339| |339| |339| |339| |339| |339| |339| |339| |339| |339| |339| |339| |339| |339| |339| |339| |339| |339| |339| |339| |339| |339| |339| |339| |339| |3
         334 \ blocked[0,10] = DLP_4_m
|335| = -SLP_4_m
         336 blocked [1,10] = -HYP_4_m
_{379} | 337 | blocked [1,11] = -ADLP_4_m
         338 blocked [0,12] = DLP_5_m
_{381} | 339 | blocked [0, 13] = -SLP_5_m
         340 blocked [1,12] = -HYP_5_m
_{383} 341 blocked [1,13] = -ADLP_5_m
         342
385 343 #Contribucion hilos-hilos
         344
345 #Contribucion hilos-hilos
         346 \ blocked[2,4] = DLP_1_0
_{389} 347 blocked [2,5] = -SLP_1_0
         348 blocked [3,4] = -HYP_{-1}_{-0}
349 \text{ blocked}[3,5] = -ADLP_1_0
         350
393 351 #Contribucion hilos-hilos
        352 \text{ blocked}[2,6] = DLP_2_0
```

```
_{395} | 353 blocked [2,7] = -SLP_2_0
       354 \text{ blocked}[3,6] = -HYP_{-}2_{-}0
_{397} | 355 \text{ blocked} [3,7] = -ADLP_2_0
      356
399 357 #Contribucion hilos—hilos
       358 \ blocked[2,8] = DLP_3_0
|401| 359  blocked [2,9] = -SLP_3_0
      360 \text{ blocked}[3,8] = -HYP_{-}3_{-}0
403
     |361 \text{ blocked}[3,9] = -ADLP_{-3}0
       362
405 363 #Contribucion hilos-hilos
       364 \ blocked[2,10] = DLP_4_0
      365 \text{ blocked}[2,11] = -SLP_4_0
       366 \text{ blocked}[3,10] = -\text{HYP}_4_0
|409| 367  blocked [3,11] = -ADLP_4_0
      368
      369 #Contribucion hilos-hilos
411
      370 \text{ blocked}[2,12] = DLP_{-}5_{-}0
|413| 371 blocked [2,13] = -SLP_{-}5_{-}0
       372 \text{ blocked}[3,12] = -HYP_{-}5_{-}0
|373| blocked [3,13] = -ADLP_5_0
      374
417 375 #Contribucion matriz-hilos
      376 blocked [2,0] = -DLP_{-m_{-}}0
^{419} 377 blocked [2,1] = SLP_m_0
       378 blocked [3,0] = HYP_{-m_{-}}0
|421| 379  blocked [3,1] = ADLP_m_0
       380
423 381 #Contribucion hilos-hilos
       382 blocked [4,2] = DLP_0_1
|383| blocked [4,3] = -SLP_0_1
       384 blocked [5,2] = -HYP_{-}0_{-}1
|427| 385 \text{ blocked} [5,3] = -ADLP_0_1
       386
429 387 #Contribucion hilos-hilos
       388
431 389 #Contribucion hilos-hilos
      390 blocked [4,6] = DLP_2_1
|391| blocked [4,7] = -SLP_2_1
       392 \ blocked[5,6] = -HYP_2_1
|393| blocked [5,7] = -ADLP_2_1
437 395 #Contribucion hilos-hilos
       396 \ blocked[4,8] = DLP_3_1
|397| |397| | |397| | |397| | |397| | |397| | |397| | |397| | |397| | |397| | |397| | |397| | |397| | |397| | |397| | |397| | |397| | |397| | |397| | |397| | |397| | |397| | |397| | |397| | |397| | |397| | |397| | |397| | |397| | |397| | |397| | |397| | |397| | |397| | |397| | |397| | |397| | |397| | |397| | |397| | |397| | |397| | |397| | |397| | |397| | |397| | |397| | |397| | |397| | |397| | |397| | |397| | |397| | |397| | |397| | |397| | |397| | |397| | |397| | |397| | |397| | |397| | |397| | |397| | |397| | |397| | |397| | |397| | |397| | |397| | |397| | |397| | |397| | |397| | |397| | |397| | |397| | |397| | |397| | |397| | |397| | |397| | |397| | |397| | |397| | |397| | |397| | |397| | |397| | |397| | |397| | |397| | |397| | |397| | |397| | |397| | |397| | |397| | |397| | |397| | |397| | |397| | |397| | |397| | |397| | |397| | |397| | |397| | |397| | |397| | |397| | |397| | |397| | |397| | |397| | |397| | |397| | |397| | |397| | |397| | |397| | |397| | |397| | |397| | |397| | |397| | |397| | |397| | |397| | |397| | |397| | |397| | |397| | |397| | |397| | |397| | |397| | |397| | |397| | |397| | |397| | |397| | |397| | |397| | |397| | |397| | |397| | |397| | |397| | |397| | |397| | |397| | |397| | |397| | |397| | |397| | |397| | |397| | |397| | |397| | |397| | |397| | |397| | |397| | |397| | |397| | |397| | |397| | |397| | |397| | |397| | |397| | |397| | |397| | |397| | |397| | |397| | |397| | |397| | |397| | |397| | |397| | |397| | |397| | |397| | |397| | |397| | |397| | |397| | |397| | |397| | |397| | |397| | |397| | |397| | |397| | |397| | |397| | |397| | |397| | |397| | |397| | |397| | |397| | |397| | |397| | |397| | |397| | |397| | |397| | |397| | |397| | |397| | |397| | |397| | |397| | |397| | |397| | |397| | |397| | |397| | |397| | |397| | |397| | |397| | |397| | |397| | |397| | |397| | |397| | |397| | |397| | |397| | |397| | |397| | |397| | |397| | |397| | |397| | |397| | |397| | |397| | |397| | |397| | |397| | |397| | |397| | |397| | |397| | |397| | |397| | |397| | |397| | |397| | |397| | |397| 
      398 \ blocked[5,8] = -HYP_3_1
|441| 399  blocked [5,9] = -ADLP_3_1
       400
443 401 #Contribucion hilos-hilos
       402 \text{ blocked}[4,10] = DLP_4_1
|403| blocked[4,11] = -SLP_4_1
      404 \text{ blocked}[5,10] = -\text{HYP}_4_1
|405| blocked [5,11] = -ADLP_4_1
```

```
406
  407 #Contribucion hilos-hilos
  408 \text{ blocked}[4,12] = DLP_5_1
|409| blocked [4,13] = -SLP_5_1
  410 \text{ blocked} [5,12] = -\text{HYP}_{-5}_{-1}
|411| blocked [5,13] = -ADLP_5_1
  412
455 413 #Contribucion matriz-hilos
  414 \ blocked[4,0] = -DLP_{-m_{-}1}
|415| blocked [4,1] = SLP_m_1
  416 blocked [5,0] = HYP_{m_1}
|417| blocked [5,1] = ADLP_m_1
   418
461 419 #Contribucion hilos-hilos
  420 \text{ blocked}[6,2] = DLP_{-}0_{-}2
|421| blocked[6,3] = -SLP_0_2
  422 \ blocked[7,2] = -HYP_{-}0_{-}2
|423| blocked[7,3] = -ADLP_0_2
  424
467 425 #Contribucion hilos-hilos
   426 \ blocked[6,4] = DLP_{-1}_{-2}
|469| 427  blocked [6,5] = -SLP_1_2
  428 blocked [7,4] = -HYP_{-1}_{-2}
|429| blocked [7,5] = -ADLP_1_2
  430
473 431 #Contribucion hilos—hilos
  432
475 433 #Contribucion hilos-hilos
  434 \ blocked[6,8] = DLP_3_2
|435| = -SLP_3_2
  436 blocked [7,8] = -HYP_{-3}_{-2}
437 blocked [7,9] = -ADLP_3_2
  438
481 439 #Contribucion hilos-hilos
   440 \ blocked[6,10] = DLP_4_2
|441| blocked [6,11] = -SLP_4_2
  442 blocked [7,10] = -HYP_{-4}_{-2}
|443| blocked [7,11] = -ADLP_4_2
  444
487 445 #Contribucion hilos-hilos
  446 blocked [6,12] = DLP_{-5}_{-2}
|447| blocked [6,13] = -SLP_{-}5_{-}2
  448 blocked [7,12] = -HYP_{-5}_{-2}
|449| blocked [7,13] = -ADLP_5_2
  450
493 451 #Contribucion matriz-hilos
  452 \text{ blocked}[6,0] = -DLP_m_2
495 \mid 453 \text{ blocked} [6,1] = SLP_m_2
  454 \text{ blocked} [7,0] = \text{HYP}_{m}_{2}
|455| |455| | blocked[7,1] = ADLP_m_2
   456
499 457 #Contribucion hilos-hilos
  458 \ blocked[8,2] = DLP_0_3
```

```
|459| = -SLP_0_3
  460 blocked [9,2] = -HYP_{-0}_{-3}
|461| blocked [9,3] = -ADLP_0_3
  462
505 463 #Contribucion hilos-hilos
  464 \text{ blocked}[8,4] = DLP_{-1}_{-3}
|507| 465  blocked [8,5] = -SLP_1_3
  466 \text{ blocked} [9,4] = -\text{HYP}_{-1}_{-3}
_{509} | 467 | blocked [9,5] = -ADLP_1_3
  468
511 469 #Contribucion hilos-hilos
  470 \ blocked[8,6] = DLP_2_3
513 471 blocked [8,7] = -SLP_2_3
  472 \text{ blocked}[9,6] = -HYP_2_3
515 | 473 | blocked [9,7] = -ADLP_2_3
  474
517 475 #Contribucion hilos—hilos
  476
519 477 #Contribucion hilos-hilos
  478 \text{ blocked}[8,10] = DLP_4_3
|479| = -SLP_4_3
  480 \text{ blocked} [9,10] = -\text{HYP}_4_3
|481| blocked [9,11] = -ADLP_4_3
  482
525 483 #Contribucion hilos-hilos
  484 \text{ blocked} [8,12] = DLP_{-5}_{-3}
|485| = -SLP_{-5}|
  486 blocked [9,12] = -HYP_{-5}
|487| blocked [9,13] = -ADLP_{-5}_{-3}
  488
531 489 #Contribucion matriz-hilos
  490 blocked [8,0] = -DLP_m_3
533 491 blocked [8,1] = SLP_m_3
  492 blocked [9,0] = HYP_{m_3}
|493| blocked[9,1] = ADLP_m_3
  494
537 495 #Contribucion hilos-hilos
  496 \text{ blocked}[10,2] = DLP_0_4
|497| = -SLP_0_4
  498 blocked [11,2] = -HYP_0_4
|499| blocked [11,3] = -ADLP_0_4
  500
543 501 #Contribucion hilos-hilos
  502 \ blocked[10,4] = DLP_1_4
545 \mid 503 \text{ blocked} [10,5] = -SLP_1_4
  504 \ blocked[11,4] = -HYP_1_4
  506
549 507 #Contribucion hilos-hilos
  508 \ blocked[10,6] = DLP_2_4
|509| blocked |10,7| = -SLP_2_4
  510 \text{ blocked}[11,6] = -HYP_2_4
|511| blocked [11,7] = -ADLP_2_4
```

```
512
         513 #Contribucion hilos-hilos
          514 \text{ blocked}[10,8] = DLP_3_4
|515| blocked [10,9] = -SLP_3_4
           516 \text{ blocked}[11,8] = -HYP_3_4
|517| blocked [11,9] = -ADLP_3_4
          518
561 519 #Contribucion hilos-hilos
          520
563 521 #Contribucion hilos-hilos
          522 \text{ blocked}[10,12] = DLP_5_4
|565| 523 blocked [10,13] = -SLP_5_4
           524 \text{ blocked}[11,12] = -\text{HYP}_5_4
|525| blocked [11,13] = -ADLP_5_4
          526
569 527 #Contribucion matriz-hilos
           528 \ blocked[10,0] = -DLP_m_4
530 blocked [11,0] = HYP_{-m_{-}}4
573 \mid 531 \mid blocked[11,1] = ADLP_m_4
           532
575 533 #Contribucion hilos—hilos
          534 \ blocked[12,2] = DLP_0_5
|535| |535| |535| |535| |535| |535| |535| |535| |535| |535| |535| |535| |535| |535| |535| |535| |535| |535| |535| |535| |535| |535| |535| |535| |535| |535| |535| |535| |535| |535| |535| |535| |535| |535| |535| |535| |535| |535| |535| |535| |535| |535| |535| |535| |535| |535| |535| |535| |535| |535| |535| |535| |535| |535| |535| |535| |535| |535| |535| |535| |535| |535| |535| |535| |535| |535| |535| |535| |535| |535| |535| |535| |535| |535| |535| |535| |535| |535| |535| |535| |535| |535| |535| |535| |535| |535| |535| |535| |535| |535| |535| |535| |535| |535| |535| |535| |535| |535| |535| |535| |535| |535| |535| |535| |535| |535| |535| |535| |535| |535| |535| |535| |535| |535| |535| |535| |535| |535| |535| |535| |535| |535| |535| |535| |535| |535| |535| |535| |535| |535| |535| |535| |535| |535| |535| |535| |535| |535| |535| |535| |535| |535| |535| |535| |535| |535| |535| |535| |535| |535| |535| |535| |535| |535| |535| |535| |535| |535| |535| |535| |535| |535| |535| |535| |535| |535| |535| |535| |535| |535| |535| |535| |535| |535| |535| |535| |535| |535| |535| |535| |535| |535| |535| |535| |535| |535| |535| |535| |535| |535| |535| |535| |535| |535| |535| |535| |535| |535| |535| |535| |535| |535| |535| |535| |535| |535| |535| |535| |535| |535| |535| |535| |535| |535| |535| |535| |535| |535| |535| |535| |535| |535| |535| |535| |535| |535| |535| |535| |535| |535| |535| |535| |535| |535| |535| |535| |535| |535| |535| |535| |535| |535| |535| |535| |535| |535| |535| |535| |535| |535| |535| |535| |535| |535| |535| |535| |535| |535| |535| |535| |535| |535| |535| |535| |535| |535| |535| |535| |535| |535| |535| |535| |535| |535| |535| |535| |535| |535| |535| |535| |535| |535| |535| |535| |535| |535| |535| |535| |535| |535| |535| |535| |535| |535| |535| |535| |535| |535| |535| |535| |535| |535| |535| |535| |535| |535| |535| |535| |535| |535| |535| |535| |535| |535| |535| |535| |535| |535| |535| |535| |535| |535| |535| |535| |535| |535| |535| |535| |535| |535| |535| |535| |535| |535| |535| |535| |535| |535| |535| |535| |535
          536 \text{ blocked}[13,2] = -\text{HYP}_{-}0_{-}5
579 | 537 | blocked [13,3] = -ADLP_0_5
          538
581 539 #Contribucion hilos-hilos
           540 \ blocked[12,4] = DLP_1_5
|583| 541 blocked [12,5] = -SLP_1_5
          542 \ blocked[13,4] = -HYP_{-1}_{-5}
585 | 543 | blocked [13,5] = -ADLP_1_5
          544
587 545 #Contribucion hilos—hilos
           546 \text{ blocked} [12,6] = DLP_2_5
589 | 547 | blocked [12,7] = -SLP_2_5
          548 \ blocked[13,6] = -HYP_{-}2_{-}5
591 | 549  blocked [13,7] = -ADLP_2_5
          550
593 551 #Contribucion hilos-hilos
          552 \text{ blocked}[12,8] = DLP_3_5
|595| 553  blocked |12,9| = -SLP_3_5
           554 \text{ blocked}[13,8] = -\text{HYP}_{-3}_{-5}
|555| |555| | |555| | |556| | |556| | |557| | |556| | |556| | |556| | |556| | |556| | |556| | |556| | |556| | |556| | |556| | |556| | |556| | |556| | |556| | |556| | |556| | |556| | |556| | |556| | |556| | |556| | |556| | |556| | |556| | |556| | |556| | |556| | |556| | |556| | |556| | |556| | |556| | |556| | |556| | |556| | |556| | |556| | |556| | |556| | |556| | |556| | |556| | |556| | |556| | |556| | |556| | |556| | |556| | |556| | |556| | |556| | |556| | |556| | |556| | |556| | |556| | |556| | |556| | |556| | |556| | |556| | |556| | |556| | |556| | |556| | |556| | |556| | |556| | |556| | |556| | |556| | |556| | |556| | |556| | |556| | |556| | |556| | |556| | |556| | |556| | |556| | |556| | |556| | |556| | |556| | |556| | |556| | |556| | |556| | |556| | |556| | |556| | |556| | |556| | |556| | |556| | |556| | |556| | |556| | |556| | |556| | |556| | |556| | |556| | |556| | |556| | |556| | |556| | |556| | |556| | |556| | |556| | |556| | |556| | |556| | |556| | |556| | |556| | |556| | |556| | |556| | |556| | |556| | |556| | |556| | |556| | |556| | |556| | |556| | |556| | |556| | |556| | |556| | |556| | |556| | |556| | |556| | |556| | |556| | |556| | |556| | |556| | |556| | |556| | |556| | |556| | |556| | |556| | |556| | |556| | |556| | |556| | |556| | |556| | |556| | |556| | |556| | |556| | |556| | |556| | |556| | |556| | |556| | |556| | |556| | |556| | |556| | |556| | |556| | |556| | |556| | |556| | |556| | |556| | |556| | |556| | |556| | |556| | |556| | |556| | |556| | |556| | |556| | |556| | |556| | |556| | |556| | |556| | |556| | |556| | |556| | |556| | |556| | |556| | |556| | |556| | |556| | |556| | |556| | |556| | |556| | |556| | |556| | |556| | |556| | |556| | |556| | |556| | |556| | |556| | |556| | |556| | |556| | |556| | |556| | |556| | |556| | |556| | |556| | |556| | |556| | |556| | |556| | |556| | |556| | |556| | |556| | |556| | |556| | |556| | |556| | |556| | |556| | |556| | |556| | |556| | |556| | |556| | |556| | | |556| | | |556| | |556| | |556| | |556| | |556| | |556| | |556| | |556| | |556| | |5
          556
599 557 #Contribucion hilos-hilos
           558 blocked [12,10] = DLP_{-4}_{-5}
560 blocked [13,10] = -HYP_{-4}_{-5}
| 561  blocked | 13, 11  = -ADLP_4_5
605 563 #Contribucion hilos-hilos
         564
```

```
565 #Contribucion matriz-hilos
  566 \text{ blocked} [12,0] = -DLP_{-m}_{-5}
\frac{1}{609} 567 blocked [12,1] = SLP_m_5
  568 \ blocked[13,0] = HYP_m_5
611 569 blocked [13,1] = ADLP_m_5
  570
613 571 #Condiciones de borde
  572 dirichlet_grid_fun_m = bempp.api.GridFunction(dirichlet_space_m, fun=
      dirichlet_fun)
615 573 neumann_grid_fun_m = bempp.api.GridFunction(neumann_space_m, fun=
      neumann_fun)
  574
  575 #Discretizacion lado izquierdo
  576 blocked_discretizado = blocked.strong_form()
619 577
  578 #Discretizacion lado derecho
621 579 rhs = np.concatenate([dirichlet_grid_fun_m.coefficients,
      neumann_grid_fun_m.coefficients,np.zeros(dirichlet_space_0.global_dof_count
                 eros (neumann_space_0.global_dof_count), np.zeros (
      dirichlet_space_1 .global_dof_count), np.zeros(neumann_space_1.
      global_dof_count), np.zeros(
                                        dirichlet_space_2.global_dof_count), np.
      zeros (neumann_space_2.global_dof_count), np.zeros (dirichlet_space_3.
      global_dof_count), np.zeros(neu
                                           mann_space_3.global_dof_count), np.zeros
      (dirichlet_space_4.global_dof_count), np.zeros(neumann_space_4.
      global_dof_count), np.zeros(dirichle
                                                t_space_5.global_dof_count), np.
      zeros (neumann_space_5.global_dof_count)])
  580
  581 #Sistema de ecuaciones
  582 import inspect
583 from scipy.sparse.linalg import gmres
  584 \text{ it\_count} = 0
  585 def iteration_counter(x):
627
  586
           global it_count
629 587
           it_count += 1
           frame = inspect.currentframe().f_back
  588
  589
           print it_count, frame.f_locals["resid"]
631
  590 print("Shape of matrix: {0}".format(blocked_discretizado.shape))
\frac{633}{591} x, info = gmres(blocked_discretizado, rhs, tol=1e-5, callback =
      iteration_counter, maxiter = 150000)
  592 print("El sistema fue resuelto en {0} iteraciones".format(it_count))
593 np.savetxt("Solucion.out", x, delimiter=",")
637 595 #Campo interior
  596 interior_field_dirichlet_m = bempp.api.GridFunction(dirichlet_space_m,
      coefficients=x[:dirichlet_space_m.global_dof_count])
639 597 interior_field_neumann_m = bempp.api.GridFunction(neumann_space_m,
      coefficients = x[dirichlet_space_m.global_dof_count:dirichlet_space_m.globa
        1_dof_count + neumann_space_m.global_dof_count])
  598
641 599 #Campo exterior
  600 exterior_field_dirichlet_m = interior_field_dirichlet_m
643 601 exterior_field_neumann_m = interior_field_neumann_m *(1./alfa_m)
  602
```

Apéndice C: Código final para compósito como un todo, sin la inclusión de hilos.

```
1 import numpy as np
4 2 import bempp.api
  3 \text{ omega} = 2.*np.pi*12e9
6 \mid 4 \mid e0 = 8.854 * 1e - 12 * 1e - 18
  5 \text{ mu0} = 4.*\text{np.pi}*1e-7*1e6
| 6 \text{ mue} = (-20. -20. \text{ j}) * \text{mu} | 0
 7 ee = (8.-5.i)*e0
10 \mid 8 \text{ mui} = (-1.734 + 0.37 \text{ j}) * \text{mu0}
 9 ei = (-87641.359 - 104633.972i) *e0
12 \mid 10 \mid k = \text{omega*np.sqrt}(e0*mu0)
 11 \quad lam = 2*np.pi/k
|14| 12 \text{ nm} = \text{np.sqrt}((ee*mue)/(e0*mu0))
  13 nc = np. sqrt((ei*mui)/(e0*mu0))
16 \mid 14 \quad alfa_m = mue/mu0
 15 \text{ alfa_c} = \text{mui/mue}
|18| 16 antena = np. array ([[1 e4], [0.], [0.]])
  17 print "Numero de onda exterior:", k
20 18 print "Indice de refraccion matriz:", nm
  19 print "Indice de refraccion conductor:", nc
22 20 print "Numero de onda interior matriz:", nm*k
  21 print "Numero de onda interior conductor:", nm*nc*k
24 22 print "Indice de transmision matriz:", alfa_m
  23 print "Indice de transmision conductor:", alfa-c
26 24 print "Longitud de onda:", lam, "micras"
28 26 #Importando mallas
 27 matriz = bempp.api.import_grid('/home/milan/matriz_12x12x300_E16772.msh')
30 28
  29 #Funciones de dirichlet y neumann
32 30 def dirichlet_fun(x, n, domain_index, result):
          result[0] = 1.*np.exp(1j*k*x[0])
34 32 def neumann_fun(x, n, domain_index, result):
  33
          result[0] = 1.*1j*k*n[0]*np.exp(1j*k*x[0])
36 34
  35 #Operadores identidad
  37 #Operadores multitrazo
40 38 Ai_m = bempp.api.operators.boundary.helmholtz.multitrace_operator(matriz,
  39 Ae_m = bempp.api.operators.boundary.helmholtz.multitrace_operator(matriz, k
42 40
  41 #Transmision en Multitrazo
44 \mid 42 \quad Ae_m[0,1] = Ae_m[0,1]*(1./alfa_m)
 |43 \text{ Ae}_{m}[1,1] = \text{Ae}_{m}[1,1]*(1./alfa_{m})
```

```
46 44
  45 #Acople interior y exterior
|48| 46 \text{ op}_m = (Ai_m + Ae_m)
  47
50 48 #Espacios
  49 dirichlet_space_m = Ai_m[0,0].domain
52 \mid 50 \text{ neumann\_space\_m} = \text{Ai\_m} [0, 1]. \text{domain}
  51 ident_m = bempp.api.operators.boundary.sparse.identity(neumann_space_m,
      neumann_space_m , neumann_space_m )
54 | 52 \text{ op}_m[1,1] = \text{op}_m[1,1] + 0.5 * ident_m * ((alfa_m - 1)/alfa_m)
56 54 #Operadores entre mallas
  55
58 56 #Matriz de operadores
  57 blocked = bempp.api.BlockedOperator(2,2)
60 58
  59 #Diagonal
60 \text{ blocked}[0,0] = \text{op}_m[0,0]
  61 blocked [0,1] = op_{-m}[0,1]
64 \mid 62 \quad blocked[1,0] = op_m[1,0]
  63 blocked[1,1] = op_m[1,1]
66 64
  65 #Contribucion hilos-matriz
68 66
  67 #Condiciones de borde
70 68 dirichlet_grid_fun_m = bempp.api.GridFunction(dirichlet_space_m, fun=
      dirichlet_fun)
  69 neumann_grid_fun_m = bempp.api.GridFunction(neumann_space_m, fun=
      neumann_fun)
72 70
  71 #Discretizacion lado izquierdo
74 72 blocked_discretizado = blocked.strong_form()
76 74 #Discretizacion lado derecho
  75 rhs = np.concatenate([dirichlet_grid_fun_m.coefficients, neumann_grid_fun_m
      . coefficients, ])
78 76
  77 #Sistema de ecuaciones
80 78 import inspect
  79 from scipy.sparse.linalg import gmres
82 \mid 80 \quad it\_count = 0
  81 def iteration_counter(x):
          global it_count
84 82
  83
         it\_count += 1
86 84
         frame = inspect.currentframe().f_back
          print it_count, frame.f_locals["resid"]
 86 print("Shape of matrix: {0}".format(blocked_discretizado.shape))
  87 \text{ x,info} = \text{gmres(blocked\_discretizado, rhs, tol=1e-5, callback} =
      iteration_counter, maxiter = 150000)
90 88 print("El sistema fue resuelto en {0} iteraciones".format(it_count))
  89 np.savetxt("Solucion.out", x, delimiter=",")
92 | 90
 91 #Campo interior
```

```
94 92 interior_field_dirichlet_m = bempp.api.GridFunction(dirichlet_space_m,
     coefficients=x[:dirichlet_space_m.global_dof_count])
  93 interior_field_neumann_m = bempp.api.GridFunction(neumann_space_m,
     coefficients=x[dirichlet_space_m.global_dof_count:dirichlet_space_m.globa
       1_dof_count + neumann_space_m.global_dof_count])
96 94
  95 #Campo exterior
98 96 exterior_field_dirichlet_m = interior_field_dirichlet_m
  97 exterior_field_neumann_m = interior_field_neumann_m *(1./alfa_m)
100 98
  99 #Calculo campo en antena
102 100 slp_pot_ext_m = bempp.api.operators.potential.helmholtz.single_layer(
     dirichlet_space_m, antena, k)
  101 dlp_pot_ext_m = bempp.api.operators.potential.helmholtz.double_layer(
     dirichlet_space_m, antena, k)
104 102 Campo_en_antena = (dlp_pot_ext_m * exterior_field_dirichlet_m -
     slp_pot_ext_m * exterior_field_neumann_m).ravel() + np.exp(1j*k*antena[0])
  103 print "Valor del campo en receptor:", Campo_en_antena
```